





دانشکده مهندسی برق و رباتیک
گروه کنترل

پایان نامه کارشناسی ارشد

ردیابی هدف زیرآبی فقط با جهت با چند
حسگر با استفاده از صافی کالمن بی رد

صادق حیدری فراهانی

استاد راهنما:

دکتر حیدر طوسیان شاندیز

استاد مشاور:

علی ایزدی پور

اردیبهشت ماه ۱۳۹۴

تقدیم به

مادر مهربانم، پدر بزرگوارم، برادر و خواهر عزیزم

تقدیر و تشکر:

سپاس خدایی را سزاست که تا صدایش می‌کنم پاسخم می‌گوید اگرچه وقتی او مرا صدا می‌کند، من کاهلی می‌کنم.

سپاس خدایی را سزاست که هرچه از او می‌طلبم عطا می‌کند اگرچه وقتی او درخواستی می‌کند من بخل می‌ورزم.

سپاس خدایی را سزاست که غیر از اورا نمی‌خوانم و اگر بخوانم هم پاسخی نمی‌شنوم.

سپاس خدایی را سزاست که به غیر از او دل نمی‌بندم و اگر بیندم هم دلم را می‌شکند و پشتمن را خالی می‌کند.

از آنجایی که تجلیل از معلم، سپاس از انسانی است که هدف و غایت آفرینش را تامین می کند و سلامت امانت هایی را که به دستش سپرده اند، تضمین؛ بر حسب وظیفه و از

باب " من لم يشكر المنعم من المخلوقين لم يشكر الله عز و جل: "

از پدر و مادر عزیزم، این دو معلم بزرگوارم، که همواره بر کوتاهی و درشتی من، قلم عفو کشیده و کریمانه از کنار غفلت هایم گذشته اند و در تمام عرصه های زندگی یار و یاوری بی چشم داشت برای من بوده اند؛

از استاد با کمالات و شایسته؛ جناب آقای دکتر طوسیان که در کمال سعه صدر، با حسن خلق و فروتنی، از هیچ کمکی در این عرصه بر من دریغ ننمودند و زحمت راهنمایی این پایان نامه را بر عهده گرفتند کمال تشکر و قدردانی را دارم.

تعهد نامه

اینجانب دانشجوی دوره کارشناسی ارشد رشته دانشکده دانشگاه

صنعتی شهرورد نویسنده پایان نامه تحت

راهنمایی معهد می شوم .

• تحقیقات در این پایان نامه توسط اینجانب انجام شده است و از صحت و اصالت برخوردار است.

• در استفاده از نتایج پژوهشی محققان دیگر به مرجع مورد استفاده استناد شده است.

• مطالب مندرج در پایان نامه تاکنون توسط خود یا فرد دیگری برای دریافت هیچ نوع مدرک یا امتیازی در هیچ جا ارائه نشده است.

• کلیه حقوق معنوی این اثر متعلق به دانشگاه صنعتی شهرورد می باشد و مقالات مستخرج با نام « دانشگاه صنعتی شهرورد » و یا « Shahrood University of Technology » به چاپ خواهد رسید .

حقوق معنوی تمام افرادی که در به دست آمدن نتایج اصلی پایان نامه تأثیرگذار بوده اند در مقالات مستخرج از پایان نامه رعایت می گردد.

در کلیه مراحل انجام این پایان نامه ، در مواردی که از موجود زنده (یا بافتهای آنها) استفاده شده است ضوابط و اصول اخلاقی رعایت شده است .

در کلیه مراحل انجام این پایان نامه، در مواردی که به حوزه اطلاعات شخصی افراد دسترسی یافته یا استفاده شده است اصل رازداری ، ضوابط و اصول اخلاق انسانی رعایت شده است .

تاریخ

امضای دانشجو

مالکیت نتایج و حق نشر

- کلیه حقوق معنوی این اثر و محصولات آن (مقالات مستخرج ، کتب ، برنامه های رایانه ای ، نرم افزار ها و تجهیزات ساخته شده است) متعلق به دانشگاه صنعتی شهرورد می باشد . این مطلب باید به نحو مقتضی در تولیدات علمی مربوطه ذکر شود .
- استفاده از اطلاعات و نتایج موجود در پایان نامه بدون ذکر مرجع مجاز نمی باشد .

* متن این صفحه نیز باید در ابتدای نسخه های تکثیر شده پایان نامه وجود داشته باشد .

چکیده

اهمیت غیر قابل انکار دریاها و اقیانوسها در کاربردهای تجاری، تفریحی و دفاعی سبب شده تشخیص و ردیابی اجسام موجود در دریاها به عنوان یکی از زمینه های تحقیقاتی مهم، مطرح گردد. نیاز به ارتقا و بهبود دقت، پایداری و اجتناب از ریسک، با ظهر برname های کاربردی جدید و با رشد پذیرش ربات های زیرآبی در صنایع نظامی و غیرنظامی گسترش می یابد. یکی از عوامل اصلی، در عملیات زیر آب، توانایی اجرای عملیات طولانی مدت به صورت کاملاً خودکار و بدون نظارت از سوی یک کشتی روی سطح آب می باشد ، که این موضوع ضرورت پژوهش در مورد ردیابی زیر آب را پررنگ تر می کند. در این پایان نامه سیگنال های ساطع شده از هدف با زوایای مختلف توسط چند حسگر دریافت می شوند. بردار اندازه گیری دریافت شده توسط حسگرهای شامل زاویه ورود بین سیگنال آکوستیکی با محور افق می باشد که یک رابطه غیر خطی با بردار حالت دارد. به علت غیرخطی بودن این مدل و با توجه به نویزی بودن داده ها، از صافی کالمون بی رد استفاده می کنیم. در این پایان نامه از نوع خاصی از صافی کالمون بی رد، به نام

صافی کالمن بی رد افزوده استفاده خواهد شد که با صافی کالمن توسعه یافته و کالمن بی رد مقایسه می شود. به علت استفاده از چند حسگر، نیاز به ترکیب اطلاعات این حسگرها ضروری می باشد. از روش ترکیب اطلاعات کواریانس استفاده می کنیم و روش پیشنهادی با این روش مقایسه می شود که کارایی روش پیشنهادی در نتایج مشخص می باشد. روش پیشنهادی ترکیب اطلاعات با ترکیب دو حسگر با هم مزیت هایی نسبت به روش ترکیب اطلاعات تک حسگر دارد، که می توان از بالا رفتن دقت تخمین و کاهش خطای ردیابی نام برد. در انتهای با بررسی جایابی حسگرها، سه مدل جایابی برای چهار حسگر پیشنهاد شده، که مدل بیزوی در مسئله مورد بحث دارای مشاهده پذیری بهتری نسبت به سایر مدل ها می باشد.

كلمات کلیدی:

سونار، ردیابی ، تخمین موقعیت، صافی کالمن، صافی کالمن بی رد، ردیابی با چند حسگر،

فهرست

فصل اول - سیستم های آکوستیکی زیرآب

۱.....	۱-۱- مقدمه
۲.....	۱-۲- تاریخچه
۳.....	۱-۳-۱) برخی از شرایط در محیط زیر آب
۴.....	۱-۳-۲) تغییرات سرعت صوت.....
۵.....	۱-۳-۳) اتلاف انرژی صوتی در محیط زیر آب.....
۶.....	۱-۳-۴) پدیده شکست.....
۷.....	۱-۴) سیستم های آکوستیکی
۸.....	۱-۴-۱) سیستم های آکوستیکی فعال.....
۹.....	۱-۴-۲) سیستم های آکوستیکی غیرفعال.....

.....	۱-۵) روش های پردازش
.....	۱-۶) نویز در محیط آب
.....	۱-۷) باند فرکانسی زیر ۱ هرتز (Ultra low Band)
.....	۱-۸) باند فرکانسی ۱ هرتز تا ۲۰ هرتز (Infrasonic Band)
.....	۱-۹) باند فرکانسی ۲۰ هرتز تا ۲۰۰ هرتز (Low Sonic Band)
.....	۱-۱۰) باند فرکانسی ۲۰۰ هرتز تا ۵۰۰۰ هرتز (High Sonic Band)
.....	۱-۱۱) باند فرکانسی بالای ۵۰۰۰ هرتز (Ultra Sonic Band)
.....	۱-۱۲) مشخصه آکوستیکی متحرک های دریابی
.....	۱-۱۳) مشخصه های آکوستیکی کلی متعلق به متحرک های درایی
.....	۱-۱۴) شکل ۱-۱- طیف مربوط به محدوده نویزهای آکوستیکی تولید شده توسط متحرکهای دریابی
.....	۱-۱۵) خلاصه

فصل دوم - تخمین حالت در سیستم های دینامیکی

.....	۱-۲) مقدمه
.....	۲-۱) صافی کالمن
.....	۲-۲) شمای کلی صافی کالمن
.....	۲-۳) عملکرد صافی کالمن
.....	۲-۴) صافی کالمن خطی
.....	۲-۵) الگوریتم تکرار صافی کالمن در یک نگاه
.....	۲-۶) صافی کالمن توسعه یافته :
.....	۲-۷) شبیه سازی صافی EKF :
.....	۲-۸) ریدیابی سیگنال سینوسی تصادفی
.....	۲-۹) صافی کالمن بی رد :
.....	۲-۱۰) شبیه سازی صافی کالمن بی رد
.....	۲-۱۱) ردگیری سیگنال سینوسی
.....	۲-۱۲) صافی کالمن بی رد افزوده
.....	۲-۱۳) تبدیل Augmented UT

۲-۸) عوامل کاهش‌دهنده عملکرد ردیابی صافی کالمن ۵۱

۹-۲) خلاصه ۵۳

فصل سوم - ردیابی اهداف زیرآب

(۱-۳) مقدمه ۵۴

(۲-۳) وظایف بخش ردیابی ۵۵

(۱-۲-۳) عدم قطعیت در حرکت هدف ۵۶

(۲-۲-۳) مشخص نبودن منشاء مشاهدات حسگر ۵۷

(۳-۳) ردیابی اهداف زیرآب ۵۸

(۴-۳) مدل سازی دینامیک حرکت هدف ۵۹

(۱-۵-۳) بررسی مدل ردگیری هدف در فضای کارتزین ۶۰

(۶-۳) ردیابی هدف با استفاده از انعکاس ۶۲

فصل چهارم - ترکیب اطلاعات و جایابی حسگرها

(۱-۴) ترکیب اطلاعات ۶۹

۷۰ ترکیب

(۲-۴) کالمن صافی مبنای سنسور چندین های داده ترکیب ۷۱

(۳-۴) روش ترکیب اطلاعات با استفاده از کواریانس ۷۲

(۴-۴) ترکیب اطلاعات با ۴ حسگر ۷۳

(۱-۴-۴) روش اول: ترکیب حالت ۷۳

(۲-۴-۴) روش دوم: ترکیب حالت - اندازه گیری ۷۴

(۴-۴) در نظر گرفتن نویز در حسگرها ۷۵

(۶-۴) جایابی حسگرها ۷۸

(۷-۴) مدل اندازه گیری فقط زاویه ۷۸

(۸-۴) ماتریس اطلاعات فیشر ۷۹

خطی	توبولوژی	(۹-۴)
۸۲		حسگرها
۸۴	۱۰-۴) شبیه سازی جایابی خطی	
۸۷	۱۱-۴) توبولوژی جایابی مربعی	
۹۰	۱۲-۴) توبولوژی جایابی بیضی	
۹۴	۱۳-۴) شبیه سازی سیستم ردیاب تک هدف زیر آب	

فصل پنجم - نتیجه گیری و پیشنهادات

۱۰۲	۱-۵ نتیجه گیری	
۱۰۳	۲-۵ پیشنهادات	
۱۰۴	منابع	

فهرست اشکال و جداول

۱۸	شكل ۱-۱- طیف مربوط به محدوده نویزهای آکوستیکی تولید شده توسط متحرکهای دریابی	
۲۲	شكل ۲-۱- شمای کلی صافی کالمون	
۲۴	شكل ۲-۲ - عملکرد کلی صافی کالمون	
۳۸	شكل ۲-۴ تخمین سیگنال سینوسی با استفاده از EKF مرتبه اول	
۳۸	شكل ۲-۵ تخمین سیگنال سینوسی با استفاده از EKF مرتبه دوم	
۴۱	شكل ۲-۶ مقایسه تبدیل UT با EKF	

..... ۴۶ شکل ۲-۶ تخمین سیگنال سینوسی با استفاده UKF

..... ۴۷ شکل ۲-۶ تخمین سیگنال سینوسی با استفاده AUKF

..... ۴۷ جدول ۱-۲ مقایسه MSE در دو روش UKF و EKF

..... ۵۸ شکل ۱-۳ اجزای یک سیستم ردیابی

..... ۶۱ شکل ۲-۳ موقعیت هدف و حسگر در فضای سه بعدی و زوایای آن

..... ۶۵ شکل ۳-۳ ساختار هندسی انعکاس کف و سطح

..... ۷۱ شکل ۴-۴ ترکیب بردار حالت

..... ۷۲ شکل ۴-۲ ترکیب مقادیر اندازه گیری

..... ۷۴ شکل ۴-۳ ترکیب اطلاعات با صافی کالمن

..... ۷۶ شکل ۴-۴ ردیابی هدف با زبردربایی به وسیله چهار حسگر

..... ۸۱ شکل ۴-۵ مثالی از هم ارزی جایابی

..... ۸۲ شکل ۴-۶ جایابی خطی حسگرهای

..... ۸۵ شکل ۴-۷ ردیابی هدف با چهار حسگر خطی - حالت اول

..... ۸۵ شکل ۴-۸ ردیابی هدف با چهار حسگر خطی - حالت دوم

..... ۸۶ شکل ۴-۹ ردیابی هدف با چهار حسگر خطی - حالت سوم

..... ۸۶ جدول ۴-۱ مقایسه RMSE متغیرهای حالت در جایابی خطی

..... ۸۷ شکل ۴-۱۰ جایابی مربعی با چهار حسگر

..... ۸۸ شکل ۴-۱۱ ردیابی هدف با چهار حسگر مربعی - حالت اول

..... ۸۸ شکل ۴-۱۲ ردیابی هدف با چهار حسگر مربعی - حالت دوم

..... ۸۹	شکل ۴-۱۳ رديابي هدف با چهار حسگر مربعی - حالت سوم.
..... ۸۹	جدول ۴-۲ مقايسه RMSE متغيرهای حالت در جايابي مربعی
..... ۹۰ شکل ۴-۱۴ رديابي بيضوي با چهار حسگر.
..... ۹۰ شکل ۴-۱۵ رديابي هدف با چهار حسگر توسط توپولوژي جايابي بيضي - حالت اول.....
..... ۹۰ شکل ۴-۱۶ رديابي هدف با چهار حسگر توسط توپولوژي جايابي بيضي - حالت دوم.....
..... ۹۲ شکل ۴-۱۷ رديابي هدف با چهار حسگر توسط توپولوژي جايابي بيضي - حالت سوم.....
..... ۹۲	جدول ۴-۳ مقايسه RMSE متغيرهای حالت در جايابي بيضوي
..... ۹۵ شکل ۴-۱۸ مقدار تخمين X_1
..... ۹۵ شکل ۴-۱۹ جذر ميانگين مربعات خطاي حالت X_1
..... ۹۶ شکل ۴-۲۰ مقدار تخمين X_2
..... ۹۶ شکل ۴-۲۱ جذر ميانگين مربعات خطاي حالت X_2
..... ۹۶ شکل ۴-۲۲ مقدار تخمين X_3
..... ۹۷ شکل ۴-۲۳ جذر ميانگين مربعات خطاي حالت X_3
..... ۹۷ شکل ۴-۲۴ مقدار تخمين X_4
..... ۹۷ شکل ۴-۲۵ جذر ميانگين مربعات خطاي حالت X_4
..... ۹۸ شکل ۴-۲۶ مقدار تخمين X_5
..... ۹۸ شکل ۴-۲۷ جذر ميانگين مربعات خطاي حالت X_5
..... ۹۸ شکل ۴-۲۸ مقدار تخمين X_6

شکل ۴-۲۹ جذر میانگین مربعات خطای حالت X_6

شکل ۴-۳۰ مقایسه ردیابی یک هدف با دو حسگر با استفاده از صافی EKF و UKf

جدول ۴-۴ مقایسه خطای میانگین مربعات سه صافی EKF, UKF, AUKF در ردیابی هدف

فصل اول

سیستم های آکوستیکی زیرآب

۱-۱- مقدمه

دنبال کردن هدف، یکی از بخش‌های عمدۀ در سیستم‌های ناظیر : سیستم‌های نظارتی ، سیستم‌های راهنمای هدایت کننده، ردیابی و سیستم‌های جلوگیری از برخورد کردن به موانع در آب یا فضا می باشد. دنبال کردن هدف به معنی پیش‌بینی کردن وضعیت هدف مانند مکان، شتاب ، شکل سه بعدی از هدف یا هر نوع اطلاعات دیگر در طول زمان یا مکان با در نظر گرفتن مشاهدات نویزی می باشد.

ورودی الگوریتم‌های ردیابی توسط حسگرها مانند سونار^۱، رادار یا تصاویر ویدئویی تامین می شود. با توجه به اینکه بحث مورد نظر مربوط به ردیابی در سیستم‌های زیرآبی می باشد. ما در این فصل به انواع سونار و چگونگی کارکرد آن می‌پردازیم. سونار به معنی سیستمی است که در آن از انرژی انتشار یافته یا منعکس شده (به صورت امواج آکوستیکی) در زیرآب به منظور آشکار ساختن اهداف و اجسام از راه دور ، تعیین فاصله ، جهت و موقعیت آنها ، ردیابی ، ارتباطات و ... استفاده می‌گردد.

در یک تقسیم بندي سونارها ، شامل دو نوع می‌باشند که عبارت اند از : الف) سونارهای فعال^۲ و ب) سونارهای غیر فعال^۳ .

در سونارهای فعال برای آشکارسازی و ردیابی اهداف از ارسال امواج ، بازگشت انعکاس از هدف و آشکارسازی انجام می‌شود ، ولی در سونارهای غیرفعال تنها از بررسی و تحلیل امواج ساطع شده از اهداف زیرآب برای ردیابی استفاده می‌گردد.

مسائل ردیابی از نظر تعداد اهداف و مشاهدات دریافت شده در هر لحظه به دسته‌های زیر تقسیم می‌گردند :

¹ Sonar

² Active Sonar

³ Passive Sonar

- تک هدف و تک حسگر
- تک هدف و چند حسگر
- چند هدف و چند حسگر

در حالت اول تنها یک هدف وجود دارد و در هر لحظه تنها یک مشاهده که مربوط به آن هدف می باشد دریافت می گردد. در حالت دوم دنبال کردن یک هدف مورد نظر می باشد. اما در هر لحظه چندین مشاهده دریافت می شود که این مشاهدات ممکن است مربوط به اهداف دیگر یا مشاهدات کاذب باشند. بنابراین در اینجا نیاز است که مشاهدات مربوط به هدف مورد نظر از بین مشاهدات دریافت شده مشخص گردد. اما حالت سوم حالتی است که در هر لحظه چندین هدف و چندین مشاهده شامل مشاهدات کاذب وجود داشته باشد. ما در اینجا فرض را بر هر حالت دوم قرار داده و تمامی فرضیات ما بر اساس ردگیری تک هدف با چند حسگر^۴ می باشد.

⁴ Sensor

۱-۲- قاریخچه

تحقیق و تفحص در زمینه آکوستیک زیر آب ، به ابتدای قرن بیستم برمی‌گردد. هرچند بشر به بعضی از مشخصه‌ها و خصوصیات محیط زیر آب از زمان‌های بسیار قدیم پی‌برده بود، ولی تحقیقات علمی و اصولی در این زمینه از دهه دوم قرن بیستم آغاز و در دوران جنگ جهانی دوم شتاب قابل ملاحظه‌ای گرفت بگونه‌ای که دستاوردهای علمی این دوران سال‌های سال‌پس از پایان جنگ جهانی منتشر شد. اکنون نیز بسیاری از پژوهش‌هایی که در این زمینه انجام می‌شود جنبه کاملاً سری و نظامی داشته و نتایج آن احتمالاً تا دهه‌ها سال بعد جزو اسرار نظامی باقی خواهد ماند. هر چند تحقیقات در زمینه آکوستیک زیر آب استفاده صلح‌آمیز و بشر دوستانه بسیار فراوانی داشته و دارد ولی طبق آنچه تاریخ نشان داده است، نتیجه پژوهش‌های این زمینه ابتدا در زمینه‌های نظامی مورد اندیشه واقع شده و پس از بهره برداری‌های کافی در خدمت کاربردهای صلح‌آمیز قرار گرفته است.

یکی از موفق‌ترین زمینه‌های کاربردی آکوستیک زیر آب، آشکارسازی^۵ و کشف محل و تخمین مسیر حرکت اندازه‌گیری سرعت متحرک‌های روی آب یا زیر آب است. دستگاهی که بدین منظور ساخته شده است معمولاً بنام سونار نامیده می‌شود که با دریافت سیگنال‌های آکوستیک موجود در محیط بطريقی آن‌ها را پردازش کرده و وجود یک سیگنال با معنی را که احتمالاً متعلق به یک متحرک دریابی است، تشخیص داده و از آن مشخصاتی مثل نوع، سرعت، جهت و مسیر حرکت را تخمین بزنند.^[۱]

در این فصل مقدمه‌ای اجمالی از سیگنال‌های آکوستیک زیر آبی، انواع سونار، معادلات مربوط به ردیابی زیر آب ارائه خواهیم کرد. تا کنون در دنیا تحقیقات دامنه‌دار و متعددی در این زمینه صورت گرفته است و همگی بقدر کافی و مشروح مسائل محیط زیر آب و سیگنال‌های را مورد مطالعه قرار داده‌اند، نیازی به بیان تفصیل

⁵ Detection

این مسائل نمی بینیم و در بسیاری موارد با ذکر یک تعریف یا اشاره اجمالی به یک اصطلاح یا واژه خاص بستنده می‌کنیم. علاقه مندان می‌توانند برای تحقیق بیشتر در این مورد از مراجع [۱،۲] استفاده نمایند.

۱-۳-۱) برخی از شرایط در محیط زیر آب

۱-۳-۱) تغییرات سرعت صوت

تغییرات سرعت صوت در زیرآب دارای فرمول پیچیده‌ای است ولیکن با توجه به اهمیت چند پارامتر خاص مثل عمق ، شوری و فشار این تغییرات با رابطه (۱-۱) تقریب زده می‌شود. در این فرمول C سرعت صوت بر حسب متر بر ثانیه ، T دمای آب بر حسب درجه سانی گراد ، S شوری آب بر حسب یک در هزار و Z عمق آب بر حسب متر است. [۲]

$$C = 1449 + 4.6T - 0.055T^2 + 0.0003T^3 + (1.39 - 0.012T)(S - 35) + 0.017Z \quad (1-1)$$

۱-۳-۲) اقلاف انرژی صوتی در محیط زیر آب

در شرایط ایده‌آل فقط دو عامل سبب کاهش انرژی سیگنال آکوستیک زیر آب می‌شود و این دو عامل عبارتند از: واگرایی^۶ و جذب . واگرایی که با رابطه (۱-۲) فرموله می‌شود ، بیان می‌کندکه هرچه از منبع مولد سیگنال آکوستیک دور شویم انرژی سیگنال کاهش می‌یابد. رابطه (۱-۲) که با فرض کروی بودن موج بدست آمده است، معادله‌ای غیرخطی است که در آن K ثابت جذب محیط (بر حسب نپر بر متر) و P_1 و P_2 فشار شعاع صوتی (انرژی صوت) در فواصل متناظر با r_1 و r_2 از مولد آن می‌باشد :

^۶ Divergence

$$\frac{P_1}{P_2} = \left(\frac{r_1}{r_2}\right) \cdot e^{-k \cdot (r_2 - r_1)} \quad (2-1)$$

معمولًا کاهش انرژی صوتی بر حسب دسی بل بیان شده و آن را با H نشان می‌دهند و آن کاهش انرژی صوتی را وقتی سیگنال از r_1 به r_2 برسد، نشان می‌دهد.^[1]

$$H = 20 \cdot \log_{10} P_1 - 20 \cdot \log_{10} P_2 = 20 \cdot \log_{10} \left(\frac{r_2}{r_1} \right) + k \cdot (r_2 - r_1) \quad (3-1)$$

a ثابت جذب و برابر ۸,۷، تابعی از دما و فرکانس موج است. محیط زیرآب یک محیط پایین‌گذر (از نظر فرکانس) است یعنی هرچه فرکانس موج آکوستیک تولید شده بیشتر شود انرژی سیگنال برای رسیدن از فاصله r_1 به r_2 بیشتر کاهش می‌باید. عنوان مثال یک سیگنال با فرکانس ۳۰ کیلوهرتز در هر ۳۰ سانتی متر دسی بل تضعیف می‌شود. سیگنال‌هایی که در محدوده فرکانس‌های اشعه ۷ قرار دارند در هر ۱/۵ سانتی متر یک دسی بل تضعیف خواهند شد. به دلیل تضعیف بسیار شدیدی که در محدوده فرکانس‌های رادیویی در آب بر سیگنال تحمیل می‌شود، استفاده از این امواج در محیط زیرآب کاربرد چندانی ندارد.

۱-۳-۳) پدیده شکست

پدیده شکست^۷ در محیط آب، حالت مشابهی با شکست نور دارد، یعنی این سیگنال برای عبور از یک محیط به محیط دیگر شکسته و از مسیر حقیقی خود منحرف می‌شود. میزان انحراف را عواملی تعیین می‌کند که مهمترین آن دماست. از آنجاییکه در محیط زیرآب دمای لایه‌های آب بتدریج تغییر می‌کند بنابراین مسیر حرکت یک اشعه باریک صوتی بر اثر پدیده شکست بصورت یک منحنی خواهد بود.

⁷ Refraction

۱-۴) سیستم های آکوستیکی

۱-۱) سیستم های آکوستیکی فعال

در سیستم های آکوستیکی فعال ، یک سیگنال خاص با مشخصات معین و ویژه درون آب منتشر می شود. سپس سیستم مترصد بازآواش^۸ این سیگنال می شود و به این منظور سیگنال های محیط را دریافت و پردازش می کند. اصول کار مبتنی بر این واقعیت است که اگر پرتوهای سیگنال آکوستیکی ارسال شده در مسیر حرکت خود به مانعی برخورد منعکس شده و اگر انرژی برگشت کافی داشته باشند، به منبع مولد خود باز می گردند. سیستم آکوستیکی با دریافت این سیگنال و تعیین پارامترهایی مثل زمان رفت و برگشت و تغییر فرکانس سیگنال دریافتی نسبت به سیگنال ارسالی ، مشخصات هدف دریایی را تعیین می کند این نوع سیستم ها باید انرژی مورد نیاز برای ارسال یک سیگنال پر قدرت آکوستیکی را تامین نماید ، بنابراین سیستم های آکوستیکی فعال همیشه مشکل توان مصرفی دارند ولی در عوض چون پارامترهای سیگنال ارسالی از قبل مشخص است ، بنابراین روش های پردازشی جهت کشف و آشکارسازی سیگنال بازتاب شده ، بسیار ساده تر خواهد بود. در کاربردهای نظامی سیستم های آکوستیکی فعال باید به گونه ای طراحی شوند که نتوان به راحتی حضور آن ها را در محیط کشف کرد ، به همین دلیل تاکید بیشتری بر سیستم های آکوستیکی غیر فعال وجود دارد. در سیستم های جاسوس زیرآب معمولا سیستم های فعال حضوری ندارند.[۱]

۱-۲) سیستم های آکوستیکی غیرفعال

در سیستم های آکوستیکی غیر فعال ، سیستم فقط به سیگنال های موجود در محیط گوش داده آن ها را پردازش می کند. این سیگنال ها صرفنظر از نویز محیطی می توانند شامل سیگنال های با معنی هم باشند که از

^۸ reverberation

متحرک های دریایی در محیط انتشار یافته اند. ادعا می شود که در سیستم های آکوستیکی غیر فعال امکان کشف اهداف دورتر نسبت به سیستم های فعال بیشتر است. این موضوع به دلیل آن است که اولاً تلفات انرژی نسبت به حالتی که خود هدف مولد سیگنال صوتی است دو برابر خواهد بود چون این تلفات^۹ مربوط به مسیر رفت و برگشت سیگنال می باشد. ثانیا یک سیستم آکوستیکی فعال براحتی نمی تواند یک سیگنال پر انرژی مثل سیگنالی که از چرخش پرهای یک کشتی حاصل می شود، تولید کند.

در سیستم های آکوستیکی غیرفعال، روش های کشف و آشکار سازی سیگنال های با معنی محیط و تشخیص آنها از نویز بسیار مشکل و پیچیده تر از سیستم های آکوستیکی فعال است. این موضوع از آنجایی ناشی می شود که سیستم چشم امید به دریافت سیگنال هایی دوخته است که از ماهیت آنها اطلاعات چندانی ندارد.^[۱]

از جمله سیستم های آکوستیکی که در هر دو نوع فعال و غیرفعال طراحی و ساخته شده اند می توان به سونار اشاره کرد. سیستم های سونار به طور کل در زمینه آشکرسازی محل ، تعیین مسیر و دسته بندی نوع اهداف زیرآب یا آب کاربرد دارند. از دیگر سیستم های آکوستیکی فعال زیرآب با کاربرد غیر نظامی "ماهی یاب ها" هستند. این دستگاه ها می توانند محل تجمع ماهی ها را در دریا یا اقیانوس مشخص کرده و کشتی های ماهیگیری را برای صید راهنمایی کنند. اکوساندر نیز از جمله سیستم های آکوستیکی غیرفعال است که می تواند نقشه ناهمواری های سطح دریا یا اقیانوس را ترسیم نماید.

۱-۵) روش های پردازش

در سیستم هایی که با پردازش سیگنال آکوستیک زیرآب سروکار دارند معمولاً سیگنال محیط توسط گیرنده ای که هیدروفون نام دارد ، دریافت و تبدیل به سیگنالی الکترونیکی می شود. این سیگنال می تواند به طریقه آنالوگ یا دیجیتال پردازش شود. در سیستم های قدیمی این سیگنال به صورت آنالوگ و توسط عنصری مانند خازن ،

^۹ Losses

ترانزیستور ، تقویت کننده های عملیاتی و المان هایی از این قبیل تحلیل می شد ، ولی چون شرایط و مدل کanal زیرآب صلب و بدون تغییر است و حتی با فرض تغییر ناپذیر بودن این مدل بسیار پیچیده است. که روش های پردازشی معمولی که توسط صافی یا چند عنصر آنالوگ دیگر انجام می شود کاربرد خاص و تک منظوره داشته و با تغییر شرایط محیط ، کارایی خود را از دست می دهنند. بنابراین در خصوص پردازش این نوع سیگنال ها نیاز به روش های الگوریتمی و قابل انعطاف است که این کار قطعاً از عهده دستگاه های آنالوگ خارج است و طراحی را به سمت روش های کامپیوتری و سیستم های دیجیتال هدایت می کند.

در این پروژه روش هایی را معرفی خواهیم کرد که بیشترین کارایی را داشته باشند و در چند سال اخیر مورد تحقیق و پژوهش بوده است. هرچند ما در اینجا سعی داریم حداقل درگیری را با مسائل و مشکلات محیط زیرآب و سیستم های آکوستیکی زیر آب داشته باشیم و خود را فقط موظف به پردازش سیگنال دریافت شده نهایی در سیستم بدانیم ولی برای آگاهی عمل پردازش ، کشف و شناسایی بدون علم و دانستن این نکات امکان پذیر نخواهد بود :

اول آنکه باید به گونه ای مدل نویز پوشاننده سیگنال را شناسایی کرد. دوم ضریب کیفی دستگاه گیرنده (هیدروفون^{۱۰}) و مشخصات سیستم مشخص باشد و سوم آنکه مشخصات کanal انتقال در زیرآب تعین و توصیف شده باشند.[۳]

در بخش آتی بطور مختصر به ماهیت و منابع نویز در زیر آب می پردازیم

¹⁰ hydrophone

۶-۱ نویز در محیط آب

در طراحی هر سیستم پردازش سیگنال ، نویز محیط بعنوان یک عامل مزاحم و اجتناب ناپذیر همیشه حضور دارد و با حضور این عامل اختلال ، کارایی و بازده سیستم محدود و مشروط می شود. در بعضی از سیستم ها پیچیده ترین و پرهزینه ترین قسمت ها فقط به خاطر کاهش تاثیرات نویز یا حذف آن طراحی شده اند. به عنوان مثال کل عملیاتی که در فرایند آشکار سازی سیگنال انجام می گیرد به خاطر حضور نویز است ، چرا که اگر نویز در کار نبود هر سیگنالی که توسط دستگاه گیرنده اخذ می شد را می توانستیم بعنوان یک سیگنال با معنی فرض کرده و هیچ نیازی به عملیات نسبتا پیچیده آشکار سازی نداشتیم. کارایی و بازده یک روش پردازشی هنگامی مورد قبول قرار می گیرد که آن روش بتواند تمام محدودیت هایی را که مسئله نویز به آن ها تحمیل می کند، مورد توجه داشته باشد و به گونه ای بر این مشکلات و محدودیت ها فائق آید.

ماهیت نویز بسیار پیچیده تر از آن است که بتوان مدل قطعی برای آن برگزید و یا گذشته و آینده آن را به صراحة تعیین کرد ولیکن اگر بتوان منابع مولد نویز را شناسایی کرده و مدلی قراردادی برای آن وضع کرد ، می توان در چارچوب این مدل اثرات ناشی از نویز را کاهش داده و طراحی سیستم را به سمتی سوق داد که سرکشی نویز محیطی ، کمترین اختلال را در عملکرد آن سیستم داشته باشد.

در اغلب روش های گوناگون آشکار سازی سیگنال های زیرآب ، نویز محیطی با یک فرض ثابت ، نویز سفید گوسی یا میانگین صفر در نظر گرفته می شود و این فرضیه اگرچه یک مدل با قطعیت^{۱۱} و جزمیت صد درصد نیست ولی با تکیه به آن می توان سیستمی طراحی کرد که تا حد امکان تاثیر نویز را کم نماید (هر چند حذف نویز عملا امکان پذیر نیست).

¹¹ uncertainty

در محیط زیرآب منابع مولد نویز به دو دسته تقسیم می شوند : الف) مولد های طبیعی مثل باد ، زمین لرزه های دائمی بستر دریا ، بعضی جانوران دریایی و فعالیت های مولکولی و حرارتی ب) مولد های ساخت بشر مثل حرکت کشتی ها ، انفجارهای عمدی در بستر دریا ، حفاری .

نویز ناشی از عوامل طبیعی و مصنوعی ماهیتی دائمی ولی تغییر پذیر با زمان ، مکان و شرایط محیط دارند دائمی و پرانرژی ترین نویز مصنوعی مربوط به سر و صدای کشتی هایی است که دائما در محیط رفت و آمد دارد. سیگنال هایی که در یک محیط پرتوافیک کشتی رانی تولید می شود تا صدها یا حتی هزاران کیلومتر طی مسیر می کنند. این سیگنال ها در محدوده بالای صد کیلومتر واقعا به صورت توی محیطی ظاهر می شوند. از این نویز که مهمترین نویز مصنوعی است بعنوان " نویز کشتیرانی دور فاصله " یاد می شود. بهترین مثال برای تجسم این نوع از نویز ، صدای مزاحم و آزاردهنده ای است که در یک آپارتمان واقع در چند صدمتری یک بزرگراه پرتوافیک بطور دائمی به گوش میرسد.

همانگونه که اشاره شد نویز چه از نوع طبیعی چه مصنوعی شدیدا وابسته به مکان ، زمان ، شرایط محیطی مثل دما و شوری آب هستند . معمولا سعی می شود حوزه فرکانسی بین صفر تا چند ده کیلوهرتز به تعداد باند تقسیم می شود. به طور مختصر و مجمل باندهای فرکانسی و عوامل موثر هر باند را ارائه می کنیم.[۴]

۱-۶-۱) باند فرکانسی زیر ۱ هرتز (Ultra low Band)

از آزمایش هایی که برای مشخص کردن خصوصیات طیفی این باند انجام شده بر می آید که عوامل مهم مولد نویز در این باند لرزه های بستر دریا و تلاطم لایه های آب بر اثر وزش باد است که تقریباً بطور دائمی ولی با شدت و ضعف متغیر در محیط وجود دارد. البته این باند فرکانسی در طراحی سیستم های آشکارسازی زیرآب چندان مورد توجه نیست.

۱-۶-۲) باند فرکانسی ۱ هرتز تا ۲۰ هرتز (Infrasonic Band)

در محدوده یک تا پنج هرتز از این باند طیف فرکانسی شبکه ۵- دسی بل بر اکتاو داشته ولی در محدوده ۵ هرتز به بالا این شبک عکس شده (یعنی $5+5$ دسی بل بر اکتاو) و نشان می دهد که عامل جدید، نویز پر انرژی در این محدوده تولید می کند. این نویز که حاصل از تردد کشته هاست در این باند شدت می گیرد. این نویز را چنانچه اشاره کردیم نویز " ترافیک کشتیرانی دور فاصله " می نامند. بنابراین اگر آزمایشات در این باند فرکانسی و در یک دریاچه فاقد کشتیرانی و کم عمق انجام شود در اینصورت نویز حاصل از ترافیک کشتیرانی موجود نیست و بالطبع طیف فرکانسی با همان شبکه ۵- دسی بل بر اکتاو کاهش یافته و به صفر می رسد. بنابراین تنها عامل در این باند در چنین شرایطی باد خواهد بود.

۱-۶-۳) باند فرکانسی ۲۰ هرتز تا ۲۰۰ هرتز (Low Sonic Band)

در این باند فرکانسی که یکی از مورد توجه ترین باندهای فرکانس پایین برای سونارهای غیرفعال است، عامل موثر در ایجاد نویز، کشتیرانی است. در این باند از حدود ۳۰ هرتز نمودار طیف توان نویز یک حالت ماکزیمم پیدا کرده که تا حدود ۱۰۰ هرتز ادامه پیدا دارد. سپس از صد هرتز به بعد شروع به کاهش میگذارد. در این باند نیز ترافیک متغیر کشتیرانی بر روی شدت و ضعف نویز تاثیر میگذارد.

۱-۶-۴) باند فرکانسی ۲۰۰ هرتز تا ۵۰۰۰۰ هرتز (High Sonic Band

در این باند فرکانسی که عامل مولد نویز ، باد است. به ازای دو برابر شدن سرعت باد ، طیف توان نویز ۵ دسی بل تقویت می شود. نویز این باند که وابسته به باد است در فرکانس حدود ۵۰۰ هرتز دارای ماکزیمم است و در فرکانس ۱۰۰۰ هرتز به بعد با شیب ۵-۶ دسی بل بر اکتاو کاهش می یابد. به خاطر آنکه در محیط آب هرچه فرکانس بالاتر برود مسئله جذب باعث تضعیف بیشتر سیگنال می شود به همین خاطر نویز این باند برد چندان وسیعی نداردو سریع در محیط میرا خواهد شد.

۱-۶-۵) باند فرکانسی بالای ۵۰۰۰۰ هرتز (Ultra Sonic Band)

در محدوده 50 k تا 200 k هرتز عواملی مثل نویز حرارتی و نویزهای مولکولی موثرند. در این باند نمودار طیف با شیب $+6$ دسی بل بر اکتاو افزایش دارد و در ضمن نویز در این باند تقریبا در سراسر محیط دریا یا اقیانوس یکنواخت است. بعضی از جانوران دریایی از خود سیگنال هایی را در این باند تولید می کنند.

مطلوبی که در این قسمت مطرح شد مطالubi مقدماتی در زمینه منابع مولد نویز است که فقط مفاهیم ذهنی و استدلای موضع نویز را در محیط زیرآب مشخص می کند. مسئله نویز به طور جداگانه مورد تحقیق و تفحص دانشمندان و محققان آکوستیک زیر آب بوده است و بخودی خود کتاب ها و مقالات مفصلی را می طلبد.

۷-۱) مشخصه آکوستیکی متحرک های دریایی

قبل از این موضوع اشاراتی داشتیم که سیستم های آکوستیکی زیر آب به دو دسته فعال و غیر فعال دسته بندی می شوند. سیستم های غیر فعال موظفند به سیگنال های محیطی گوش فرا داده و در صورت حضور مولفه های با معنی در محیط ، آن ها را کشف نمایند. بنابراین روش های پردازشی جهت کشف و آشکارسازی در مورد سیستم های غیرفعال با اهمیت تر و مشکل سازتر است. در این مبحث هدف آن است که بررسی کنیم چه مشخصه های آکوستیکی خاص برای اشیای دریایی مثل کشتی ، زیردریایی و دیگر وسایل می توان برگزید

تا سیستم غیر فعال قادر به شناسایی آن ها باشد. به عبارت دیگر باید مشخص کنیم که هر متحرک دریایی چگونه امواجی از خود ، در محیط منتشر می کند که سیستم آکوستیکی با استناد به آن ها قادر به کشف وجود متحرک می شود. امروزه کشتی ها و زیردریایی هایی که بیش از سی متر طول دارند معمولاً از طریق یک سیستم مکانیکی در آب حرکت می کنند که این سیستم مکانیکی شامل پروانه گردنه کشتی نیز می باشد. قسمت کمی از انرژی عظیمی که صرف حرکت متحرک در آب می شود، به صورت امواج آکوستیکی در آب منتشر می گردد. منبع انتشار این امواج به چند دسته زیر تقسیم می شوند:[۴]

- قسمت های مولد نیروی محرکه متحرک دریایی (موتور ، چرخ دنده ها ، حرکت پیستون موتور ، و سیستم احتراقی سیلندرها)
- پروانه گردنه متحرک دریایی
- ماشین های جانبی متحرک دریایی (ژنراتورهای برق – سیستم تحویله ، پمپ ها و ...)
- تاثیرات هیدرو دینامیکی

طیف چگالی توان امواج آکوستیکی منتشر شده در محیط شامل پهنه ای وسیعی از هارمونیها در حوزه فرکانس است به اضافه آنکه در این طیف مولفه های باند باریکی نیز وجود دارند که به صورت ضربه در تابع چگالی طیف توان ، ظاهر می شوند. این مولفه های باند باریک را به عنوان مولفه های خطی می شناسند. هر یک از چهار منبع مولد انتشار امواج آکوستیکی را بصورت مجمل توضیح می دهیم :

الف- امواجی که منبع مولدشان در دسته اول قرار می گیرد معمولاً بر اثر چرخش میل لنگ های بسیار بزرگ ، چرخ دنده ها ، پیستون های متحرک ، سیستم احتراقی سیلندرها و توربین ها به وجود می آیند. یک مقدار جزیی عدم توازن (به اصطلاح بالانس نبودن اجزا) در هریک از قسمت های مکانیکی ، منجر به ارتعاش و در نتیجه ایجاد امواج آکوستیکی زیرآبی می شود. ثابت شده است که سیگنال های منتشره از این منابع دارای باند

طیفی باریک هستند. به طور ذهنی می توان تجسم کرد که این سیگنال ها مؤلفه هایی از فرکانس گردشی قسمت محرکه وسیله دریایی هستند و بنابراین تقریباً متنابع بوده و در گروه سیگنال های باند باریک قرار می گیرند. البته سیگنال های حاصل از اصطکاک که مؤلف های باند وسیع دارند را هم باید در این گروه در نظر گرفت ولی اهمیت چندانی ندارد.

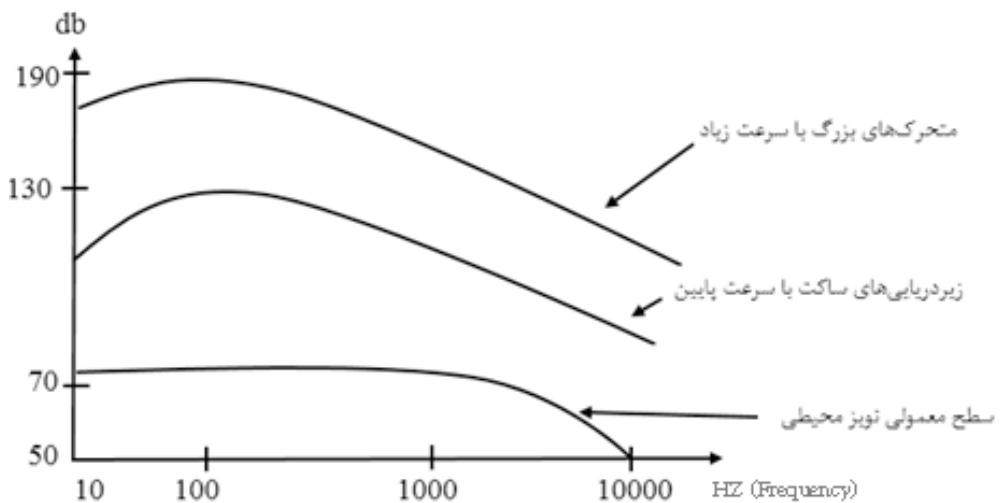
ب- نویز حاصل از پروانه کشتی : این امواج آکوستیکی که پرانرژی ترین نویز حاصل از حرکت کشتی هستند در اثر چرخش پروانه کشتی بوجود می آیند. به خاطر چرخش پره پروانه کشتی مناطق کم فشاری در اطراف پره ها ایجاد می شودو پایین آمدن فشار در این نواحی منجر به ایجاد انبوهی از حباب هوا شده و این حباب ها به تدریج نمو کرده و ناگهان می ترکند و از ترکیدن این حباب ها سیگنالی آکوستیک با انرژی قابل ملاحظه پدید می آید که از فواصل چندین کیلومتری قابل احساس است. سیگنالی که در اثر این فرایند به وجود می آید در محدوده سیگنال های باند وسیع قرار دارد. به خاطر آنکه انرژی سیگنال یا به عبارتی انرژی نویز حاصل در ارتباط با سرعت چرخش پروانه کشتی و در نتیجه متناسب با سرعت کشتی است و بنابراین شکل مشخصه آکوستیکی سیگنال تولیدی از پروانه کشتی ثابت نبوده و با تغییرات سرعت ، تغییر خواهد کرد. باید توجه داشت انرژی این سیگنال با افزایش عمق کاهش دارد.

ج- نویز حاصل از ماشین های جانی : سیگنال های این گروه معمولاً از منابعی مثل ژنراتورهای مولد برق ، سیستم های تهویه ، پمپ ها و دستگاههای از این قبیل ناشی می شوند. نویزهایی که از این منابع در محیط منتشر می شوند به صورت مؤلفه های تونال در طیف فرکانسی ظاهر شده و از نظر دامنه و فرکانس تقریباً پایداری این تونال و عدم وابستگی آن ها به سرعت متحرک عامل سودمندی درشناسایی و کشف متحرک خواهد بود.

د- نویزهای هیدرو دینامیکی : برش و قطع امواج آب در اطراف دماغه ، بدن و عقبه کشتی یک سیگنال نویز آکوستیکی ایجاد می کند که ناشی از عوامل متعدد هیدرودینامیکی است. این سیگنال از حیث انرژی بعد از سیگنال حاصل از گردش پروانه کشتی قرار می گیرد

۱-۸) مشخصه های آکوستیکی کلی متعلق به متحرک های دریایی

در شکل ۱-۱ کل حوزه فرکانسی مربوط به طیف سیگنال های تولید شده توسط متحرک های دریایی دیده می شود. به طوریکه مشهود است در فرکانس های بالاتر از ۱۰ کیلو هرتز طیف توان شیب تضعیف ۲۰ دسی بل بر در هر دهه (۲۰ dB/Decade) را دارد و از درجه اهمیت ساقط می شود. در این شکل اطلاعات بسیار مهم دیگری نیز نهفته است . با توجه به شکل می توان دریافت که پایین ترین و ضعیفترین منحنی طیفی متعلق به زیردریایی های مخفی و غوطه وری است که با سرعت بسیار پایین و با نیروی محرکه الکتریکی حرکت می کند و نویز حاصله از پروانه ندارند. محدوده بالایی متعلق به کشتی های بزرگ با سرعت بالاست و همانگونه که مشاهده می شود چیزی حدود ۵۰ تا ۷۰ دسی بل بالاتر از محدوده پایینی مشخصه متحرک های دریایی یعنی زیردریایی های مخفی است. در همین شکل منحنی مربوط به نویز دائمی محیط رسم شده است و همانطور که مشخص است چیزی در حدود ۴۰ تا ۵۰ دسی بل زیر منحنی مربوط به ضعیفترین سیگنال حاصل از متحرک های دریایی است. بنابراین می توان در شرایط خاص حضور خاموش ترین متحرک های دریایی را کشف کرد.



شکل ۱-۱- طیف مربوط به محدوده نویزهای آکوستیکی تولید شده توسط متحرکهای دریایی

سیگنال هایی که در این مبحث توضیح داده شد سیگنال هایی هستند که معمولاً توسط یک متحرک دریایی تولید می شوند. و اگر قرار باشد حضور یک متحرک در محیط کشف و آشکار شود ، استخراج و پردازش این سیگنال ها معمولاً در شرایط عادی اطلاعات کافی را در اختیار سیستم آشکار ساز قرار می دهند. در راستای عمل آشکار سازی بزرگترین مزاحم و دردسر آورترین موضوع ، مسئله نویز است. مبحث نویزهای محیطی به همراه مطالبی که در این بخش مورد مشخصه آکوستیکی متحرک های دریایی آمده زمینه مناسبی را برای موضوعات ردیابی و مدل ردیابی فراهم کرده است.

۱-۹) خلاصه

در این فصل برخی از پدیده های طبیعی محیط زیرآب را مثل تغییرات سرعت صوت با پارامترهای محیط، پدیده شکست معرفی کرده سپس مفهوم سیستم های آکوستیکی فعال و غیرفعال را توضیح دادیم. در سیستم های آکوستیکی فعال پدیده بازآوایش نقش حیاتی دارد ولیکن در سیستم های آکوستیکی غیرفعال همین پدیده مزاحم کار پردازش می شود. نویز به عنوان یک پدیده اجتناب ناپذیر در هر سیستم پردازشی بعنوان عاملی

مزاحم تلقی می‌شود و برای محدود کردن میزان مزاحمت و اختلال آن باید منابع مولد آن را شناخت و سپس مدلی تقریبی برای آن برگزیدو با در نظر گرفتن این مدل سعی در رفع مزاحمت‌های ناشی از این پدیده کرد. در این فصل منابع مختلف نویز، برای محدوده‌های مختلف حوزه فرکانس عرضه شده است.

فصل دوم

تخمین حالت در سیستم های دینامیکی

۱-۲) مقدمه

یکی از مهمترین موضوعات در سیستم های دینامیکی بحث تخمین متغیرهای حالت غیرقابل مشاهده با استفاده از مدل دینامیکی سیستم ، معادله و داده های مشاهده می باشد. مسئله ردیابی اهداف نمونه ای از مسئله فیلترینگ است. در این مسئله هدف مورد ردیابی به عنوان سیستم دینامیکی مطرح است. در مسئله ردیابی هدف، تخمین بردار حالت سیستم از روی داده های مشاهده با استفاده از معادلات دینامیکی انجام می شود. از روش های ردیابی اهداف زیرآب، توسط سونارهای غیرفعال که طی سال های گذشته و توسط افراد مختلف ارائه شده است، می توان به ردیابی اهداف با استفاده از روش LS^{12} [9] ، روش های دیگری مانند ردیابی اهداف با

¹² Least squares

استفاده^{۱۳} PF [10]، ریابی اهداف زیرآب با استفاده از روش^{۱۴} EKF [11-12]، ریابی اهداف زیرآب با گونه‌های مختلفی از روش^{۱۵} UKF [13-14] اشاره کرد.

صافی کالمن مشهورترین صافی است که در موضوع صافی کردن در سیستم‌های دینامیکی مطرح است این صافی که یک تخمین‌گر براساس معیار MMSE است، برای سیستم‌های دینامیکی با معادلات خطی و نویزهای گوسی، راه حل بهینه را ارائه می‌دهد. اما در بسیاری از مسائل تخمین از جمله ریابی اهداف، معادلات غیرخطی بوده در این شرایط دیگر عملکرد صافی کالمن بهینه نخواهد بود. بنابراین در این حالت مسئله تخمین در سیستم‌های غیرخطی مطرح می‌شود. در این فصل ما به بررسی انواع روش‌های صافی کالمن می‌پردازیم صافی کالمن EKF براساس خطی سازی سیستم می‌باشد.

۲-۲) صافی کالمن

صافی کالمن یک صافی بازگشتی کارآمد است که حالت یک سیستم پویا را از یک سری اندازه گیری‌های همراه با خطا برآورد می‌کند. این صافی به همراه یک تنظیم کننده خطی مرتبه دوم ، مسائل کنترل گوسی مرتبه دوم را حل می‌کند. صافی کالمن ، LQR^{۱۶} و LQG^{۱۷} راه حلی برای یکی از اساسی‌ترین مسائل کنترل هستند.[۱۵]

¹³ particle filter

¹⁴ Extended Kalman filter

¹⁵ Unscented Kalman filter

¹⁶ Linear quadratic regulator

¹⁷ Linear-Quadratic-Gaussian

این صافی در طیف گسترده‌ای از کاربردهای مهندسی از رادار گرفته تا بصیرت رایانه‌ای کاربرد دارد. همچنین در روش تصفیه کالمون یکی از عنایین مهم در نظریه کنترل و مهندسی سیستم‌های کنترلی می‌باشد.

به عنوان مثال برای کاربری آن در رادار، اطلاعات در مورد موقعیت، سرعت و شتاب هدف به خاطر وجود نویز با حجم عظیمی از انحراف در هر لحظه اندازه گیری می‌شود. صافی کالمون از پویایی هدف بهره می‌گیرد به این صورت که سیر تکاملی آن را کنترل می‌کند، تا تاثیرات نویز را از بین ببرد و یک برآورد خوب از موقعیت هدف در زمان حال (تصفیه کردن) و در آینده (پیش‌بینی کردن) و یا در گذشته (الحاق یا هموارسازی) ارائه می‌دهد.

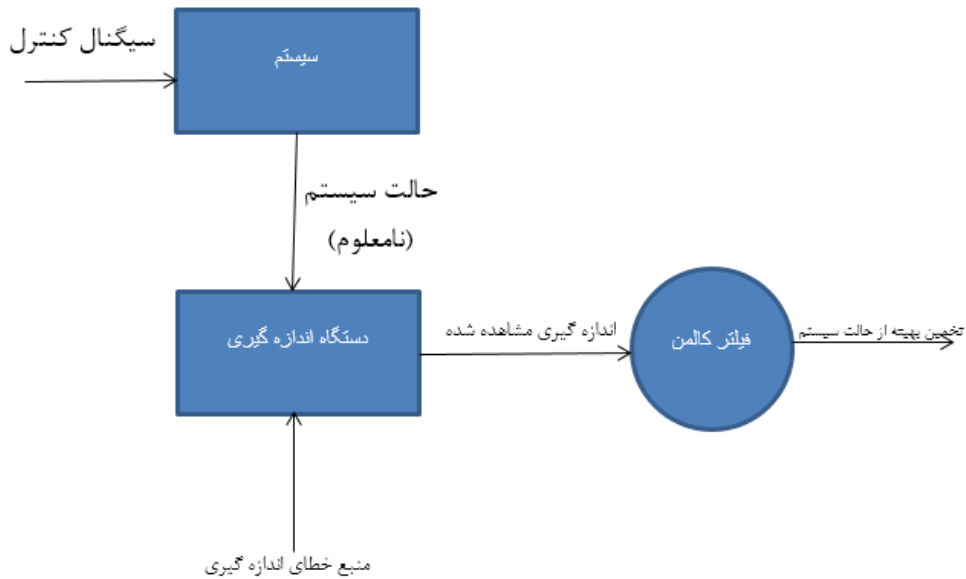
این صافی به افتخار رادلف کالمون، صافی کالمون نام گذاری شد و استنباط اشمیت عموماً به خاطر توسعه اولین پیاده سازی صافی کالمون شهرت یافت. این رخداد هنگام ملاقات وی با کالمون در مرکز تحقیقاتی ناسا روی داد و وی شاهد کارائی ایده کالمون در برآورد مسیر پرتاب پروژه آپولو بود، که منجر به الحاق آن به رایانه ناوی آپولو شد. [۱۶]

این صافی بر روی کاغذ در سال ۱۹۵۸ توسط سورلینگ، در ۱۹۶۰ توسط کالمون و در ۱۹۶۱ توسط کالمون و بوسی ایجاد و بسط داده شد.

۲-۱-۱) شمای کلی صافی کالمون:

صافی کالمون یک مکانیزم ریاضی است که با استفاده از اطلاعاتی در مورد سیستم و وسیله اندازه گیری، تخمینی از حالت سیستم را بدست می‌دهد.

منبع خطای سیستم



شکل(۲-۱)-شمای کلی صافی کالمن

در تئوری کنترل ، صافی کالمن بیشتر به برآورد مرتبه دوم (LQE^{18}) اشاره دارد . امروزه تنوع گسترده‌ای از صافی کالمن به وجود آمده ، از فرمول اصلی کالمن در حال حاضر صافی‌های : کالمن ساده ، توسعه یافته اشمیت ، کالمن گروهی ، اطلاعاتی و صافی‌های گوناگون جذر بیرمن ، تورنتون و بسیاری دیگر به وجود آمده اند. گویا مرسوم ترین نوع صافی کالمن حلقه قفل فاز^{۱۹} می باشد که امروزه در رادیو ها ، رایانه ها و تقریبا انواع ابزار های تصویری و ارتباطی کاربرد دارد.

اساس مدل سیستم پویایی صافی‌های کالمن براساس سیستم‌های خطی پویا^{۲۰} گستته در بازه زمانی هستند. آنها براساس زنجیره مارکوف^{۲۱} مدل شده ، به کمک عملگرهای خطی ساخته شده اند و توسط نویز گوسی

¹⁸ Linear Quadratic Estimation

¹⁹ Phase Locked Loop

²⁰ Linear Dynamical Systems

²¹ Markov chain

^{۲۲} تحریک می شوند. حالت سیستم توسط برداری از اعداد حقیقی بیان می شود. در هر افزایش زمانی که در بازه های گستته صورت می گیرد ، یک عملگر خطی روی حالت فعلی اعمال می شود تا حالت بعدی را با کمی نویز ایجاد کند و در صورت شناخت روی کنترل کننده های سیستم برخی اطلاعات مرتبط را استخراج می کند. صافی کالمن قادر است مشابه مدل نامشخص مارکوف برخورد کند . با این تفاوت کلیدی که متغیرهای حالت نا مشخص در یک فضای پیوسته مقدار می گیرند (نقطه مقابل فضای حالت گستته در مدل مارکوف). بعلاوه ، مدل نامشخص مارکوف می تواند یک توزیع دلخواه برای مقادیر بعدی متغیرهای حالت ارائه کند ، که در تنافق با مدل پارازیت گوسی است که در صافی کالمن استفاده می شود.[۱۵]

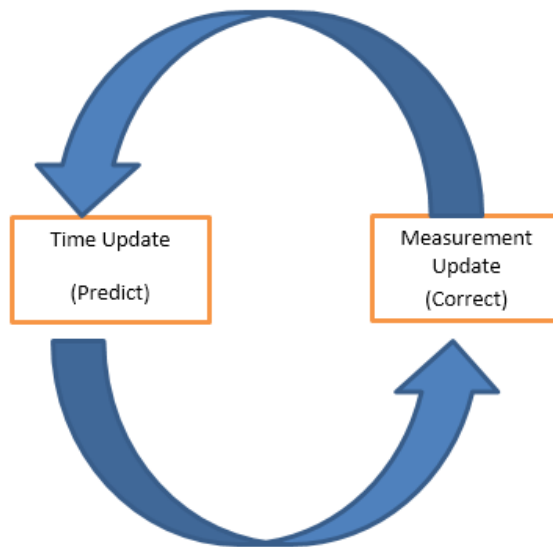
۳-۲-۲) عملکرد صافی کالمن :

در بسیاری از اوقات مدل یک شی را در یک صفحه نویزی در اختیار داریم . در این موارد می خواهیم X را مدل کنیم در حالیکه Z را مشاهده می نماییم. که X و Z بردارهای خصیصه هستند که ممکن است از نظر ابعاد با هم مساوی نباشند.

صافی کالمن یک مکانیزم بازخورده را پیشنهاد می کند که با استفاده از آن می توانیم Z_k را مشاهده کنیم ، X_k را تقریب بزنیم ، X_{k+1} را پیش بینی کنیم و سپس Z_{k+1} را مشاهده نماییم. و با استفاده از پیش بینی های فوق، تقریب X_{k+1} را به روز کنیم [18]

به این ترتیب در این صافی با یک سیکل تکرار مطابق شکل زیر مواجه هستیم :

^{۲۲} Guassian Noise



شکل(۲-۲) – عملکرد کلی صافی کالمن

۲-۲-۴) صافی کالمن خطی:

اولین نسخه از صافی کالمن که دقیقا همان مدلی از آن است که در سال ۱۹۶۰ معرفی شد ، صافی کالمن خطی می باشد که در آن دو فرض اساسی وجود داشت [۱۵].

الف) مشاهده با استفاده از توابع خطی از شرایط مورد بررسی ، بدست می آیند.

ب) نویز در سیستم و اندازه گیری، نویز سفید و گوسی می باشد.

این صافی به شکل کلی زیر مدل می شود :

$$X_{k+1} = A_k X_k + W_k \quad (1-2)$$

به طوری که در آن :

A_k : ماتریسی است که حالت فعلی را به قبلی مرتبط می کند.

W_k : نویز روی مقدار حالت سیستم که از نوع گوسی با میانگین صفر است.

همچنین فرض می کنیم W_k دارای کوواریانس Q_k باشد.

مشاهده در لحظه فعلی

$$Z_k = H_k X_k + V_k \quad (2-2)$$

H_k : ماتریس های اندازه گیری هستند که نشان دهنده چگونگی مرتبط شدن مشاهدات به مدل می باشند.

V_k : نویز روی متغیر های اندازه گیری که از نوع گوسی با میانگین صفر و کوواریانس می باشد.

حال اگر X_{k-1} (یا یک تقریب از آن یعنی \hat{x}_{k-1}) را در اختیار داشته باشیم ، با استفاده از مدل صافی

کالمن می توانیم یک تقریب اولیه برای X_k بدست آوریم

پیش بینی برای مدل در لحظه فعلی:

$$X_k = A_{k-1} X_{k-1} \quad (3-2)$$

این تقریب اولیه معمولا در مقالات مربوط به صورت $\hat{X}_{\bar{k}} = A_{k-1} X_{k-1}$ نشان داده می شود که در آن :

$\hat{X}_{\bar{k}}$ نشان دهنده تقریب و $\bar{X}_{\bar{k}}$ نشان دهنده زمان قبل از مشاهده است.

به این ترتیب \hat{X}_k^+ یعنی تقریب به روز شده که بعد از مشاهده است .

همچنین خطاهایی که همراه هر پیش بینی وجود دارد به صورت خطأ قبل از مشاهده و خطأ بعد از مشاهده

تعریف می شوند :

$$e_K^+ = X_K - \hat{X}_K^+ \quad (4-2)$$

$$e_K^- = X_K - \hat{X}_K^- \quad (5-2)$$

اکنون P_K^+ و P_K^- را به عنوان کوواریانس این دو خطای در نظر می گیریم.

یاد آوری می شود که این خطای توسط نویز W_K در رابطه $X_{k+1} = A_k X_k + W_k$ و خطای ناشی از پیش بینی ایجاد شده اند.

صافی کالمن با اندازه گیری مقدار $Z_k - H_k \hat{X}_K^-$ محاسبات را انجام می دهد.

در این مرحله هدف این است که یک ماتریس بهره کالمن^{۲۳} بدست آوریم تا بتوانیم \hat{X}_K^- را به روز نماییم :

$$\hat{X}_K^+ = \hat{X}_K^- + K_K (Z_K - H_k \hat{X}_K^-) \quad (6-2)$$

ماتریس K_K این خاصیت را خواهد داشت که P_K^+ (ماتریس کوواریانس e_K^+) را حداقل نماید. در این صورت به یک صافی خطی بهینه دست خواهیم یافت.

برای بدست آوردن K_K داریم :

$$e_K^+ = X_K - \hat{X}_K^+ = X_K - (\hat{X}_K^- + K_K (Z_K - H_k \hat{X}_K^-)) \quad (7-2)$$

²³ Kalman gain

که اگر P_K^+ (ماتریس کوواریانس e_K^+) را حساب کرده و نسبت به K_K دیفرانسیل گرفته و حاصل را برابر صفر قرار دهیم ، به رابطه زیر می رسیم:

$$K_K = P_K^- H_K^T (H_K P_K^- H_K^T + R_K)^{-1} \quad (8-2)$$

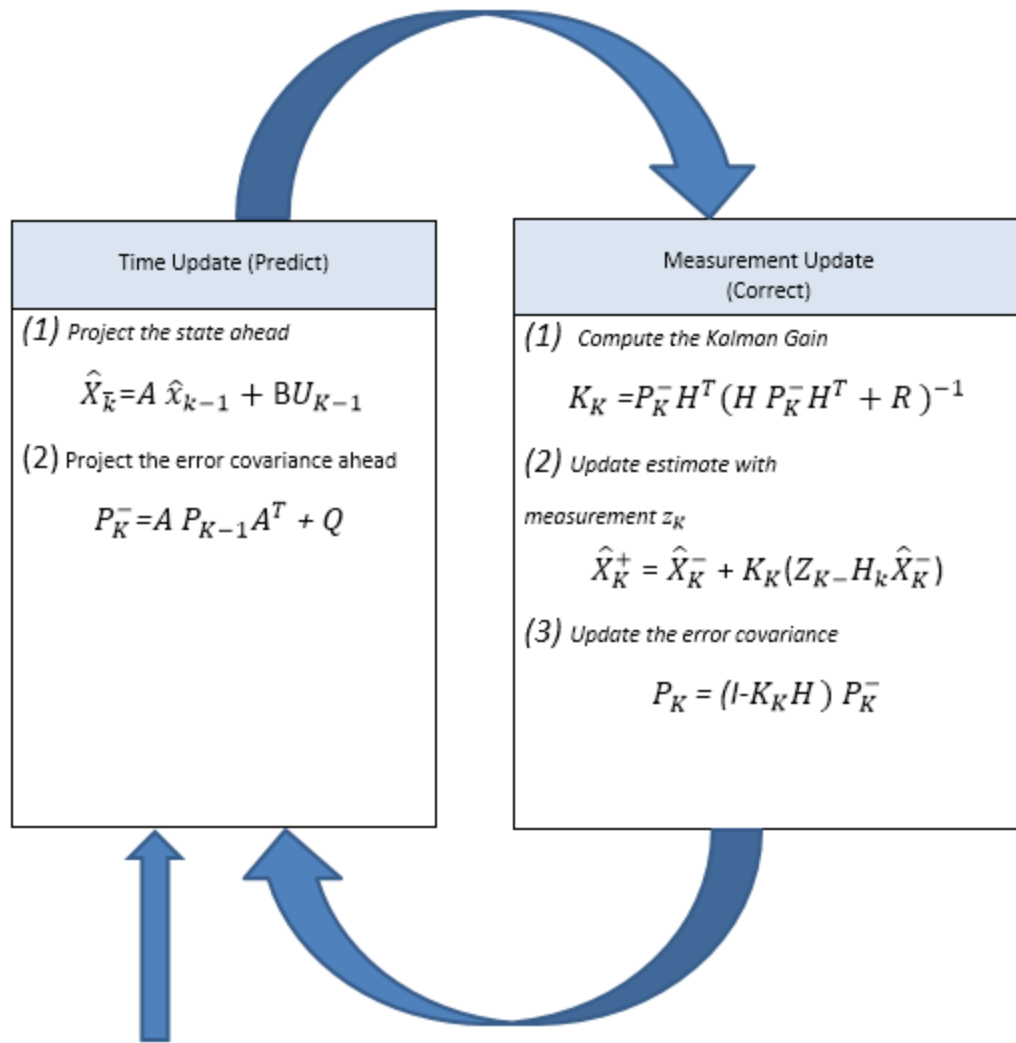
رابطه (8-2) بهره صافی کالمن را ارائه می کند. با توجه به این رابطه، بهره کالمن متناسب با کواریانس پیش‌بینی بوده و با کواریانس مشاهدات نسبت عکس دارد؛ بنابراین برای شرایطی که پیش‌بینی‌ها از دقت پایینی برخوردار باشند، یعنی کواریانس پیش‌بینی بالا باشد و یا بر عکس مشاهدات از دقت بالایی برخوردار باشند، بهره صافی افزایش می‌یابد تا در تجدید بردار حالت وزن بیشتری را به مشاهدات دریافتی اختصاص دهد؛ ولی برای شرایطی که پیش‌بینی از دقت خوبی برخوردار باشد و یا مشاهدات دقت پایینی داشته باشند، صافی کالمن با کاهش بهره سعی در تخمین پارامتر مطلوب براساس پیش‌بینی خودش خواهد داشت.

$$P_K^- = A_K P_{K-1}^+ A_K^T + Q_{K-1} \quad (9-2)$$

و می توان نشان داد که کواریانس خطأ بعد از مشاهده برابر است با :

$$P_K^+ = (I - K_K H_k) P_K^- \quad (10-2)$$

۲-۵) الگوریتم تکرار صافی کالمن در یک نگاه:



Initial estimates for \hat{x}_{k-1} and P_{K-1}

شكل ٢-٣ الگوریتم تکرار صافی کالمن

۲-۳) صافی کالمن توسعه یافته^{۲۴} :

چنانچه اشاره شد صافی کالمن خطی با یک فرض اساسی قابل اجرا بوده ، و آن فرض خطی بودن مدل مورد بررسی می باشد. اما همان طور که می دانیم بیشتر سیستم ها را نمی توان بصورت خطی مدل کرد.

برای رفع این مشکل صافی کالمن توسعه یافته به شرح زیر معرفی شد :

مدل سیستم و مشاهده غیرخطی زیر به همراه نویز جمع شونده با آن ها را در نظر بگیرید:

$$X_k = f(X_{k-1}) + W_{k-1} \quad (11-2)$$

$$Z_k = h(X_k) + V_k \quad (12-2)$$

همچنین حالت اولیه سیستم را به صورت یک بردار تصادفی X_0 با میانگین μ_0 و کواریانس P_0 در نظر می گیریم. توابع برداری $f(\cdot)$ و $h(\cdot)$ و مشتق اول آن ها در دامنه مورد بررسی پیوسته هستند. [۱۹]

نکته مهم در استفاده از EKF این است که غیرخطی بودن توابع برداری f و h باید کم باشد . به عبارت دیگر غیر خطی بودن این توابع باید به مقداری باشد که بتوان آن ها را با استفاده از سری تیلور تقریب زد .

همانطور که دیدیم عملکرد صافی کالمن در دو گام انجام می شود . اکنون نحوه عملکرد EKF را در این دو گام مورد بررسی قرار می دهیم :

²⁴ Extended Kalman Filter

گام اول ، پیش بینی

از آن جا که در ابتدا فقط میانگین μ_0 و کواریانس P_0 از حالت اولیه سیستم در اختیار ماست تخمین بهینه اولیه و کواریانس خطابردند با :

$$X_0^a = \mu_0 = E[X_0] \quad (13-2)$$

$$P_0 = E[(X_0 - X_0^a)(X_0 - X_0^a)^T] \quad (14-2)$$

اکنون با فرض اینکه یک تخمین بهینه به صورت $X_{K-1}^a = E[X_{K-1} Z_{K-1}]$ با کواریانس P_{K-1} در لحظه

$K-1$ داشته باشیم ، قسمت قابل پیش بینی X_K برابر است با :

$$X_K^f \equiv E[X_{K-1} Z_{K-1}] \quad (15-2)$$

$$= E[f(X_{K-1}) + W_{K-1} Z_{K-1}]$$

$$= E[f(X_{K-1}) Z_{K-1}]$$

حال سری تیلور $f(\cdot)$ را حول X_{K-1}^a می نویسیم

$$f(X_{K-1}) \equiv f(X_{K-1}^a) + J_f(X_{K-1}^a)(X_{K-1} - X_{K-1}^a) + H.O.T \quad (16-2)$$

بدیهی است که در اینجا چون با توابع برداری مواجه هستیم از ماتریس ژاکوبین برای مشتق گیری استفاده می کنیم که به صورت زیر تعریف می شود :

$$J_f \equiv \begin{bmatrix} \frac{\partial f_1}{\partial x_1} & \dots & \frac{\partial f_1}{\partial x_n} \\ \vdots & \ddots & \vdots \\ \frac{\partial f_n}{\partial x_1} & \dots & \frac{\partial f_n}{\partial x_n} \end{bmatrix} \quad (17-2)$$

و نکته قابل توجه دیگر اینکه قسمت های با مرتبه بالاتر قابل چشم پوشی هستند . به همین دلیل صافی کالمن

توسعه یافته را صافی مرتبه اول هم می نامند

همان طور که بیان شد :

$$f(x) = (f_1(x), f_2(x), \dots, f_n(x))^T \text{ and } X = (x_1, x_2, x_3, \dots, x_n)^T \quad (18-2)$$

$$f(X_{K-1}) \equiv f(X_{K-1}^a) + J_f(X_{K-1}^a)(X_{K-1} - X_{K-1}^a) + H.O.T \quad (19-2)$$

اکنون داریم :

$$f(X_{K-1}) \approx f(X_{K-1}^a) + J_f(X_{K-1}^a)e_{k-1} \quad (20-2)$$

به طوریکه

$$e_{k-1} \equiv X_{K-1} - X_{K-1}^a \quad (21-2)$$

بنابراین امید ریاضی $f(X_{K-1})$ به شرط مشاهده Z_{K-1} برابر است با :

$$E\{X_{K-1}|Z_{K-1}\} \approx f(X_{K-1}^a) + J_f(X_{K-1}^a)E\{e_{K-1}|Z_{K-1}\} \quad (22-2)$$

و در شرایطی که $E\{e_{K-1}|Z_{K-1}\} = 0$ باشد مقدار پیش بینی شده برای X_K برابر است با :

$$X_k^f \approx f(X_{K-1}^a) \quad (23-2)$$

به همین ترتیب خطای پیش بینی شده و کوواریانس آن از روابط زیر بدست می آیند :

$$e_k^f \equiv X_K - X_K^f \quad (24-2)$$

$$= f(X_{K-1}) + W_{k-1} - f(X_{K-1}^a)$$

$$\approx J_f(X_{K-1}^a) e_{k-1} + W_{k-1}$$

$$P_K^f \equiv E_k^f(e_k^f)^T] \quad (26-2)$$

$$= J_f(X_{K-1}^a) E[e_{k-1} e_{k-1}^f] J_f^T(X_{K-1}^a) + E[W_{k-1} W_{K-1}^T]$$

گام دوم ، تصحیح :

در لحظه‌ی K ام با دو نمونه از اطلاعات مواجه هستیم :

مقدار پیش‌بینی شده X_K^f با کوواریانس P_K^f و مقدار اندازه‌گیری شده (مشاهده شده) Z_K با کوواریانس R_K . اکنون هدف ما این است که مقدار بهینه X_K^a را برای X_K تخمین بزنیم .

محاسبات همانند آنچه در صافی کالمن خطی بررسی شد انجام می‌شود و داریم :

$$x_k^a = x_k^f + K_k(z_k - E[h(x_k)] / z_k]) \quad (27-2)$$

چنانچه اشاره شد $h(\cdot)$ نیز یک تابع غیر خطی می‌باشد که با نوشتن سری تیلور حول X_K^a برای آن خواهیم داشت :

$$h(x_k) \triangleq h(x_k^f) + J_h(x_k^f)(x_k - x_k^f) + H.O.T \quad (28-2)$$

بنابراین به طریق مشابه داریم :

$$E[h(x_k) | z_k] \approx h(x_k^f) + J_h(x_k^f) E[e_k^f | z_k] \quad (29-2)$$

و در شرایطی که $E[e_k^f / Z_K] = 0$ باشد حالت پیش بینی شده برایر است با :

$$x_k^a \approx x_k^f + K_k(z_k - h(x_k^f)) \quad (30-2)$$

همچنین خواهیم داشت :

$$e_k \equiv (I - K_k J_h(x_k^f)) J_f(x_{k-1}^a) e_{k-1} + (I - K_k J_h(x_k^f)) W_{k-1} - K_k V_k \quad (31-2)$$

و کواریانس خطای بعد از مشاهده :

$$P_k \equiv E[e_k^T e_k] \quad (32-2)$$

$$\begin{aligned} &= (I - K_k J_h(x_k^f)) J_f(x_{k-1}^a) P_{k-1} J_f^T(x_{k-1}^a) (I - K_k J_h(x_k^f))^T \\ &\quad + (I - K_k J_h(x_k^f)) Q_{k-1} (I - K_k J_h(x_k^f))^T + K_k R_k K_k^T \\ &= (I - K_k J_h(x_k^f)) P_k^f \left(I - K_k J_h(x_k^f) \right)^T + K_k R_k K_k^T \\ &= P_k^f - K_k J_h(x_k^f) P_k^f - P_k^f J_h^T(x_k^f) K_k^T + K_k J_h(x_k^f) P_k^f J_h^T(x_k^f) K_k^T + K_k R_k K_k^T \end{aligned}$$

چنانچه بیان شد ماتریس K_K این خاصیت را خواهد داشت که $P_K^+ (کوواریانس e_k^+)$ را حداقل کند

بهره کالمن برابر است با :

$$K_k = P_k^f J_h^T(x_k^f) (J_h(x_k^f) P_k^f J_h^T(x_k^f) + R_k)^{-1} \quad (۳۳-۲)$$

البته روش EKF مرتبه اول هرچند در کاربردهای عملی بسیار استفاده می‌شود، اما دقت چندان خوبی ندارد. یکی

از ایده‌هایی که برای افزایش دقت ممکن است به ذهن برسد افزایش مرتبه سری تیلور، به عنوان مثال استفاده

تقریب مرتبه دوم می‌باشد. در ادامه خواهیم دید نتایج شبیه سازی نشان می‌دهد که کارایی این تقریب مرتبه

دوم در مقایسه با صافی EKF مرتبه اول بهبود قابل توجهی دارد. اما صافی کالمن مرتبه دوم و بالاتر به دلیل

حجم محاسبات زیاد و بهبود کارایی محدود یا مرزی این روش، کاربرد فراوانی در مسائل عملی ندارند. برای

کارایی بهتر می‌توان از صافی‌هایی چون UKF استفاده کرد. [۱۳]

۴-۲) شبیه سازی صافی :

۴-۱) ردیابی سیگنال سینوسی تصادفی

در این قسمت مثالی کاربردی از یک سیستم غیرخطی را مورد بررسی قرار می‌دهیم. غیر خطی بودن در مدل اندازه‌گیری در نظر گرفته شده است که می‌توان این غیرخطی بودن را در مدل سیستم بیان نمود و مدل مشاهدات را خطی در نظر گرفت.

بردار حالت را به صورت زیر تعریف می‌کنیم

$$X_k = (\theta_k \ \omega_k \ a_k)^T \quad (34-2)$$

که θ پارامتر تابع سیستم در زمان k و ω سرعت زاویه‌ای در زمان k و a_k دامنه در مرحله k می‌باشد

$$\frac{da}{dt} = \omega_a(t) \quad (35-2)$$

$$\frac{d\omega}{dt} = \omega_\omega(t) \quad (36-2)$$

به این ترتیب مدل دینامیکی زمان پیوسته سیستم به شکل زیر خواهد بود

$$\frac{dx(t)}{dt} = \begin{pmatrix} 0 & 1 & 0 \\ 0 & 0 & 0 \\ 0 & 0 & 0 \end{pmatrix} x(t) + \begin{pmatrix} 0 & 0 \\ 1 & 0 \\ 0 & 1 \end{pmatrix} w(t) \quad (37-2)$$

مقدار نویز مدل می‌باشد. پس از گسسته سازی:

$$X_k = \begin{pmatrix} 0 & \Delta t & 0 \\ 0 & 1 & 0 \\ 0 & 0 & 1 \end{pmatrix} X_{k-1} + Q_{k-1} \quad (38-2)$$

$$Q_{k-1} = \begin{pmatrix} \frac{1}{3} \Delta t^3 q_1 & \frac{1}{2} \Delta t^2 q_1 & 0 \\ \frac{1}{2} \Delta t^2 q_1 & \Delta t q_1 & 0 \\ 0 & 0 & \Delta t q_2 \end{pmatrix} \quad (39-2)$$

همانطور که اشاره شد در این مثال غیرخطی بودن را در مدل اندازه‌گیری در نظر گرفتیم. در نتیجه خواهیم

داشت:

$$h(x_k, k) = a_k \sin(\theta_k) \quad (40-2)$$

بنابراین مدل اندازه‌گیری به صورت زیر خواهد بود

$$y_k = h(x_k, k) + R_k = a_k \sin(\theta_k) + R_k \quad (41-2)$$

به طوریکه R یک نویز سفید گوسی با میانگین صفر و کواریانس ۱ می‌باشد.

با مشتق گیری از تابع اندازه‌گیری داریم :

$$\frac{\partial h(x_k, k)}{\partial \theta_k} = a_k \cos(\theta_k) \quad (42-2)$$

$$\frac{\partial h(x_k, k)}{\partial \omega_k} = 0 \quad (43-2)$$

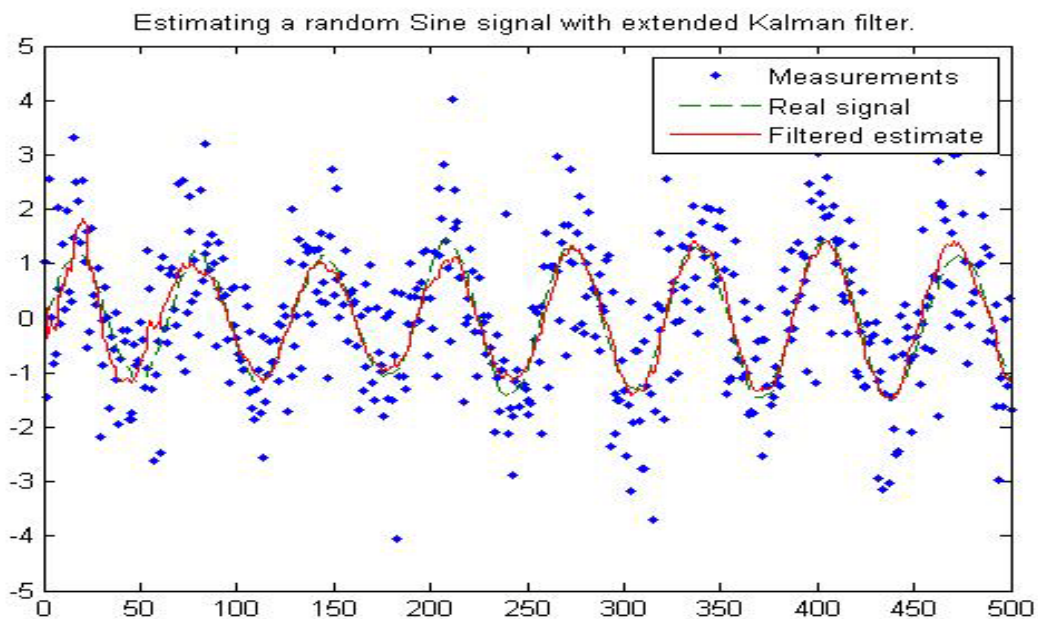
$$\frac{\partial h(x_k, k)}{\partial a_k} = \sin(\theta_k) \quad (44-2)$$

ماتریس ژاکوبین مورد نیاز برای استفاده از EKF به صورت زیر تعریف می‌شود.

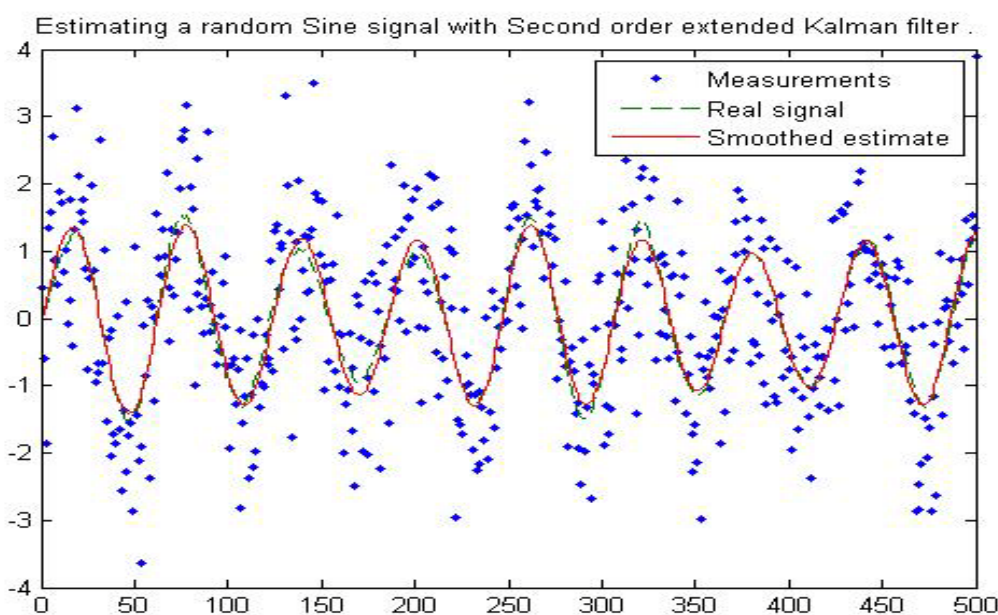
$$H_x(m, k) = \begin{pmatrix} a_k \cos(\theta_k) & 0 & \sin(\theta_k) \end{pmatrix} \quad (45-2)$$

با توجه به نکاتی که درباره صافی کالمن EKF گفته شد ماتریس ژاکوبین مرتبه دوم به صورت زیر می‌باشد.

$$H_{xx}(m, k) = \begin{pmatrix} -a_k \sin(\theta_k) & 0 & \cos(\theta_k) \\ 0 & 0 & 0 \\ \cos(\theta_k) & 0 & 0 \end{pmatrix} \quad (46-2)$$



شکل ۴-۲ تخمین سیگنال سینوسی با استفاده از EKF مرتبه اول



شکل ۵-۲ تخمین سیگنال سینوسی با استفاده از EKF مرتبه دوم

۲-۵) صافی کالمن بی رد :

این روش یکتابع غیرخطی از یک متغیر تصادفی را با استفاده از رگرسیون خطی بین n نقطه از توزیع قبلی آن، خطی سازی می کند. بنابراین به یک روش خطی سازی دست خواهیم رسید که از خطی سازی به روش تیلور دقیق تر است [۱۷، ۱۵].

در EKF توزیع حالت سیستم به یکتابع خطی مرتبه اول تبدیل می شد که این کار میانگین و کواریانس توزیع اصلی را دست خوش تغییرات نامطلوب می کرد. اما UKF روش نمونه برداری غیر احتمالی است که در آن نیازی به مشتق گیری هم نیست. در اینجا توزیع حالت سیستم با استفاده از یک مجموعه مینیمال از چندین نقطه که با دقت انتخاب شده و آن ها را نقاط سیگما می نامیم، نمایش داده می شود [۲۰].

برخلاف EKF که تابع غیرخطی $(\cdot) f$ و $(\cdot) h$ را با استفاده از سری تیلور توسط توابع خطی تقریب می زند و در نتیجه موجب بدست آمدن تابع چگالی احتمال پسین گوسی را فراهم می کند، در روش UKF تابع چگالی احتمال پسین $p(x_k | Z_k)$ با استفاده از یک سری نمونه های مشخص در زمان نمونه K ، بصورت تابعی گوسی تقریب زده می شود. به این دسته از صافی های غیرخطی صافی های LPKF نیز گفته می شود، چرا که در آنها از خطی سازی آماری بجای خطی سازی تحلیلی استفاده شده است. اعضای این خانواده از تخمین گرهای غیر خطی تنها در نحوه انتخاب نمونه ها از نظر تعداد آنها، مقدار آنها و یا وزن های مربوط به آنها با هم متفاوت بوده، در حالیکه مجموعه معادلات صافی سازی در همه آنها یکسان است.

²⁵ Uncentred kalman filter

اساس کار UKF بر پایه UT (تبديل بی‌رد) بنا نهاده شده است. تبدیل بی رد روشی است برای بدست آوردن

مشخصه‌های یک بردار تصادفی که از یکتابع غیرخطی عبور می‌کند. [۲۱]

بردارد تصادفی a را با میانگین \bar{a} و کواریانس P_a در نظر بگیرید که از تابع غیرخطی $g(a)$ عبور کرده و
بردار b را حاصل نماید.

$$b = g(a) \quad (47-2)$$

دو لحظه اول بردار تصادفی b توسط تبدیل بی‌رد به شکل زیر بدست می‌آیند :

در ابتدا $n_a + 1$ نمونه و وزن‌های مربوط به آنها، (A_i, w_i) بطور مشخص به گونه‌ای توسط الگوریتم بی‌رد
حاصل می‌شوند که می‌توانند میانگین و کواریانس a را بدست آورند.

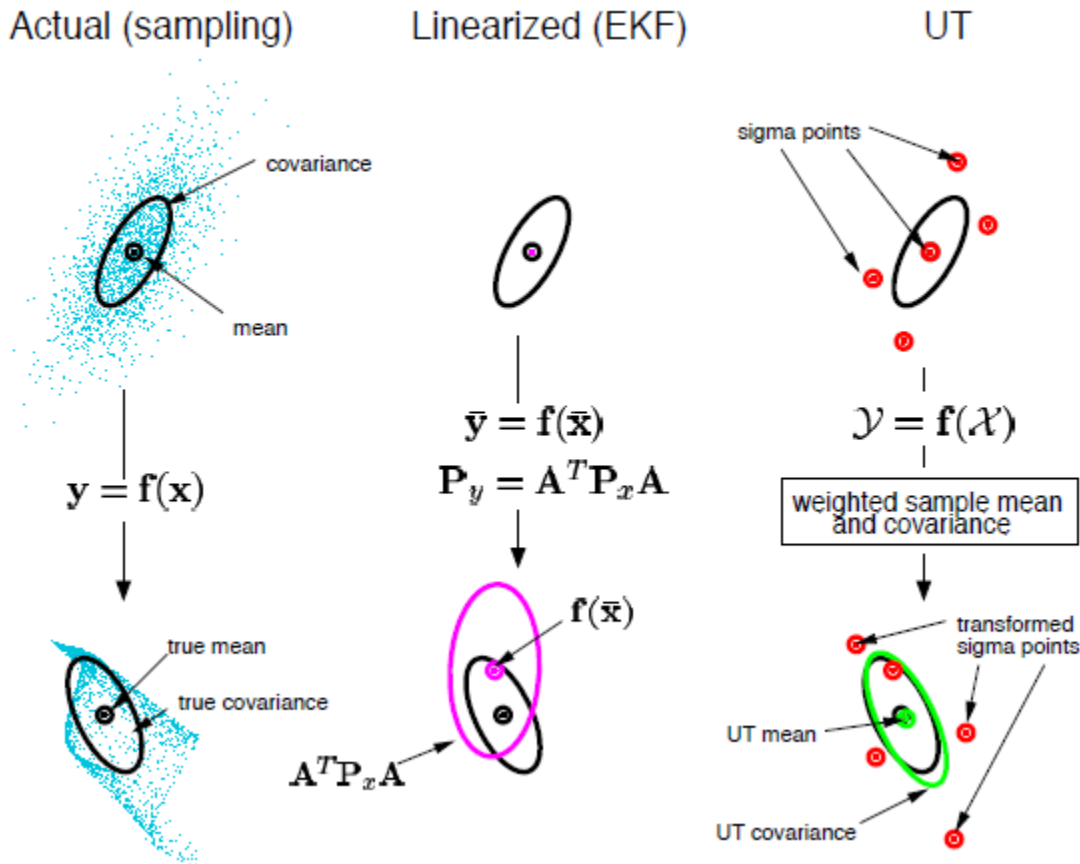
$$A_0 = \bar{a} \quad i=0 \quad (48-2)$$

$$w_0 = \frac{k}{n_a + k} \quad (49-2)$$

$$A_i = \bar{a} + (\sqrt{(n_a + k)P_a}) \quad i=1, \dots, n_a \quad (50-2)$$

$$w_i = \frac{1}{2(n_a + k)} \quad (51-2)$$

$$A_i = \bar{a} - (\sqrt{(n_a + k)P_a}) \quad i=n_a, \dots, 2n_a \quad (52-2)$$



شکل ۲-۶ مقایسه تبدیل با ۰۰۰

K پارامتر ثابتی است بطوریکه $k+n \neq 0$ و $(\sqrt{(n_a + k)P_a} - \bar{a})$ امین ستون ماتریس حاصله از ریشه دوم

ماتریس $\sum_{i=1}^{2n_a} w_i = 1$ میباشد. وزن های w_i ، نرمالیزه شده هستند بطوریکه $(n_a + k)P_a$

قابل ذکر است با افزایش دیمانسیون بردار \bar{a} ، یعنی n_a ، فاصله بین نمونه های بدست آمده A_i ، $i=1,\dots,n_a$

تا \bar{a} افزایش مییابد. این فاصله را تا حدودی میتوان توسط انتخاب مناسب k کنترل کرد. وقتی k منفی

باشد، ممکن است که P_a دیگر نیمه مثبت معین نشود که در اینصورت باید به دنبال روش‌هایی برای از بین بردن این مشکل بود.

با توجه به نمونه‌ها و وزن‌های انتخابی آن‌ها توسط این الگوریتم به راحتی دیده می‌شود از آنجایی که نمونه‌ها بصورت متقارن حول \bar{a} پخش شده‌اند، میانگین وزن‌دار آن‌ها برابر میانگین a می‌باشد:

$$\sum_{i=0}^{2n_a} w_i A_i = w_0 A_0 + \sum_{i=0}^{2n_a} w_i A_i \quad (53-2)$$

$$= \frac{k}{n_a+k} \bar{a} + \frac{2n_a}{2(n_a+k)} \bar{a} = \bar{a}$$

و نیز برای ماتریس کواریانس داریم :

$$\begin{aligned} P &= \sum_{i=0}^{2n_a} w_i (A_i - \bar{a})(A_i - \bar{a})^T \quad (54-2) \\ &= \sum_{i=1}^{n_a} 2w_i (n_a+k)(\sqrt{P_a})(\sqrt{P_a})^T \\ &= \sum_{i=1}^{n_a} (\sqrt{P_a})(\sqrt{P_a})^T = P_a \end{aligned}$$

حال چنانچه این نمونه‌ها ازتابع غیرخطی g عبور کنند، در خروجی n_a+1 نمونه جدید به نام B_i ایجاد می‌کند بطوریکه :

$$B_i = g(A_i) \quad (i=0,1,\dots,2n_a) \quad (55-2)$$

و تخمین هایی از دو لحظه اول b به فرم زیر حاصل می شوند:

$$\bar{b} = \sum_{i=0}^{2n_a} w_i B_i$$

$$P_b = \sum_{i=0}^{2n_a} w_i (B_i - \bar{b})(B_i - \bar{b})^T \quad (56-2)$$

در [۲۱] نشان داده شده است که چنانچه a گوسی باشد دقت تخمین های حاصل شده با استفاده از تبدیل g را برابر دقت تخمین ها در حالتی است که از بسط سری تیلور مرتبه سوم تابع غیر خطی g استفاده کنیم. اما چنانچه a غیر گوسی باشد، دقت تخمین های حاصل شده با این روش برابر دقت تخمین ها در حالتی است که از بسط تیلور مرتبه دوم تابع g استفاده کنیم.

قابل ذکر است که حتی اگر a گوسی باشد بطور کلی با عبور از تابع غیر خطی (a, g) ، خاصیت گوسی بودن خود را حفظ نمی کند. از آنجاییکه با استفاده از تبدیل unscented، عنوان میانگین و کواریانس تابع چگالی احتمال گوسی تلقی می شود که به عنوان تقریبی برای تابع چگالی احتمال پسین غیر گوسی واقعی در فیلترینگ غیر خطی UKF بکار می روند.

$$x_{k-1}^0 = \hat{x}_{k-1|k-1} \quad i=0 \quad (57-2)$$

$$W_{k-1}^0 = \frac{k}{n_x + k}$$

$$x_{k-1}^i = \hat{x}_{k-1|k-1} + (\sqrt{(n_x + k) \hat{p}_{k-1|k-1}}) \quad i=1, \dots, n_x \quad (58-2)$$

$$W_{k-1}^i = \frac{1}{2(n_x + k)}$$

$$x_{k-1}^i = \hat{x}_{k-1|k-1} + (\sqrt{(n_x + k) P_{k-1|k-1}}) \quad i=n_x, \dots, 2n_x \quad (59-2)$$

که در اینجا نیز k پارامتر ثابتی است بطوریکه $k+n \neq 0$ و $\sqrt{(n+k)P_{k-1|k-1}} = (n_s + k)P_{k-1|k-1}$ میباشد. وزن های W_{k-1}^i ، نرمالیزه شده هستند بطوریکه $\sum_{i=1}^{2n_s} W_i = 1$

مرحله پیش بینی :

n_x+1 نمونه از تابع غیرخطی f_{k-1} عبور کرده و n_x+1 نمونه جدید بدست آمده تابع چگالی $P(x_k|Z_{k-1})$ را بفرم گوسی توصیف و تقریب میزنند.

$$\hat{x}_{k|k-1} = \sum_{i=0}^{2n_s} w_{k-1}^i f_{k-1}(x_{k-1}^i) \quad (60-2)$$

(61-2)

$$P_{k|k-1} = Q_k + \sum_{i=0}^{2n_s} w_{k-1}^i (f_{k-1}(x_{k-1}^i) - \hat{x}_{k|k-1}) (f_{k-1}(x_{k-1}^i) - \hat{x}_{k|k-1})^T$$

و تخمین داده اندازه گیری بفرم زیر است :

$$\hat{z}_{k|k-1} = \sum_{i=0}^{2n_s} w_{k-1}^i h_k(x_{k|k-1}^i) \quad (62-2)$$

$$. x_{k|k-1}^i = f_{k-1}(x_{k-1}^i) \quad \text{بطوریکه}$$

محله به روزرسانی:

$$\hat{x}_{k|k} = \hat{x}_{k|k-1} + K_k (z_k - \hat{z}_{k|k-1}) \quad (63-2)$$

$$P_{k|k} = P_{k|k-1} - K_k S_k K_k^T \quad (64-2)$$

بطوریکه

$$K_k = P_{xz} K S_k^{-1} \quad (65-2)$$

$$S_k = R_k + P_{zz} \quad (66-2)$$

$$P_{xz} = \sum_{i=0}^{2n_s} w_{k-1}^i (x_{k|k-1}^i - \hat{x}_{k|k-1}) (h_k(x_{k|k-1}^i) - \hat{z}_{k|k-1})^T \quad (67-2)$$

$$P_{zz} = \sum_{i=0}^{2n_s} h_k (x_{k|k-1}^i - \hat{z}_{k|k-1}) (h_k(x_{k|k-1}^i) - \hat{z}_{k|k-1})^T \quad (68-2)$$

قابل ذکر است که میانگین و کواریانس بدست آمده با استفاده از عملیات استاندارد بردارها و ماتریسها قبل محاسبه و نیازی به بدست آوردن ماتریس ژاکوبین و استفاده از آن همانند آنچه در EKF است، نمی‌باشد. اما

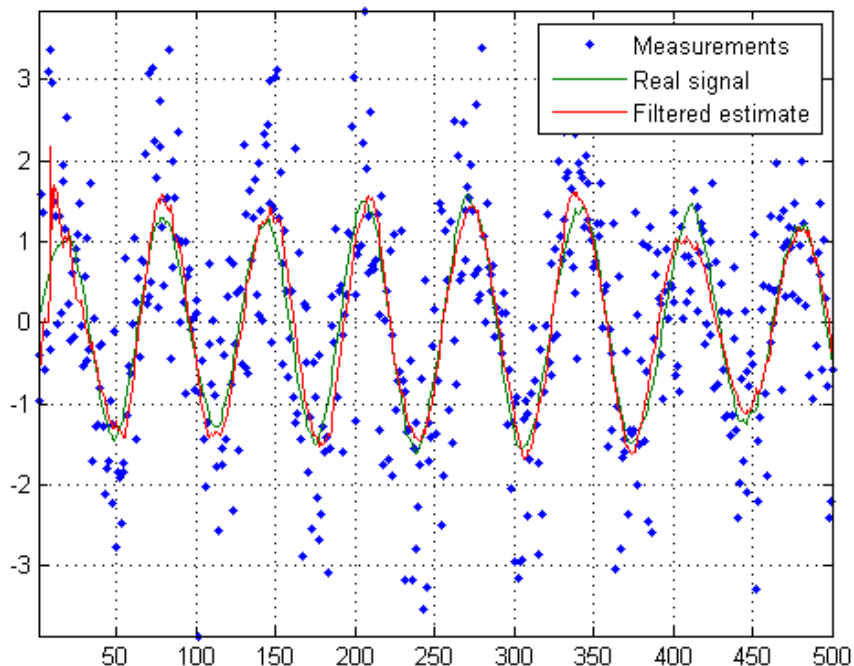
بطور کلی از نظر پیچیدگی محاسباتی، UKF شبیه EKF است. [۲۳]

۶-۲) شبیه سازی صافی کالمن بی رد

۶-۲-۱) ردگیری سیگنال سینوسی

در این قسمت با استفاده از روابط بخش (۱-۳-۲) سیگنال سینوسی را با استفاده از UKF شبیه سازی می‌کنیم

Estimating a random Sine signal with Uncented Kalman filter.



شکل ۷-۲ تخمین سیگنال سینوسی با استفاده UKF

جدول ۱-۲ مقایسه MSE در دو روش UKF و EKF

Method	MSE θ	MSE ω	MSE a
EKF(مرتبه اول)	0.85	0.67	0.74
EKF (مرتبه دوم)	0.76	0.63	0.57
UKF	0.64	0.54	0.49

با مقایسه مقدار خطأ، همانطور که می‌بینید روش UKF مناسب‌تر بوده و مقدار خطای کمتری دارد

۷-۲) صافی کالمن بی رد افزوده^{۲۶}

تبدیل غیر خطی درجه با نویز جمع شونده را در نظر بگیرید

$$Y = f(x) + w \quad (69-2)$$

²⁶ Augmented uncented kalman filter

در اینجا X متغیر تصادفی n بعدی با میانگین \bar{x} و کواریانس p_x و w نویز میانگین صفر m بعدی با کواریانس Q و ناهمسته با x می باشد در حالت عادی مسئله ما پیدا کردن میانگین \bar{y} و کواریانس p_y می باشد. معادله بالا را می توانیم به صورت زیر باز نویسی کنیم.

$$y^a = f^a(x^a) \quad (70-2)$$

که در اینجا بردار تصادفی به صورت مقابل است

$$X^a = [x^T \quad w^T]^T \quad (71-2)$$

و تبدیل غیر خطی جدید به صورت زیر تعریف می شود

$$f^a(x^a) = f^a([x^T \quad w^T]^T) = f(x) + w \quad (72-2)$$

در اینجا X^a با $(l=n+w+v)$ نقطه سیگمای متقارن تخمین زده می شود

$$x_0 = \hat{x} \quad (73-2)$$

$$x_i = \hat{x} + (\sqrt{(n+k)P_x})_i \quad (74-2)$$

$$x_{i+n} = \hat{x} - (\sqrt{(n+k)P_x})_i \quad (75-2)$$

$$W_0 = k/(n+k) \quad (76-2)$$

$$W_i = k/2(n+k) \quad (77-2)$$

$$W_{i+n} = k/2(n+k) \quad (78-2)$$

W_i وزن همراه با آمین نقطه سیگما می باشد . k پارامتر مقیاس بندی می باشد که اغلب بین $n-3$ در نظر گرفته می شود اگر k برابر در نظر گرفته شود وزن ها و نقاط سیگما با n در نظر گرفته می شود .

تابع تبدیل را در نظر بگیرید

$$y_i = f(x_i) \quad (79-2)$$

مقدار \hat{y} به وسیله میانگین وزن های نقاط تبدیل محاسبه می شود

$$\hat{y} = \sum_{i=0}^{2n} W_i \gamma_i \quad (80-2)$$

رابطه کواریانس p_y به صورت زیر می باشد.

$$P_y = \sum_{i=0}^{2n} W_i (\gamma_i - \hat{y})(\gamma_i - \hat{y})^T + Q \quad (81-2)$$

۱-۷-۲) تبدیل Augmented UT

بردار تصادفی افزوده x^a به وسیله $2(n+m)+1$ نقطه سیگما متقارن تقریب زده می شود

$$x_0^a = \hat{x}^a \quad i=0 \quad (82-2)$$

$$x_i^a = \hat{x}^a + (\sqrt{(L+k^a)P_{x^a}})_i \quad i=1, \dots, L \quad (83-2)$$

$$x_{i+L}^a = \hat{x}^a - (\sqrt{(L+k^a)P_{x^a}})_i \quad i=1, \dots, L \quad (84-2)$$

$$W_0^a = k^a / (n + m + k^a) \quad i=0 \quad (85-2)$$

$$W_i^a = 1/2(n + m + k^a) \quad i=1, \dots, L \quad (86-2)$$

$$W_{i+n+m}^a = 1/2(n + m + k^a) \quad i=1, \dots, L \quad (87-2)$$

در اینجا وزن W_i^a و اسکالر k^a همتای w_i و k می باشند.

معادله پیش بینی

$$x_i^k(k+1|k) = f^a(k, x_i^k(k), x_i^w(k)) \quad i=0, \dots, 2L \quad (88-2)$$

$$\hat{x}^a(k+1|k) = \sum_{i=0}^{2L} W_i^a x_i^x(k+1|k) \quad (89-2)$$

$$\Delta x_i^a(k+1|k) = x_i^x(k+1|k) - \hat{x}^a(k+1|k) \quad (90-2)$$

$$P_{x^a(k+1|k)} = \sum_{i=0}^{2L} W_i^a x_i^a(k+1|k) (x_i^a(k+1|k))^T \quad (91-2)$$

$$\xi_i^a(k+1) = h^a(k+1, x_i^k(k+1|k), x_i^v(k)) \quad (92-2)$$

$$\hat{Z}^a(k+1|k) = \sum_{i=0}^{2L} W_i \xi_i^a(k+1) \quad (93-2)$$

$$\Delta \xi_i^a(k+1) = \xi_i^a(k+1) - \hat{Z}^a(k+1|k) \quad (94-2)$$

$$P_{z^a} = \sum_{i=0}^{2L} W_i \Delta \xi_i^a(k+1) (\Delta \xi_i^a(k+1))^T \quad (95-2)$$

$$P_{x^a z^a} = \sum_{i=0}^{2L} W_i \Delta x_i^a(k+1) (\Delta \xi_i^a(k+1))^T \quad (96-2)$$

معادله به روز رسانی

$$K^a(k+1) = P_{x^a z^a} P_{z^a}^{-1} \quad (97-2)$$

$$\Delta Z^a(k+1) = Z(k+1) - \hat{Z}^a(k+1|k) \quad (98-2)$$

$$\hat{x}^a(k+1) = \hat{x}^a(k+1|k) + K^a(k+1) \Delta Z^a(k+1) \quad (99-2)$$

$$P_{x^a(k+1)} = P_{x^a(k+1|k)} - K^a(k+1) P_{z^a} K^a(k+1)^T \quad (100-2)$$

۸-۲) عوامل کاهش‌دهنده عملکرد ردیابی صافی کالمن

به طور کلی می‌توان عوامل کاهش‌دهنده عملکرد ردیابی را در شرایط عملی بصورت زیر برشمرد.

۱. همانطور که می‌دانیم صافی کالمن در شرایط خاصی که معادلات سیستم و اندازه‌گیری خطی باشند و نویز جمع شونده در این معادلات گوسی باشد، بهینه می‌باشد. در حالت کلی در مسئله ردیابی اهداف، معادلات دینامیک در فضای کارتزین توصیف می‌شوند در حالیکه داده‌های دریافت شده توسط سونار و رadar در فضای کروی بیان می‌گردند، هر یک از دسته معادلات دینامیک و دسته معادلات اندازه‌گیری در فضای توصیف شده

خود خطی محسوب می‌شوند. اما بمنظور پیاده نمودن هریک از الگوریتم‌های ریدیابی برای تخمین متغیرهای حالت (موقعیت، سرعت و شتاب هدف) لازم است تا هر دو دسته معادلات دینامیک و اندازه‌گیری در یک فضا توصیف شوند. تبدیل هر دسته از این معادلات از فضای مربوطه به فضای دیگر، باعث ایجاد دسته معادلات غیرخطی می‌شود.

۲. مانور هدف: چنانکه دیدیم هر صافی کالمن تنها یک معادله دینامیکی دارد که برای ریدیابی مناسب لازم است تا به دینامیک هدف نزدیک باشد. هدف در مدت زمان ریدیابی بسته به شرایط مختلف در هر لحظه انواع حرکت را از خود بروز می‌دهد، لذا بسته به نوع حرکت دینامیک واقعی هدف تغییر ایجاد می‌کند. پس سیستم ریدیاب با یک تابع دینامیکی نمی‌توان انتباط مناسبی با دینامیک هدف ایجاد کند و این مسئله باعث کاهش عملکرد سیستم ریدیاب می‌شود.

۳. نویز مشاهده غیرگوسی Glint: از جمله فرضیات بهینه ماندن صافی کالمن، گوسی بودن نویزهای حالت و مشاهده می‌باشد. غیر گوسی بودن نویز مشاهده عملکرد سیستم ریدیابی را کاهش می‌دهد. در صورتی که چگالی نویز غیرگوسی دنبال سنگین یا دنبال طولانی باشد تنزل عملکرد صافی کالمن بشدت و به نحو چشمگیری افزایش می‌یابد، بطوریکه امکان گم شدن هدف وجود دارد. در ریدیابی هدف سیمای هدف از دید رادار تغییر می‌کند. این مسئله باعث می‌شود تا مرکزان عکاس آشکار سونار شدیداً دچار سرگردانی شود. در این حالت نویز مشاهدات رفتاری غیرگوسی از خود بروز داده که این رفتار غیرگوسی دارای چگالی دنباله سنگین می‌باشد که آن را نویز Glint می‌نامند. دنباله سنگین بودن نویز همراه با داده‌های عملی رادار ایجاد ضربه‌های شدید می‌کند. این ضربه‌ها عملکرد صافی کالمن را کاهش می‌دهد. لذا صافی کالمن در مواجهه با این ضربه‌ها شدیداً دچار خطا می‌شود و عملکرد ریدیابی به شدت کاهش می‌یابد. Glint تولید شده بوسیله اهداف کوچک در فواصل دور قابل چشم پوشی است. اما وقتی ریدیابی یک هدف بزرگ در برد کوتاه در حال انجام باشد، در

کاهش دقت ردیابی دقت ردیابی بسیار موثر می‌باشد. بنابراین در اصل با توجه به وجود این نویز، با مسئله صافی

[۲۶] کردن غیرگوسی مواجه هستیم.

۴. نویز مشاهده رنگی : چنانچه متذکر شدیم در ردیابی اهداف از داده‌های نویزی سونار استفاده می‌شود.

همانطور که در معادلات کالمن دیدیم نویز اندازه‌گیری معمولاً سفید در نظر گرفته می‌شود. یعنی فرض می‌شود

که انرژی نویز در تمام فرکانس‌ها بطور یکنواخت توزیع شده است. اما در عمل اینچنین نویزی وجود ندارد و

همه نویزها دارای یک باند فرکانسی هستند که تمام فرکانس‌ها را شامل نمی‌شود و بیشتر انرژی نویز در این باند

متمرکز است. اینچنین فرضی به واقعیت نزدیکتر می‌باشد. در این صورت نویز موجود در سنجش رadar و سونار

دیگر سفید نیست و به آن نویز رنگی گفته می‌شود. رنگی بودن نویز باعث کاهش عملکرد سیستم ردیاب می‌شود

و صافی کالمن از حالت بهینه خارج می‌شود، چرا که صافی کالمن با فرض نویز سفید یک صافی بهینه می‌باشد.

همبستگی بین نمونه‌ها به پریود نمونه برداری بستگی دارد، با افزایش آن همبستگی بین نمونه‌ها نویز رفته رفته

کاهش می‌یابد و به صفر نزدیک می‌شود. در رadarها و سونارهای با فرکانس سنجش پایین به خاطر وجود

خاصیت فوق با تقریب خوب نمونه‌های نویز مستقل از هم فرض می‌شوند. اما در سیستم‌های ردیابی پیشرفته

که زمان نمونه‌برداری در حد صدم ثانیه می‌باشد. دیگر نمی‌شود از همبستگی بین نمونه‌ها صرفنظر کرد، چرا که

[۲۸] این مسئله باعث کاهش عملکرد سیستم ردیاب می‌شود.

۹-۲ خلاصه

در این فصل به بررسی انواع روش‌های تخمین پرداختیم. در ابتدا صافی کالمن خطی معرفی شد. این صافی

توسط کالمن معرفی شد ولی کاربرد آن برای سیستم‌های خطی بود و سیستم‌های غیرخطی را جوابگو نبود.

به همین علت صافی کالمن توسعه یافته معرفی شد که در این فصل به صورت مفصل بررسی گردید. این

صافی از کالمن خطی قابل قبول تر بود اما برای سیستم‌هایی که غیر خطی بودن آن‌ها کم می‌باشد مناسب

است. به همین خاطر صافی کالمن بی‌رد معرفی گردید این صافی برای سیستم‌های غیرخطی مناسب می‌باشد. در ادامه صافی کالمن بی‌رد پیشرفته شرح داده شد. در صافی کالمن بی‌رد اگر نویز را جمع شونده و در تابع سیستم در نظر بگیریم با خطای کمتری در تخمین مواجه می‌شویم.

فصل سوم

ردیابی اهداف زیرآب

۱-۳) مقدمه

ردیابی هدف یکی از مهمترین قسمت های بسیاری از سیستم های نظارت و راهبری است ، که کار آن می تواند تعیین تعداد ، مکان و خصوصیات هدف باشد. به طور کلی کار سیستم ردیاب استخراج اطلاعات دقیق مربوط به اهداف ، از روی داده های نویزی غیردقیق می باشد. این موضوع به نوعی همان مفهوم صافی کردن است. روند به این صورت است که پس از اعلام وجود هدف در واحد پردازش سیگنال ، داده های مورد نیاز سیستم ردیاب از سیگنال های نویزی استخراج شده، به سیستم ردیاب منتقل می شود. مهمترین قسمت سیستم ردیاب ، صافی ردیاب است. که فصل قبل انواع روش های صافی کردن را شرح دادیم.

مسئله ردیابی هدف شامل معادلات دینامیکی و مشاهدات است. در ردیابی ، هدف این است که با در اختیار داشتن داده ها از واحد پردازش سیگنال ، از طریق روابط بازگشتی بردار حالت مربوط به هدف تخمین زده شود.

حل این مسئله به مسئله فیلترینگ منجر می شود. مشهورترین صافی های مورد استفاده در مسائل تخمین ، با توجه به نوع معادلات و نوع نویز در مسئله عبارتند از : صافی کالمن ، صافی کالمن تعمیم یافته ، صافی کالمن بی رد ، صافی ذره ای و ...

هدف این فصل ارائه یک تصویر کلی از سیستم های ردیابی می باشد. به این منظور ابتدا وظایف سیستم ردیابی مطرح خواهد شد ، سپس با ارائه نمای کلی یک سیستم ردیابی ، بخش های مختلف آن به اختصار توضیح داده خواهند شد. در پایان نیز مدل ردیابی به اختصار شرح داده خواهد شد.

۲-۳) وظایف بخش ردیابی

در این قسمت به طور خلاصه به قابلیت های مورد نظر یک سیستم ردیابی پرداخته می شود. یک سیستم ردیابی باید قابلیت ردیابی هدف با استفاده از مشاهدات دریافتی از حس گر مربوط را دارا باشد. به بیان دیگر چنین سیستمی باید قادر به انجام تخمینی مناسب از حالت اهداف موجود در ناحیه مورد مراقبت و در صورت امکان محاسبه دقیق این تخمین ها باشد. این عمل بایستی تحت شرایط و محدودیت های زیر انجام پذیرد :

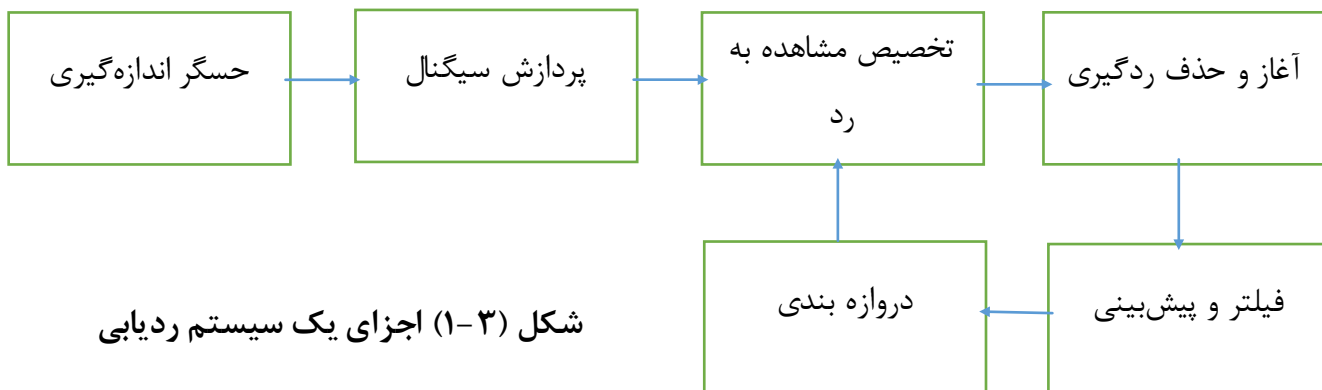
۳-۱) عدم قطعیت در حرکت هدف

معمولاً حرکت هدف تحت تاثیر اختلالات تصادفی و بعض امانورهای تعمدی نامشخص و غیرقابل پیش‌بینی برای بخش ردیابی قرار دارند. از اینرو انتخاب مدل مناسب برای حرکت هدف و نحوه مدل‌سازی آن ، از اهمیت ویژه ای برخوردار است.

۲-۲-۳) مشخص نبودن منشاء مشاهدات حسگر

یکی از مشکلات حاد سیستم‌های ردیابی مشخص نبودن منشاء هر کدام از مشاهدات گزارش شده توسط حسگر می‌باشد که از مهمترین عوامل ایجاد این شرایط می‌توان به وجود هشدارهای غلط در سیستم‌های آشکارسازی، کلاتر ناشی از انعکاس از اهداف مجازی موجود در ناحیه مراقبت اشاره کرد.

۳-۳) اجزای یک سیستم ردیابی



شکل (۳-۱) نمای کلی یک سیستم ردیابی را نشان می‌دهد. اگرچه بعضی تداخل فعالیت بین بخش‌های مختلف شکل فوق وجود دارد، اما در مجموع تقسیم بندی ارائه شده قابل قبول است. در اینجا پردازش اطلاعات به

صورت بازگشته صورت می‌گیرد. بنابراین فرض بر این است که قبلاً از دریافت مشاهدات یک اسکن ردیابی برای هدف موجود در اسکن‌های قبل تشکیل شده باشد.

اطلاعات جمع‌آوری شده حسگر در اسکن جاری ابتدا وارد بخش آشکارسازی و پردازش سیگنال می‌شوند. در این قسمت با انجام پردازش‌های لازم بر روی اطلاعات دریافتی، آن‌ها را به صورت قابل استفاده برای بخش ردیابی (به طور مثال زاویه) در می‌آورند. خروجی‌های بخش پردازش سیگنال که مجموعه‌ای از مشاهدات گزارش شده توسط رادار به عنوان موقعیت هدف در ناحیه مراقبت است، برای تخصیص به رد موجود استفاده می‌شوند. به این ترتیب که نخست با بررسی شرط دروازه برای هر مشاهده، همبستگی‌های ممکن بین سنجش‌های حسگر و رد تایید شده موجود مشخص می‌شوند، سپس با الگوریتم‌های پیچیده تر تصمیم نهایی در مورد نحوه اختصاص مشاهدات به رد موجود اتخاذ می‌گردد. در ادامه مشاهداتی که دارای معیارهای لازم برای ادامه ردیابی نیستند از لیست مشاهدات مربوط به رد موجود حذف می‌شوند. در نهایت براساس مشاهده تخصیص داده شده به رد موجود، تخمین حالت فعلی آن‌ها و همچنین پیش‌بینی این حالات برای گام بعدی با استفاده از روش‌های تخمین مناسب صورت می‌پذیرد.

۴-۳) ردیابی اهداف زیرآب

ردیابی هدف، یک نیاز ضروری جهت سیستم‌های نظارت و مراقبت است. در این سیستم‌ها عموماً از یک یا چند حسگر و نیز زیر سیستم‌های کامپیوتری استفاده می‌شود. از جمله سیستم‌های نظارت و مراقبت می‌توان به سیستم‌های رادار و سونار اشاره کرد. در این سیستم‌ها اندازه‌گیری‌ها از طریق منابع گوناگونی همچون انعکاس بازگشته از اهداف با توجه به قوت آن‌ها، نویز زمینه و منابعی همچون نویز حرارتی انجام می‌شود. در واقع هدف اصلی ردیابی اهداف، ابتدا جمع نمودن داده‌های دریافتی از حسگرهای که شامل یک یا چند هدف بالقوه است، می‌باشد. پس از این مرحله این داده‌ها درون مجموعه‌ای از مشاهدات، طبقه‌بندی شده و بعد از آن که نویزهای

پیش‌زمینه و دیگر اهداف اشتباهی حذف شدند، اهداف تخمین زده شده و کوانتیزه می‌گردند و نهایتاً اطلاعاتی مانند سرعت هدف، موقعیت پیش‌بینی شده آینده و نیز مشخصات طبقه‌بندی هدف محاسبه و ثبت خواهد شد.

۵-۳) مدل سازی دینامیک حرکت هدف

ماهیت هر مدل توسط معادلات حالت و مشاهدات بیان می‌شود. مدل سیستم و همچنین معادله اندازه‌گیری را بصورت زیر در نظر می‌گیریم [17]

$$X(k) = F X(k-1) + U(k) \quad (1-3)$$

$$Z(k) = \text{Arctan}\left(\frac{x_1(k)}{x_2(k)}\right) + W(k) \quad (2-3)$$

که $U(k)$ و $W(k)$ فرآیندهای تصادفی دارای توزیع مستقل یکسان گوسی با میانگین صفر که به ترتیب با ماتریس کواریانس $Q(k)$ و $R(k)$ بوده و نویز فرآیند و نویز اندازه گیری را مدل می‌کنند.

همانطور که مشاهده می‌شود معادلات حالت خطی و معادله اندازه‌گیری غیرخطی می‌باشد. از آن جا که معادله اندازه گیری سیستم غیرخطی می‌باشد به دنبال روش‌هایی می‌باشیم که با استفاده از تقریب‌های خطی مشکل غیرخطی بودن معادله اندازه گیری سیستم را حل نمایند و بتوانیم تخمینی از بردار حالت سیستم داشته باشیم. روش‌های مختلفی در چند دهه اخیر مورد توجه قرار گرفته که می‌توان از فیلتر کالمون EKF، فیلتر کالمون UKF، فیلتر کالمون گوسی - هرمیت و روش‌های دیگر نام برد. که در فصل پیش به بررسی و مقایسه این تخمینگرهای پرداختیم.

۳-۵-۱) بررسی مدل ردگیری هدف در فضای کارتزین

همانطور که در شکل (۱-۲) می‌بینید مدل هدف یک حرکت نسبی تقریباً خطی را دارد که برای مدل سیستم در فضای کارتزین با سرعت ثابت و معادله گسسته زمان داریم :

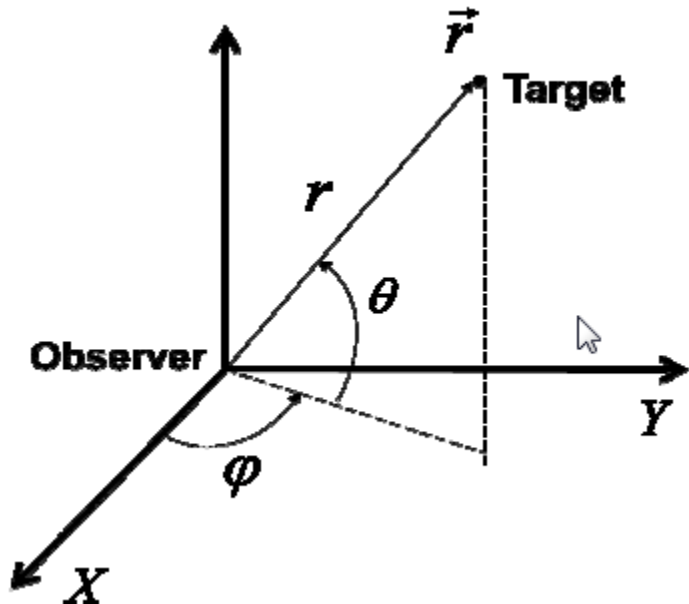
$$x_{k+1}^{car} = F_k x_k^{car} + G_k W_k \quad (3-3)$$

$$x_{k+1}^{car} = \begin{bmatrix} 1 & 0 & 0 & T & 0 & 0 \\ 0 & 1 & 0 & 0 & T & 0 \\ 0 & 0 & 1 & 0 & 0 & T \\ 0 & 0 & 0 & 1 & 0 & 0 \\ 0 & 0 & 0 & 0 & 1 & 0 \\ 0 & 0 & 0 & 0 & 0 & 1 \end{bmatrix} x_k^{car} + \begin{bmatrix} T^2/2 & 0 & 0 \\ 0 & T^2/2 & 0 \\ 0 & 0 & T^2/2 \\ T & 0 & 0 \\ 0 & T & 0 \\ 0 & 0 & T \end{bmatrix} W_k \quad (4-3)$$

همانطور که مشاهده می کنید معادله حالت خطی می باشد و معادله اندازه گیری به صورت زیر مدل می شود

$$Z_k = \begin{bmatrix} \varphi \\ \theta \end{bmatrix} = \begin{bmatrix} \arctan\left(\frac{x_2}{x_1}\right) \\ \arctan\left(\frac{-x_3}{\sqrt{x_1^2+x_2^2}}\right) \end{bmatrix} \quad (5-3)$$

در معادله ۳-۵ مشاهده می کنید که معادله اندازه گیری به شدت غیرخطی می باشد.



شکل ۲-۳ موقعیت هدف و حسگر در فضای سه بعدی و زوایای آن

همانطور که در شکل مشاهده می‌کنید φ زاویه نسبت به بردار Z و یا زاویه عمودی هدف می‌باشد و θ زاویه نسبت به بردار X و Y و یا به عبارتی زاویه افقی هدف است. بردار هدف را به صورت زیر در نظر بگیرید

$$x_t(K) = [S_t(K), Y_t(K), Z_t(K), V_{tx}(K), V_{ty}(K), V_{tz}(K)]^T \quad (6-3)$$

که در رابطه شماره (6-3) $s_t(K), Y_t(K), Z_t(K)$ به ترتیب موقعیت هدف در راستای محور X ها، Y ها و Z ها است و $V_{TX}(K), V_{TY}(K), V_{TZ}(K)$ به ترتیب سرعت هدف در راستای محور X ها، Y ها و Z ها می‌باشد.

همچنین بردار حالت حسگرها را به صورت زیر مفروض باشد

$$x_0(K) = [S_0(K), Y_0(K), Z_0(K), V_{0X}(K), V_{0Y}(K), V_{0Z}(K)]^T \quad (7-3)$$

به $V_{OX}(K), V_{OY}(K), V_{OZ}(K)$ موقعیت حسگر در راستای محور X، Y و Z است و

ترتیب سرعت حسگر در راستای محور X، Y و Z می‌باشد.

$$\theta_1(K) = \tan^{-1} \frac{Y_t(K) - Y_{O1}(K)}{S_t(K) - S_{O1}(K)} = \tan^{-1} \frac{R_{Y1}(K)}{R_{X1}(K)} \quad (11-1)$$

۱)

$$\theta_2(K) = \tan^{-1} \frac{Y_t(K) - Y_{O2}(K)}{S_t(K) - S_{O2}(K)} = \tan^{-1} \frac{R_{Y2}(K)}{R_{X2}(K)} \quad (11-2)$$

۲)

$$\varphi_1(K) = \tan^{-1} \frac{Z_T(K) - Z_{O1}(K)}{\sqrt{(S_t(K) - S_{O1}(K))^2 - (Y_t(K) - Y_{O1}(K))^2}} = \tan^{-1} \frac{R_{Z1}(K)}{\sqrt{(R_{X1}(K))^2 - (R_{Y1}(K))^2}} \quad (11-3)$$

$$\varphi_2(K) = \tan^{-1} \frac{Z_T(K) - Z_{O2}(K)}{\sqrt{(S_t(K) - S_{O2}(K))^2 - (Y_t(K) - Y_{O2}(K))^2}} = \tan^{-1} \frac{R_{Z2}(K)}{\sqrt{(R_{X2}(K))^2 - (R_{Y2}(K))^2}} \quad (11-4)$$

که در روابط بالا $R_X(K), R_Y(K), R_Z(K)$ به ترتیب برد هدف در راستای محور X، Y و Z است

$$X(k) = F(X(k-1)) + W(k-1) \quad (12-1)$$

۳)

$$Z(k) = h(X(k)) + V(k) \quad (12-2)$$

۴)

$$X(k) = \begin{bmatrix} 1 & 0 & 0 & \Delta t & 0 & 0 \\ 0 & 1 & 0 & 0 & \Delta t & 0 \\ 0 & 0 & 1 & 0 & 0 & \Delta t \\ 0 & 0 & 0 & 1 & 0 & 0 \\ 0 & 0 & 0 & 0 & 1 & 0 \\ 0 & 0 & 0 & 0 & 0 & 1 \end{bmatrix} \begin{bmatrix} X_T(k-1) \\ Y_T(k-1) \\ Z_T(k-1) \\ V_{TX}(k-1) \\ V_{TY}(k-1) \\ V_{TZ}(k-1) \end{bmatrix} + \begin{bmatrix} WX_T(k-1) \\ WY_T(k-1) \\ WZ_T(k-1) \\ WV_{TX}(k-1) \\ WV_{TY}(k-1) \\ WV_{TZ}(k-1) \end{bmatrix} \quad (12-3)$$

۵)

$$z_k = \begin{bmatrix} \theta_1(k) \\ \varphi_1(k) \\ \theta_2(k) \\ \varphi_2(k) \end{bmatrix} + \begin{bmatrix} V_1(k) \\ V_2(k) \\ V_3(k) \\ V_4(k) \end{bmatrix} \quad (15)$$

۳)

با توجه به فرض ثابت بودن، سرعت هدف متحرک معادله ۱۴-۳ به صورت بالا بدست آمده است و بردار W نویز فرآیند راستاهای مختلف حرکتی است و Δt فاصله نمونه برداری می‌باشد. همچنین V بردار نویز اندازگیری است.

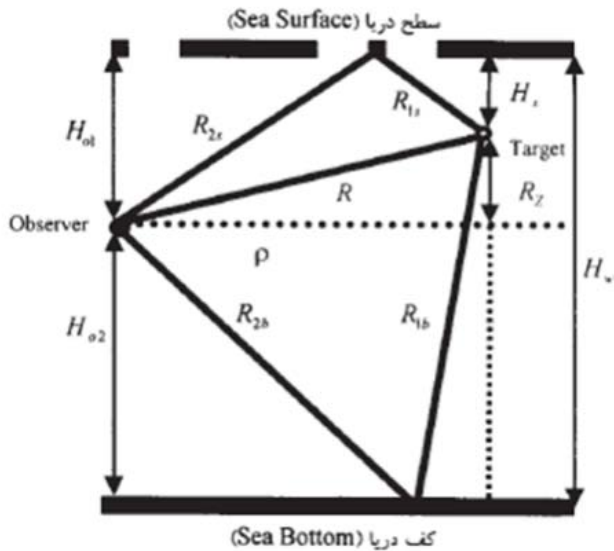
۲-۶) ردیابی هدف با استفاده از انعکاس^{۲۷}

ردیابی غیر فعال ، به تعقیب یک هدف بدون ارسال سیگنال از سوی ردیاب در محیط زیر آب اطلاق می شود . در این روش بدون ارسال سیگنالی در محیط و تنها از طریق پردازش سیگنالهای آکوستیکی دریافتی توسط حسگرهای سیستم که عمدتاً به نویز محیط آلوده می باشد ، ردیابی اهداف انجام می شود . سیستم ردیاب

²⁷ reflection

غیرفعال با توجه به عدم ارسال سیگنال در محیط ، توسط عوامل دشمن قابل کشف نخواهد بود و این مساله حائز اهمیت است . اصولاً ردیابی زیر آب برای پیش بینی مسیر هدف و جلوگیری از تداخل و اشتباه شدن اهداف با یکدیگر و در پاره ای موارد برای پیش بینی مسیر هدف و جلوگیری از تداخل و اشتباه شدن اهداف با یکدیگر و در پاره ای موارد برای پیش بینی کوتاه ترین فاصله هدف تا سیستم ردیاب و یا کوتاه ترین زمانی که هدف به کوتاه ترین فاصله می رسد ، به کار می رود . بدیهی است با توجه به سرعت کم انتشار امواج آکوستیکی زیر آب (۱۵۰۰ متر بر ثانیه) قابلیت پیشگویی و تخمین مسیر حرکت هدف و یا سایر مشخصات مربوط (از جمله سرعت و ...) حائز اهمیت می باشد .

برای مدل کردن انتشار امواج آکوستیکی در محیط زیرآب از تئوری ها و روش های مختلفی استفاده می شود از مهمترین این روش ها ، روش تئوری پرتوئی می باشد . در این روش ، امواج آکوستیکی منتشر شده در آب به شکل پرتو مدل شده و بدین ترتیب برخورد پرتو در نظر گرفته شده و سطح و کف دریا مثل آینه عمل می کند . در این روش امواج آکوستیکی مدل شده با پرتو ، با دامنه و فازهای مختلف (تاخیر های مختلف) به حسگر می رسد شکل ۱ ساختار هندسی سیگنالهای ساطع شده از هدف زیرآب از مسیرهای مستقیم و انعکاس از سطح و کف دریا را با توجه به تئوری پرتوئی نشان می دهد .



شکل ۳-۳ ساختار هندسی انعکاس کف و سطح

در شکل بالا موقعیت حسگر (observer) و هدف به ترتیب با دایره های توپر و توخالی نشان داده شده اند. عمق آب H_w ، عمق حسگر نسبت به سطح دریا، H_{o2} عمق حسگر نسبت به کف دریا، H_s عمق R_Z هدف نسبت به سطح دریا، R برد هدف (فاصله مستقیم هدف تا حسگر) و بعبارتی مسیر انعکاس مستقیم R_{1s} برد عمیق هدف (تفاوت عمق حسگر و هدف نسبت به سطح آب)، ρ برد شعاعی هدف، R_{1b} و R_{2s} مسیر پرتو انعکاس از کف دریا و R_{2b} مسیر پرتو انعکاس از سطح دریا می باشد.

همچنین شکل پایین موقعیت هدف و حسگر را از مختصات قطبی به مختصات دکارتی تبدیل می کند. که برد کلی هدف R برد شعاعی هدف ρ ، برد عمقی هدف R_Z ، برد در راستای محور X R_X و برد راستای محور Y R_Y را در صفحه مختصات دکارتی رسم شده است.

روابطی که از موقعیت هندسی هدف و حسگر به دست می آید به صورت زیر است

$$R_x = \rho \cos\theta \quad (16-3)$$

$$R_y = \rho \sin\theta \quad (17-3)$$

$$\rho^2 = R^2 - R_z^2 \quad (18-3)$$

$$R = \sqrt{R_x^2 + R_y^2 + R_z^2} \quad (19-3)$$

$$\tau_1(k) = \frac{\sqrt{(R^2 + 4H_{01}^2 - 4R_z H_{01})} - R}{C} \quad (20-3)$$

$$\tau_2(k) = \frac{\sqrt{(R^2 + 4H_{02}^2 + 4R_z H_{02})} - R}{C} \quad (21-3)$$

$$\theta(k) = \tan^{-1} \frac{R_x(k)}{R_y(k)} \quad (22-3)$$

برای تعیین مدل فضای حالت سیستم ردیابی بردار حالت، شامل برد و سرعت هدف متحرک در راستاهای مختلف مختصات دکارتی می باشد و بردار اندازه‌گیری اختلاف زمانی رسیدن سیگنال از مسیر مستقیم مسیر انعکاس سطح و مسیر انعکاس کف آب می باشد. به صورت زیر در نظر گرفته شده است.

$$X_k = (X_k \ y_k \ \dot{X}_k \ \dot{y}_k)^T \quad (23-3)$$

$$X_k = \begin{pmatrix} 1 & 0 & T & 0 \\ 0 & 1 & 0 & T \\ 0 & 0 & 1 & 0 \\ 0 & 0 & 0 & 1 \end{pmatrix} \begin{pmatrix} X_{k-1} \\ y_{k-1} \\ \dot{X}_{k-1} \\ \dot{y}_{k-1} \end{pmatrix} + q_{k-1} \quad (24-3)$$

بردار اندازه‌گیری در این سیستم برابر تاخیر های زمانی دریافت سیگنالهای آکوستیکی از انعکاس سطح و کف دریا نسبت به مسیر مستقیم بصورت زیر می باشد:

$$Z(k) = G(k) + V(k) = \begin{bmatrix} \tau_1(k) \\ \tau_2(k) \end{bmatrix} + \begin{bmatrix} v_1(k) \\ v_2(k) \end{bmatrix} \quad (25-3)$$

در این فصل به بررسی مدل ردیابی هدف با استفاده از زاویه پرداختیم که اولین گام ایجاد یک مدل است که بیان کننده رابطه بیان حالات هدف و اندازه‌گیری حسگرها باشد. ساختار هندسی سیستم ردیاب غیر فعال شامل حسگرهای تعییه شده ثابت در عمق مورد نظر و یک هدف متحرك ساطع کننده سیگنالهای آکوستیکی است. برای مدل کردن امواج آکوستیکی از روش نظریه پرتو استفاده شده است.

فصل چهارم

ترکیب اطلاعات و جایابی حسگرها

۴-۱) ترکیب اطلاعات

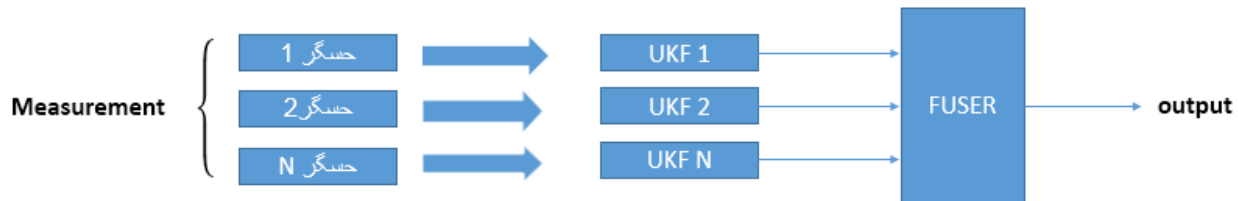
رشد و توسعه سیستم های اطلاعات چند منبعی مقرن به صرفه ، برای اختصاص دادن پردازش ترکیب داده ها به روش استانداردی نیاز دارد. در سال های اخیر استفاده از تکنیک های ترکیب داده در کاربردهای نظامی و غیرنظامی مورد توجه زیادی قرار گرفته است. ترکیب داده های مختلف و یا سنسورهای متعدد باعث می شود تا مزایای کیفی و کمی را توامان داشته باشیم و پایداری عملکرد فرایند افزایش یابد. به عنوان مثال می توان از چندین سنسور معمولی و ارزان به جای یک سنسور پیچیده استفاده کرد که این خود باعث کاهش هزینه ها نیز می شود.

ترکیب اطلاعات ، فرایندی است که با پیوستگی، همبستگی و ترکیب اطلاعات از منابع متعدد سر و کار دارد تا به یک وضعیت بهتر ، تخمین های یکسان ، تشخیص کامل و فوری وضعیت های بحرانی و تعیین شرایط خطر بررسیم. ترکیب اطلاعات سنسورهای مختلف نیز کار جمع آوری و استخراج اطلاعات مطلوب و مفیدی که از دو یا تعداد بیشتری حسگر بدست می آیند را به عهده دارد و باعث افزایش اطمینان، پوشش فضایی - زمانی ، کاهش ابهامات و بهبود آشکارسازی در فرآیندهای مرتبط می شود.

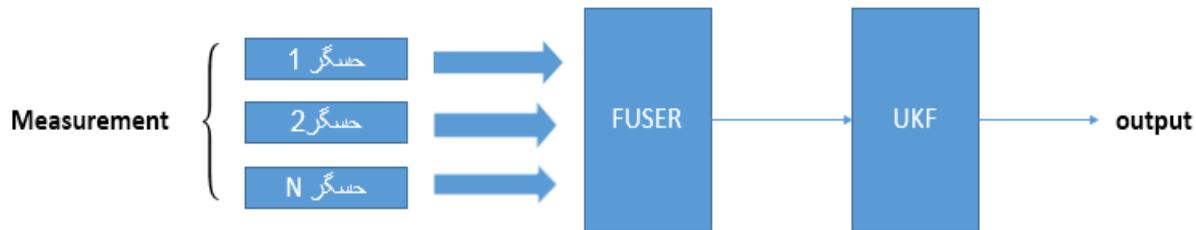
روش های مختلفی برای ترکیب داده وجود دارد که بر حسب مشخصات ورودی و خروجی فرآیند متفاوت است ، از جمله این روش ها می توان به فنون صافی کالمن، شبکه عصبی ، منطق فازی ، الگوریتم ژنتیک ، تخمین گر بیزین و روش های پردازش سیگنال اشاره کرد. یکی از مهمترین و کاربردی ترین این روش ها استفاده از فیلتر کالمن است که در واقع مجموعه ای از معادلات ریاضی برای تهیه تخمین موثر حالت یک فرایند می باشد.

۴-۲) ترکیب داده های چندین سنسور بر مبنای صافی کالمن

ترکیب اطلاعات سنسورها ، با جمع کردن و استخراج داده های بدست آمده از چندین سنسور سروکار دارند. در این فرایند ، داده های سنسورهای مختلف ، باید با هم ترکیب شوند تا به اطلاعات دقیق تری و کامل تری بررسیم در میان تکنیک های مختلف برای این امر، الگوریتم صافی کالمن یکی از مهمترین آن هاست . صافی کالمن یک الگوریتم بسیار موثر را تهییه می کند و برای فرایندهای بلاذرنگ مناسب است. ترکیب بردار حالت (state-vector) و اندازه گیری (Measurement) دو روش داده براساس صافی کالمن است.



شکل ۴-۱) ترکیب بردار حالت



شکل ۴-۲- ترکیب مقادیر اندازه گیری

همانطور که در شکل های ۱-۴ و ۲-۴ آمده ، روش ترکیب بردار حالت از چندین فیلتر کالمن استفاده می کند. در این روش تخمین حالت را برای هر سنسور بصورت جداگانه بدست آورده و در نهایت عمل ترکیب انجام می - شود. ولی در روش ترکیب اندازه گیری مستقیماً مقادیر حسگرهای ترکیب کرده و در نهایت از یک فیلتر کالمن عبور داده می شود. هر دو روش محاسبن و معایبی دارند. ترکیب بردار حالت ، دارای هزینه کمتری وتلوانی خطای بهتری را دارا می باشد. روش اندازه گیری در بعضی از موارد نظیر ابعاد متفاوت در ماتریس های اندازه گیری غیرقابل اجراست.

۴-۳) روش ترکیب اطلاعات با استفاده از کواریانس

در این روش با استفاده از ترکیب ردیابی ، ردیابی محلی با استفاده از اطلاعات بدست آمده از سنسورها تخمین حالت از رابطه زیر بدست می آید.[32]

$$\hat{X}(k+1|k+1) = \sum_{i=1}^N x^i(k+1|k+1) \quad (1-4)$$

که در این رابطه $\hat{X}(k+1|k+1)$ تخمین حالت ترکیب شده می باشد که وزن سنسور α با β به صورت زیر بدست می آید

$$\mu_t = \frac{\sum_{i=1}^N P_R^i(k+1/k+1) - P_R^I(k+1/k+1)}{(N-1) \times \sum_{i=1}^N P_R^i(k+1/k+1)} \quad (2-4)$$

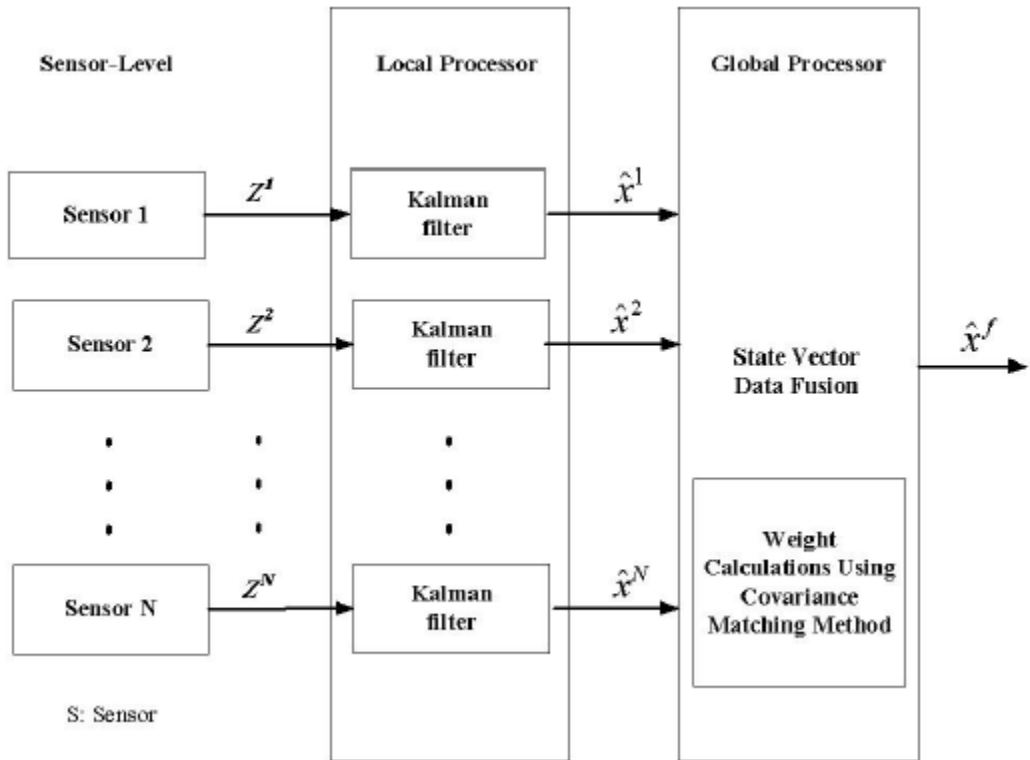
در این رابطه $P_r^i(k+1|k+1)$ ماتریس کواریانس حسگر آم می باشد

۴-۴) ترکیب اطلاعات با ۴ حسگر

برای شبیه سازی هدف با ۴ حسگر به وسیله صافی کالمن ۲ حالت را در نظر می گیریم

۴-۴-۱) روش اول: ترکیب حالت

در این روش چهار سنسور به صورت جداگانه، اطلاعات را به چهار فیلتر کالمن می دهند سپس با استفاده از روش ترکیب کواریانس ضرایب α هر حسگر را با استفاده از رابطه (۲-۴) بدست می آوریم و تخمین حالت نهایی با استفاده از رابطه (۴-۱) بدست خواهد آمد.



شکل ۴-۳ ترکیب اطلاعات با صافی کالمن

در این روش کواریانس نویز حسگرها به دلیل وجود نویز با همدیگر تفاوت دارند که این مسئله به ساختار هر حسگر مربوط می‌شود و ما در عمل نمی‌توانیم حسگرهایی با مشخصات کاملاً یکسان داشته باشیم

۴-۴-۲) روش دوم: ترکیب حالت - اندازه گیری

در این روش پیشنهادی ترکیب دو حسگر را با هم در نظر گرفته والگوریتم را به این صورت ارائه می‌کنیم حسگر ۱ و ۲ دارای ترکیب اندازه گیری y_{12} و y_{13} و y_{14} دارای ترکیب اندازه گیری y_{23} و y_{24} می‌باشد و به همین صورت دیگر حسگرها را در نظر می‌گیریم و در نهایت اندازه گیری‌های ما به صورت ($y_{12}, y_{13}, y_{14}, y_{23}, y_{24}$) خواهد بود. در اینجا هر کدام از این بردارها به یک صافی کالمن وارد می‌شود و با استفاده از روش

ترکیب بردار حالت قسمت قبل به هر کدام از جفت حسگر ضربی می دهیم و با رابطه ۱ ترکیب حالت کلی را بدست می آوریم.

یکی از مشکلات عمدۀ در زیر دریایی بحث موج دار بودن آب و ثابت نبودن حسگرها می باشد برای حل این مشکل از الگوریتم پیشنهادی ترکیب اطلاعات حسگرها می توان استفاده کرد. به دلیل اینکه نویز حسگرها متفاوت می باشد با ترکیب اطلاعات هر جفت حسگر می توان خطای اندازه‌گیری حالت قبل را کمتر کرد. که این موضوع باعث می شود تخمین بهتری داشته باشیم.

۴-۵) در نظر گرفتن نویز در حسگرها

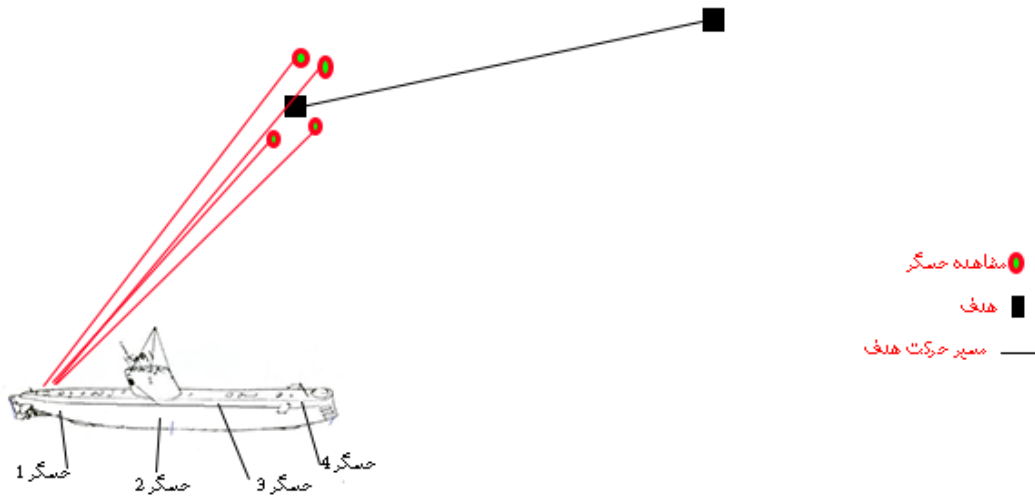
ماهیت هر مدل توسط معادلات حالت و مشاهدات بیان می شود. مدل سیستم و همچنین معادله اندازه‌گیری را بصورت زیر در نظر می گیریم

$$X(k) = F X(k-1) + W(k) \quad (3-4)$$

$$Z(k) = \text{Arctan}\left(\frac{x_1(k)}{x_2(k)}\right) + V(k) \quad (4-4)$$

که $V(k)$ و $W(k)$ فرآیندهای تصادفی دارای توزیع مستقل یکسان گوسی با میانگین صفر که به ترتیب با ماتریس کواریانس $Q(k)$ و $R(k)$ بوده و نویز فرآیند و نویز اندازه‌گیری را مدل می کنند.

در اینجا ما چهار حسگر داریم که هر کدام از این حسگرها دارای اندازه‌گیری متفاوتی می باشد (با توجه به فاصله حسگرها از هم زوایای بدست آمده تغییرمی کند) نحوه اندازه‌گیری برای یک حسگر را شرح می دهیم که این قضیه برای حسگرهای دیگر هم صدق می کند برای بدست آوردن شرایط اولیه تخمین مناسب، ابتدا حسگر شماره یک، ده اندازه‌گیری انجام می دهد. در شکل زیر می بینید این مقدار دارای خطای خطا می باشد.



شکل ۴-۴ ردیابی هدف با زیردریایی به وسیله چهار حسگر

برای پیدا کردن تخمین اولیه ما ابتدا ده مشاهده از حسگر را ثبت می کنیم و با گرفتن میانگین آن مقدار اولیه نزدیک هدف مشخص می شود. حسگر دارای نویز اندازه گیری می باشد و در هر اندازه گیری دارای خطای در مقدار زاویه دریافتی می شود.

$$Z_0(k) = \frac{1}{N} \sum_{i=1}^N Z_i(k) \quad N=10 \quad (5-4)$$

اندازه گیری اولیه برای هر حسگر انجام می شود و زاویه اولیه تخمین هر کدام از حسگرها بدست می آید سپس با استفاده از این زاویه مقدار اولیه تخمین بدست می آید. مقدار نویز اندازه گیری برای هر کدام از حسگرها جداگانه به صورت زیر در نظر گرفته شده است.

و ماتریس R که توسط آن بردار نویز اندازگیری ایجاد می‌شود به صورت زیر درنظر می‌گیریم.

$$R = \begin{bmatrix} 0.3 & 0 & 0 & 0 \\ 0 & 0.3 & 0 & 0 \\ 0 & 0 & 0.3 & 0 \\ 0 & 0 & 0 & 0.3 \end{bmatrix} \quad (6-4)$$

در نهایت هر کدام از حسگرها با ده اندازه گیری و گرفتن میانگین اندازه گیری‌ها مقدار اولیه تخمین را تعیین می‌کنند و در ادامه هر حسگر مشاهدات خود را به یک صافی کالمن بی‌رد خواهد داد و با استفاده از تبدیل بی-رد نقاط سیگما ساخته می‌شوند و با استفاده از ساختار صافی کالمن بی‌رد تخمین موقعیت هدف برای هر حسگر بدست می‌آید و با استفاده از روشی که در قسمت قبل شرح داده شد، اطلاعات چهار حسگر با هم ترکیب می‌شوند و تخمین مکان نهایی هدف بدست می‌آید.

۶-۴) جایابی حسگرها

زمانی که به ردیابی یک هدف با استفاده از چند حسگر با اندازه‌گیری‌های آنسته به نویز می‌پردازیم، جایابی حسگرها می‌تواند تاثیر زیادی در دقت تخمین ما داشته باشد.

در اینجا جایابی سنسورها بر اساس ماتریس اطلاعات فیشر خواهد بود. که شرایط لازم و کافی برای جایابی بهینه حسگرها پیشنهاد خواهد شد. تئوری ارائه شده براساس نظریه فریم می‌باشد.[34]

در اینجا ما با یک هدف و چند حسگر زاویه کار خواهیم کرد، که محدوده اندازه گیری حسگر محدود می‌باشد. حسگرها یکسان ولی دارای نویز اندازه‌گیری متفاوت می‌باشند. موقعیت هدف را P و موقعیت حسگر را s_i در نظر می‌گیریم. هدف اصلی در اینجا بدست آوردن مکان حسگرها برای کمینه کردن مقدار عدم قطعیت ردیابی هدف می‌باشد.

۷-۴) مدل اندازه‌گیری فقط زاویه

مدل اندازه‌گیری فقط زاویه برای ۱ حسگر با نویز را به صورت زیر در نظر بگیرید

$$\hat{m}_i(s_i, P) = m_i(s_i, P) + w_i \quad (7-4)$$

s_i مکان حسگر ۱، P مکان هدف و w_i نویز اندازه‌گیری می‌باشد.

$$m_i(s_i, P) = \frac{s_i - P}{\|s_i - p\|} \quad (8-4)$$

خطای اندازه‌گیری w_i با توزیع گوسی میانگین صفر در نظر گرفته می‌شود

۴-۸) ماتریس اطلاعات فیشر

ماتریس اطلاعات فیشر ، مشخصات موقعیت هدف برا اساس اندازه گیری را می تواند توصیف کند. با فرض اینکه نویز حسگرها ناهمبسته باشد FIM^{28} را به صورت زیر تعریف می کنیم [36]

$$\mathsf{F} = \sum_{i=1}^N (\nabla_p m_i)^T \Sigma_i^{-1} \nabla_p m_i \quad (9-4)$$

$\nabla_p m_i$ مقدار جاکوبین $m_i(s_i, P)$ می باشد که مقدار آن به صورت زیر تعریف می گردد.

$$\nabla_p m_i = \frac{1}{\|r_i\|} (I - m_i m_i^T) \quad (10-4)$$

در رابطه (8) $r_i = s_i - P$ می باشد که می توان FIM را به صورت زیر نوشت

$$\mathsf{F} = \sum_{i=1}^N c_i^2 (I - m_i m_i^T) \quad (11-4)$$

$$c_i^2 = \frac{1}{\sigma_i \|r_i\|} > 0 \quad (12-4)$$

²⁸ Fisher Information Matrix

برای کمینه کردن خطای تخمین ردیابی، یک سنجش بهینه گسترده بیشینه کردن دترمینان F یا همان کمینه کردن باند پایین کرامر- را می‌باشد. برای این منظور مقدار ویژه ماتریس F را $\{\lambda_j\}_{j=1}^d$ در نظر می‌گیریم از آنجایی که $\{c_i\}_{i=1}^N$ ثابت است

$$\det F = \prod_{j=1}^d \lambda_j \leq \bar{\lambda}^d \quad (13-4)$$

$$\bar{\lambda} = \frac{1}{d} \sum_{j=1}^d \lambda_j \quad (14-4)$$

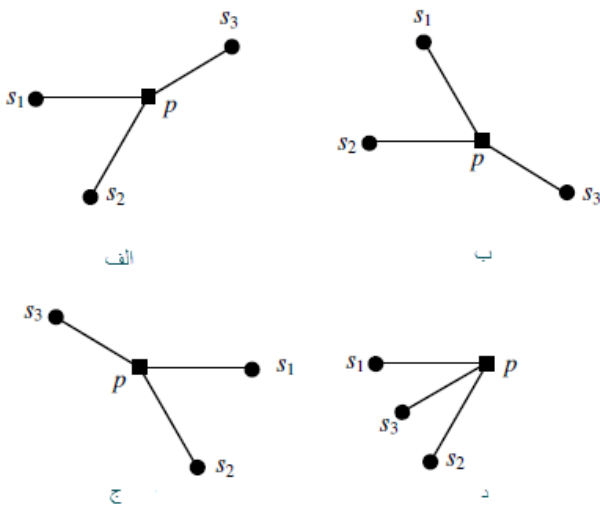
که $\det F$ زمانی بیشینه می‌شود که $\lambda_j = \bar{\lambda}$ باشد

در نهایت جایابی بهینه به صورت زیر بدست خواهد آمد

$$\{m_i^*\}_{i=1}^N = \arg \min \|F - \bar{\lambda}\|^2 \quad (15-4)$$

ماتریس F زمانی نکین می‌شود که تمامی حسگرها و همچنین هدف در یک خط راست قرار بگیرند که در این صورت عدم قطعیت بینهایت می‌شود. این مدل بدترین جایابی می‌باشد.

چرخش هر کدام از حسگرها حول هدف باعث تغییر ماتریس F نخواهد شد که در این صورت می‌توان شکل های زیر را هم یکدیگر گرفت.[37]

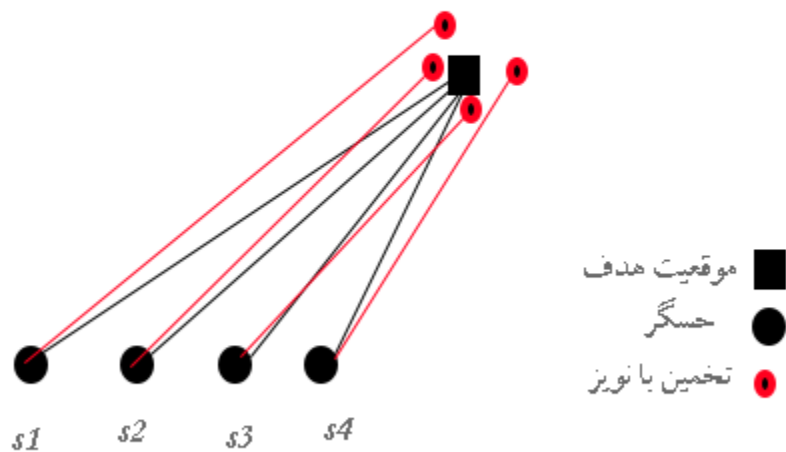


شکل ۵-۴ مثالی از هم ارزی جایابی (الف) جایابی اصلی ب) چرخش کل حسگرها به اندازه 60° درجه حول هدف در جهت عقربه های ساعت (ج) منعکس کردن کل حسگرها حول محور عمودی (د) چرخش حسگر S3 حول هدف

در ادامه توپولوژی‌های مختلف با استفاده از چهار سنسور را مقایسه می کنیم

۹-۴) توپولوژی خطی حسگرها

در این توپولوژی تمامی حسگرها در یک خط راست می‌باشند. در شکل زیر موقعیت حسگرها را می‌بینید.



شکل ۴-۶ جایابی خطی حسگرها

برای بررسی این توپولوژی با توجه به قسمت ترکیب اطلاعات از سه مدل ترکیب استفاده خواهیم کرد و مقایسه می‌کنیم.

حالت اول

در این روش چهار سنسور به صورت جداگانه، اطلاعات را به چهار فیلتر کالمن می‌دهند سپس با استفاده از روش ترکیب کواریانس ضرایب γ هر حسگر را با استفاده از رابطه (۴-۲) بدست می‌آوریم و تخمین حالت نهایی با استفاده از رابطه (۴-۱) بدست خواهد آمد.

حالت دوم

با توجه به توضیحاتی که در بخش ۴-۲ دادیم در این روش هر جفت حسگر با هم گرفته می‌شود. و از ترکیب جفت‌ها با هم ترکیب نهایی بدست می‌آید.

حالت سوم

در این روش هر سه حسگر را با هم در نظر می‌گیریم و دارای اندازه‌گیری‌های y_{123} , y_{124} و y_{234} می‌باشیم. ترکیب اطلاعات سه حسگر را با استفاده از روش ترکیب اطلاعات کواریانس بدست آورده و در مرحله بعد یک بار دیگر اندازه‌گیری‌های بدست امده را با هم ترکیب می‌کنیم این روش دارای پیچیدگی محاسباتی می‌باشد و زمان اجرای آن از دو حالت قبل بیشتر است چون تخمین هدف باید از دو صافی کالمن بگذرد.

۱۰-۴) شبیه سازی جایابی خطی

در این حالت مکان حسگرها را به صورت زیر در نظر می گیریم

$$\begin{aligned} S1 &= [-500; -160]; \\ S2 &= [-550; -160]; \\ S3 &= [-600; -160]; \\ S4 &= [-650; -160]; \end{aligned}$$

به منظور شبیه سازی مسیر حرکت هدف ابتدا باید مسیری دلخواه برای حرکت هدف مشخص شود که در اینجا هدف از مختصات [80, -90] با سرعت ۱۰ متر بر ثانیه در راستای محور X و ۵,۰ متر بر ثانیه در راستای محور Y حرکت می کند.

در معادله مشاهدات، نویز مربوط به زاویه های دریافتی توسط حسگرها با توجه به شدت سیگنال به نویز انتخاب می شود که با وجود توان سیگنال مشاهدات بدون نویزی و نویز اضافه شده بر حسب دسی بل بیان می شود.

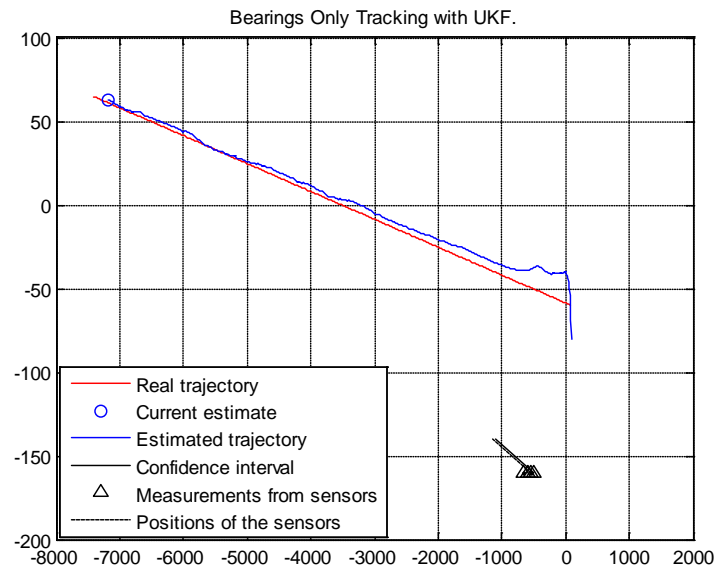
$$(db)L_{db} = 10 \log \frac{P_{signal}}{P_{noise}} \quad (16-4)$$

شدت سیگنال به نویز در نظر گرفته شده برای بردار مشاهدات ۳۶ دسی بل می باشد.

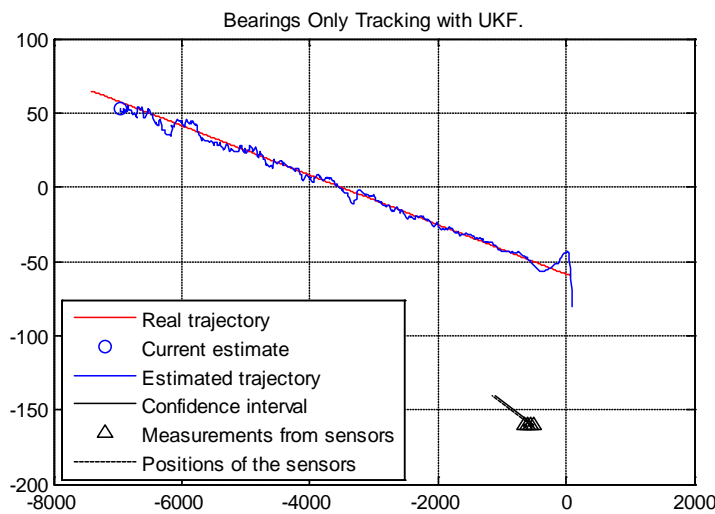
به منظور ارزیابی عملکرد صافی در فرایند تخمین، از معیار میانگین مربعات خطا (RMSE) استفاده می کنیم که می تواند برای ارزیابی دقیق تخمین در هر دو محور مختصات به کار گرفته شود. رابطه معیار مجدد میانگین مربعات خطا را برای بد تخمینی در فاصله زمانی T نشان می دهد.

$$RMSE = \sqrt{\frac{1}{T} \sum_{t=1}^T ((\hat{x}_t - x_t)^2 + (\hat{y}_t - y_t)^2} \quad (17-4)$$

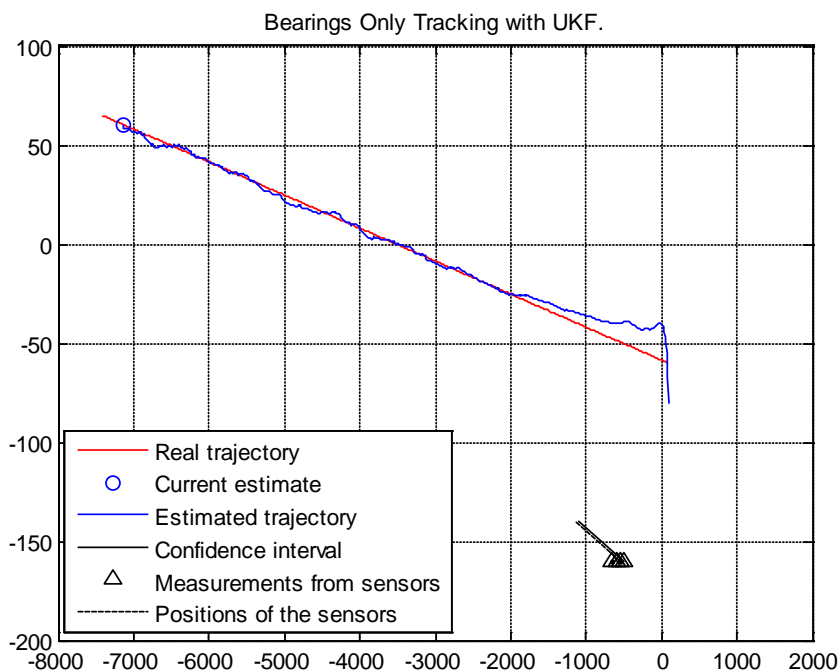
شبیه سازی



شکل ۷-۴ ردیابی هدف با چهار حسگر خطی – حالت اول



شکل ۸-۴ ردیابی هدف با چهار حسگر خطی - حالت دوم



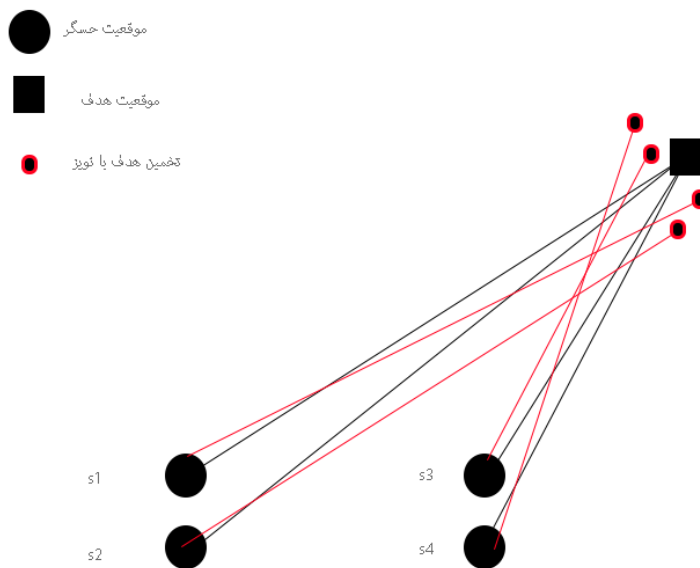
شکل ۹-۴ ردیابی هدف با چهار حسگر خطی - حالت سوم

Method	RMSE – x1		RMSE – x3	RMSE – x4
حالت اول	7.31	1.87	1.12	1.65
حالت دوم	6.97	1.74	1.08	1.54
حالت سوم	6.86	1.65	1.09	1.41

جدول ۱-۴ مقایسه RMSE متغیرهای حالت در جایابی خطی

۱۱-۴) توپولوژی جایابی مربعی

موقعیت حسگرها به صورت زیر می‌باشد

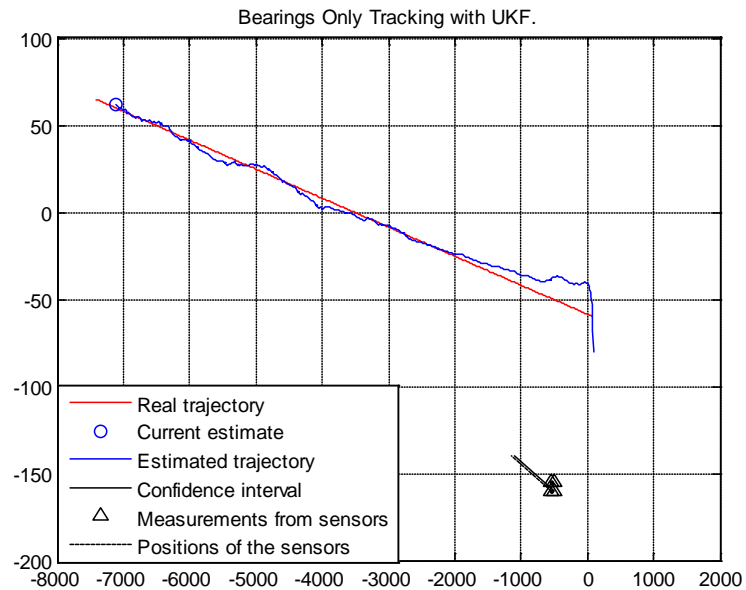


شکل ۱۰-۴ جایابی مربعی با چهار حسگر

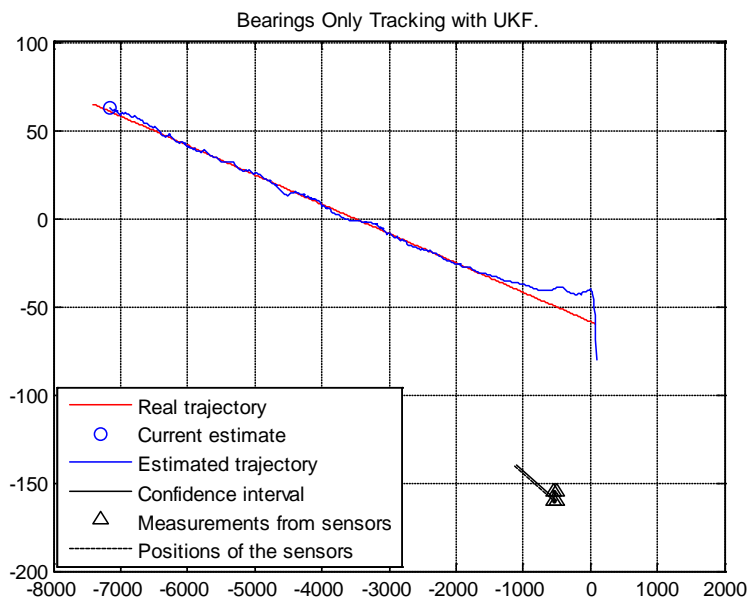
در این توپولوژی حسگرها به صورت مربعی در نظر گرفته شده اند. تفاوت این جایابی با توپولوژی خطی، در مشاهده پذیری بهتر نسبت به هدف می‌باشد

در این حالت مکان حسگرها را به صورت زیر در نظر میگیریم

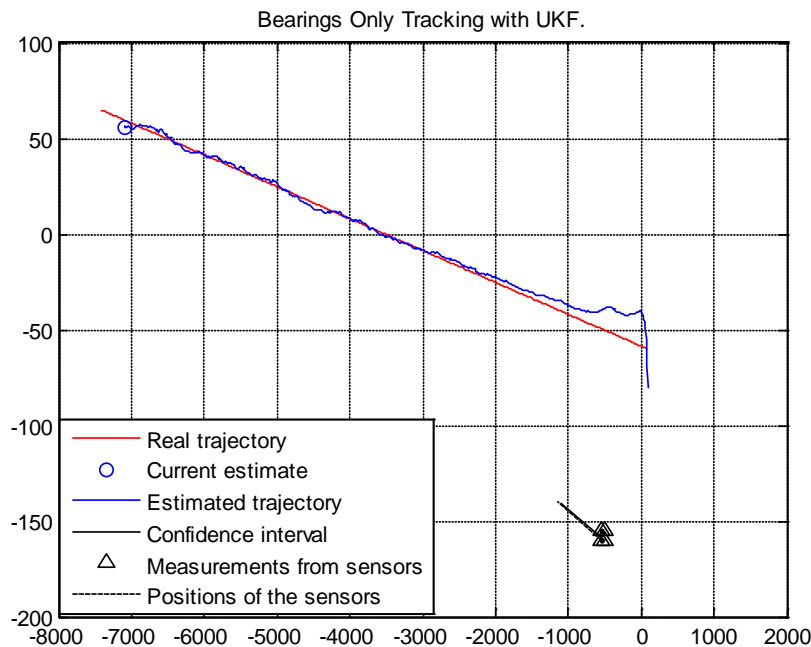
$$\begin{aligned} S1 &= [-500; -160] \\ S2 &= [-550; -160] \\ S3 &= [-500; -155] \\ S4 &= [-550; -155] \end{aligned}$$



شکل ۱۱-۴ ردیابی هدف با چهار حسگر مربعی - حالت اول



شکل ۱۲-۴ ردیابی هدف با چهار حسگر مربعی - حالت دوم



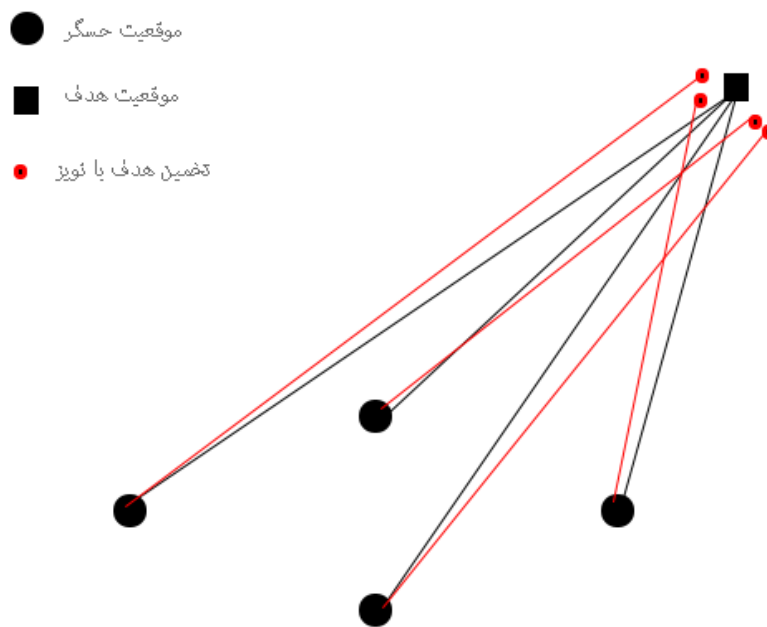
شکل ۱۳-۴ ردیابی هدف با چهار حسگر مربعی - حالت سوم

Method	RMSE – x1		RMSE – x3	RMSE – x4
حالت اول	7.14	1.35	0.98	1.14
حالت دوم	6.14	1.09	0.75	1.21
حالت سوم	6.08	1.01	0.69	1.17

جدول ۲-۴ مقایسه RMSE متغیرهای حالت در جایابی مربعی

۱۴-۴) توپولوژی جایابی بیضی

موقعیت حسگرها به صورت زیر می‌باشد

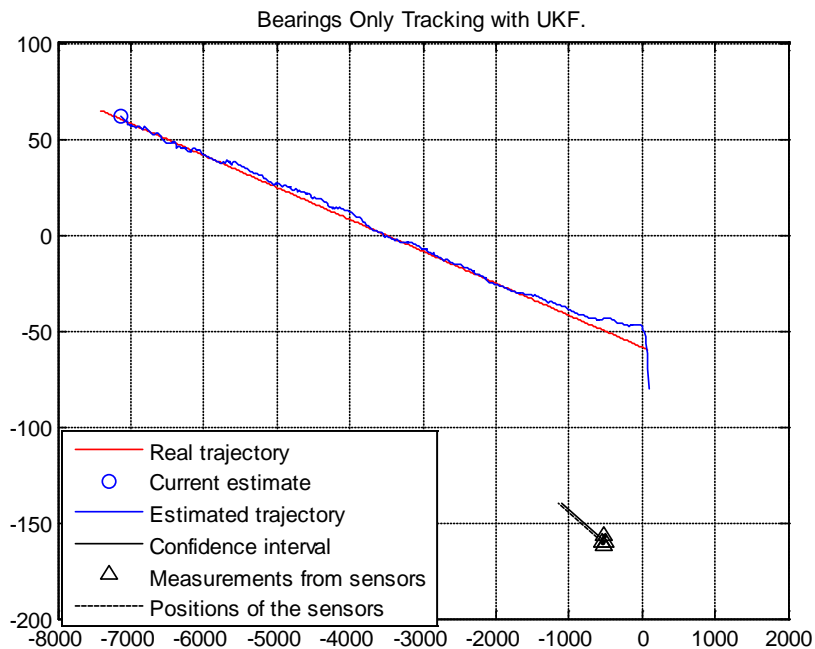


شکل ۱۴-۴ ردیابی بیضوی با چهار حسگر

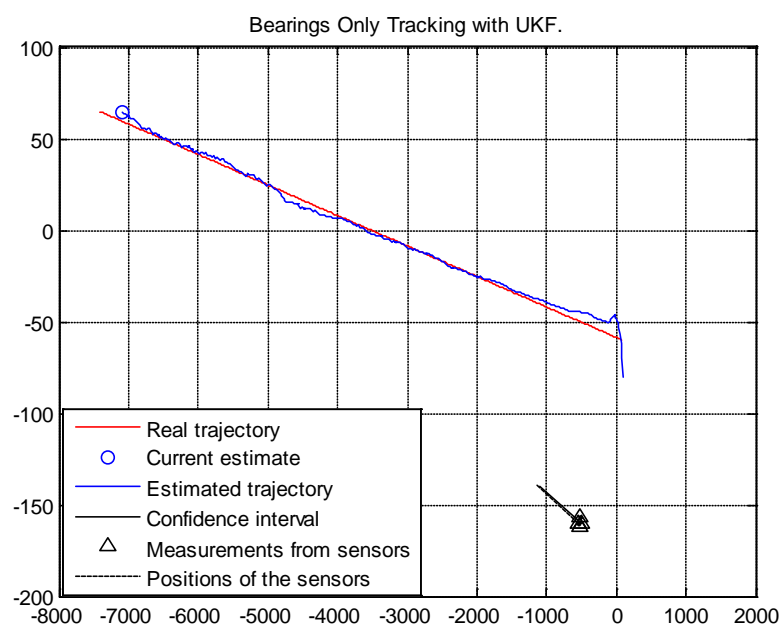
در این توپولوژی حسگرها به صورت متقاضن بر روی یک بیضی قرار می‌گیرند در اینجا ما از چهار حسگر استفاده کرده ایم که این چهار حسگر به صورت بالا قرار می‌گیرند. این توپولوژی یک توپولوژی مناسب برای سیستم های زیرآبی می‌باشد.

در این حالت مکان حسگرها را به صورت زیر در نظر می‌گیریم

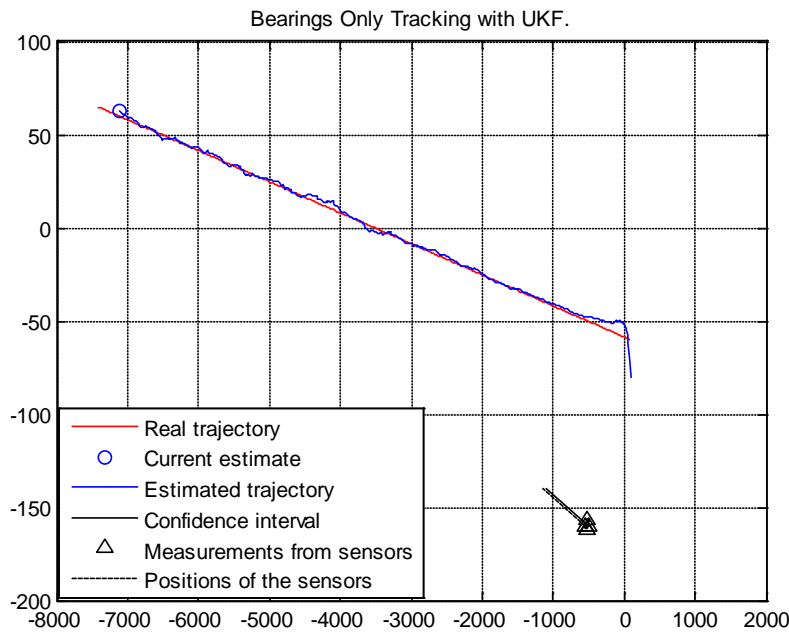
$$\begin{aligned}S1 &= [-500; -160] \\S2 &= [-550; -160] \\S3 &= [-500; -155] \\S4 &= [-550; -155]\end{aligned}$$



شکل ۱۵-۴ ردیابی هدف با چهار حسگر توسط توپولوژی جایابی بیضی - حالت اول



شکل ۱۶-۴ ردیابی هدف با چهار حسگر توسط توپولوژی جایابی بیضی - حالت دوم



۴-۱۷- ردیابی هدف با چهار حسگر توسط توپولوژی جایابی بیضی - حالت سوم

Method	RMSE – x1		RMSE – x3	RMSE – x4
حالت اول	6.67	0.98	0.75	1.38
حالت دوم	5.76	0.85	0.63	1.12
حالت سوم	5.64	0.79	0.57	0.97

جدول ۳-۴ مقایسه RMSE متغیرهای حالت در جایابی بیضوی

با توجه به توپولوژی های پیشنهاد شده و مقایسه آن ها توپولوژی بیضوی مناسب تر از دیگر توپولوژی ها می باشد. از رابطه (۴-۱۵) می توان نتیجه گرفت هرچقدر فاصله حسگرها زیادتر باشد پوشش بهتری برای ردیابی داریم در توپولوژی خطی احتمال این است که هدف در راستای خط حسگرها قرار گیرد که در این صورت بدترین حالت ردیابی چهار حسگر خواهد بود اما در دو توپولوژی دیگر این نقص برطرف شده و توپولوژی بیضوی با توجه به پوشش کافی و فاصله مناسب حسگرها از یکدیگر الگوریتمی بهینه می باشد. البته این موضوع را باید در نظر گرفت چون فضای حسگرها در کار ما محدود می باشد و زیردریایی دارای ابعادی مشخص است ، نمی توان از حسگرها در اطراف هدف استفاده کرد. با مقایسه روش های ترکیب حالت پیشنهادی به این نتیجه می رسیم ترکیب حالت سوم با آن که خطای تخمین را کاهش می دهد اما با در نظر گرفتن زمان تخمین ترکیب حالت دوم مناسب تر می باشد.

۴-۱۳) شبیه سازی سیستم ردیاب تک هدف زیر آب، با چهار حسگر:

در این قسمت به شبیه سازی ردیابی غیر فعال هدف می پردازیم. از سه نوع صافی کالمن جهت برآورد موقعیت و سرعت هدف در مختصات دکارتی استفاده شده است.

سرعت حسگرها برابر صفر در نظر گرفته شده است که این به معنای ثابت بودن حسگرها می باشد. موقعیت اولیه‌ای که هدف شروع به حرکت می کند به صورت زیر در نظر گرفته شده است.

$$X_0 = [0, -5, -98, -4, 0.3, 0.1] \quad (18-4)$$

$$\hat{X}_0 = [5, 0, -90, -5, 0.4, 0.2] \quad (19-4)$$

$$P_0 = \text{diag} [50, 15, 15, 5, 0.4, 0.4] ; \quad Q_0 = 0.0002 I_6 \quad (20-4)$$

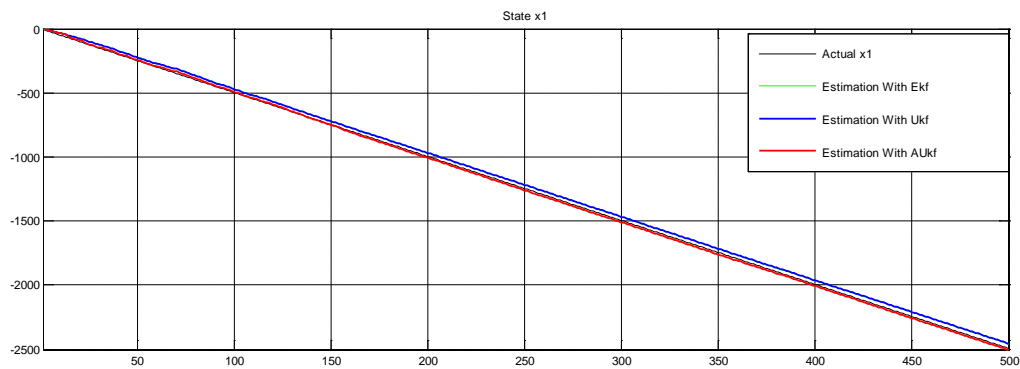
$$R_0 = \begin{bmatrix} 3 & 0 & 0 & 0 \\ 0 & 0.4 & 0 & 0 \\ 0 & 0 & 3 & 0 \\ 0 & 0 & 0 & 0.4 \end{bmatrix} \quad (21-4)$$

به عبارتی هدف متحرک ساطع کننده سیگنال‌های آکوستیکی از موقعیت $z=0$ ، $x=-5$ و $y=-98$ با سرعتی ثابت شروع به حرکت کرده و دارای سرعتی معادل با 4 km/s در راستای محور x ، سرعتی معادل با 0 km/s در راستای محور y و سرعتی معادل با 1 km/s در راستای محور z در حال حرکت می باشد.

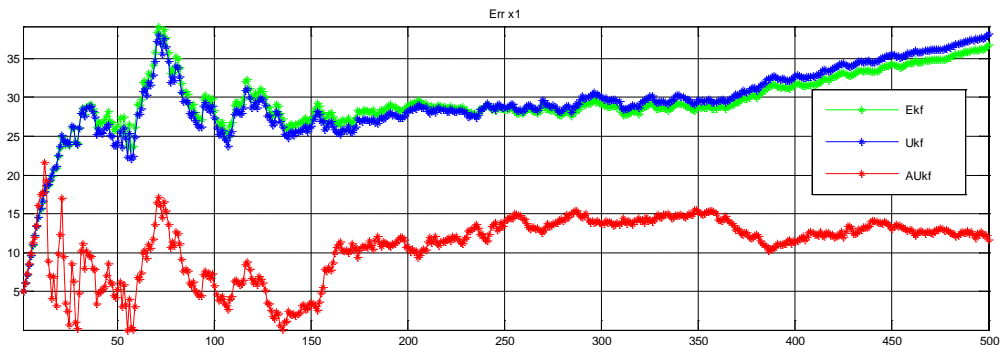
ومقدار ماتریس Q که توسط آن بردار نویز فرآیند ایجاد می شود را ثابت و برابر $Q_0 = 0.0001 I_6$ در نظر می گیریم و ماتریس R که توسط آن بردار نویز اندازگیری ایجاد می شود به صورت زیر درنظر می گیریم.

$$R = \begin{bmatrix} 0.3 & 0 & 0 & 0 \\ 0 & 0.03 & 0 & 0 \\ 0 & 0 & 0.3 & 0 \\ 0 & 0 & 0 & 0.03 \end{bmatrix} \quad (22-4)$$

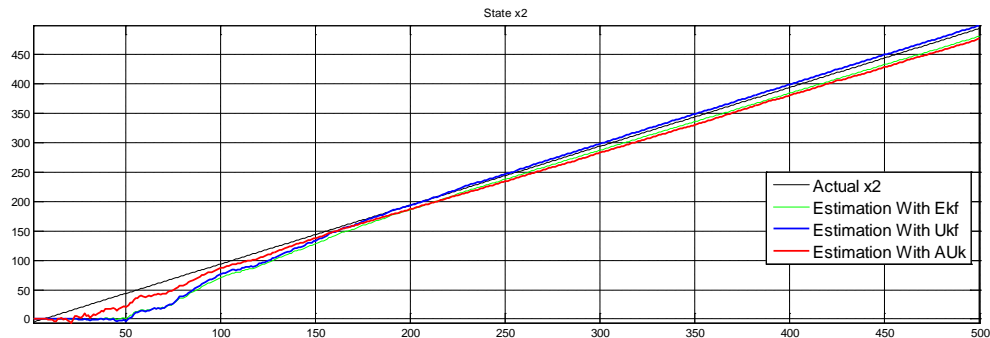
تخمین حالت و مقدار جذر میانگین مربعات خطای (RMSE) حالات تخمین زده شده توسط صافی Ekf , Ukf و Aukf را در شکل‌های زیر مشاهده می‌کنید.



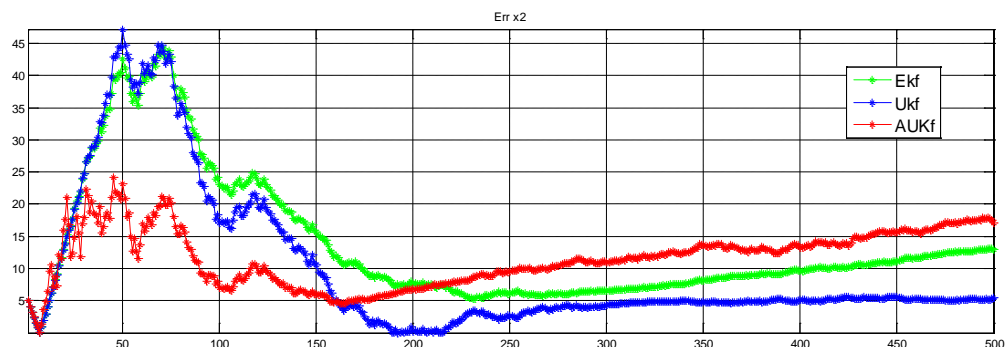
شکل ۴-۱۱- مقدار تخمین X_1



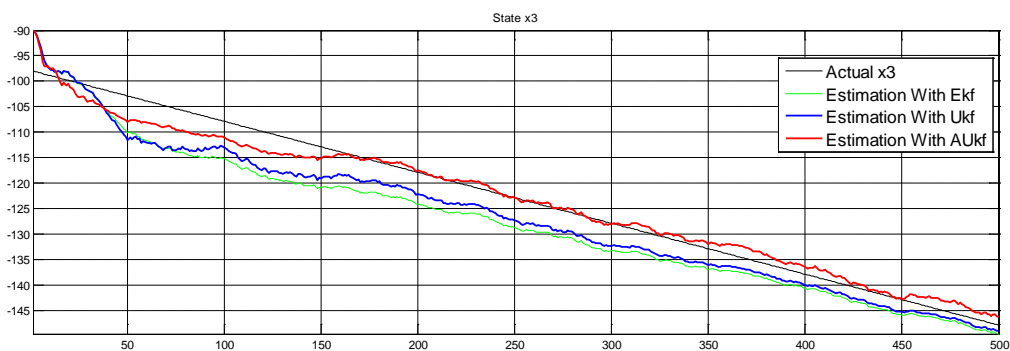
شکل ۴-۱۲- جذر میانگین مربعات خطای حالت X_1



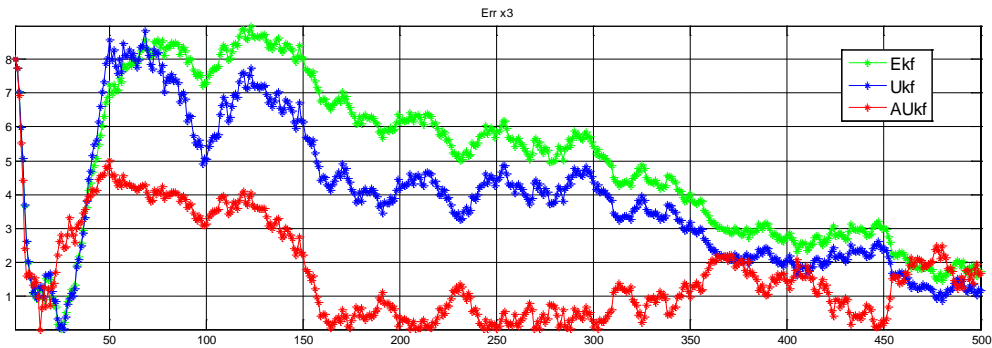
شکل ۴ ۲۰- مقدار تخمین X_2



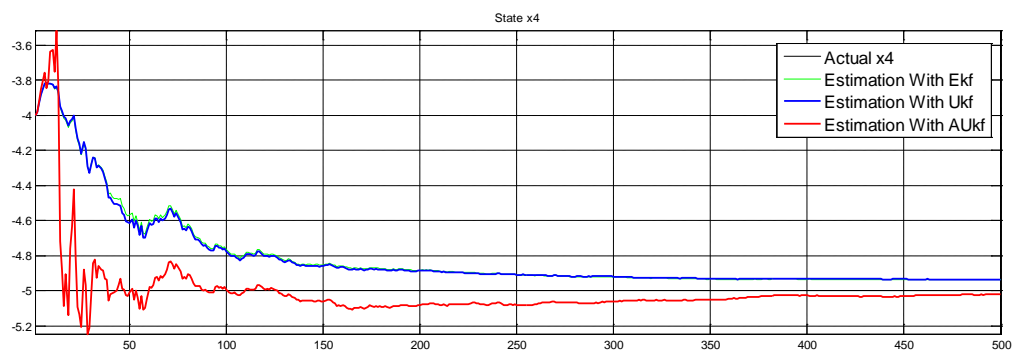
شکل ۴ ۲۱- جذر میانگین مربعات خطای حالت X_2



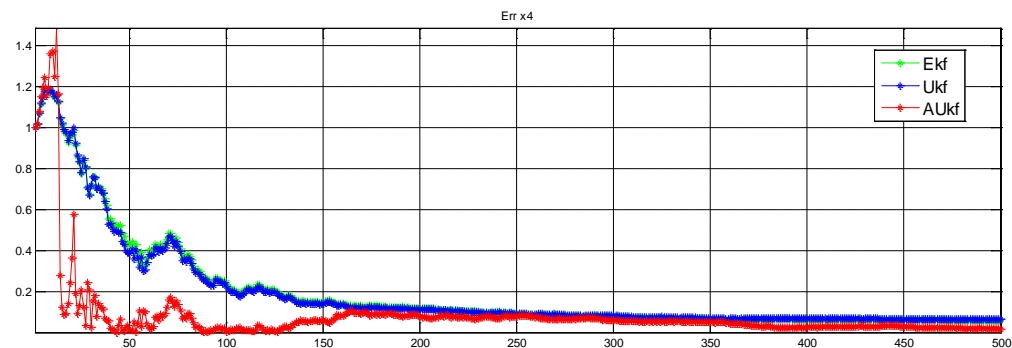
شکل ۴ ۲۲- مقدار تخمین X_3



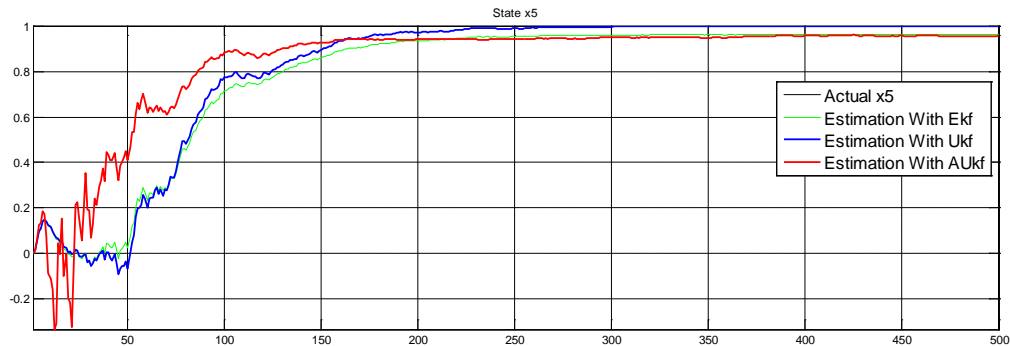
شکل ۴ ۲۳- جذر میانگین مربعات خطای حالت X_3



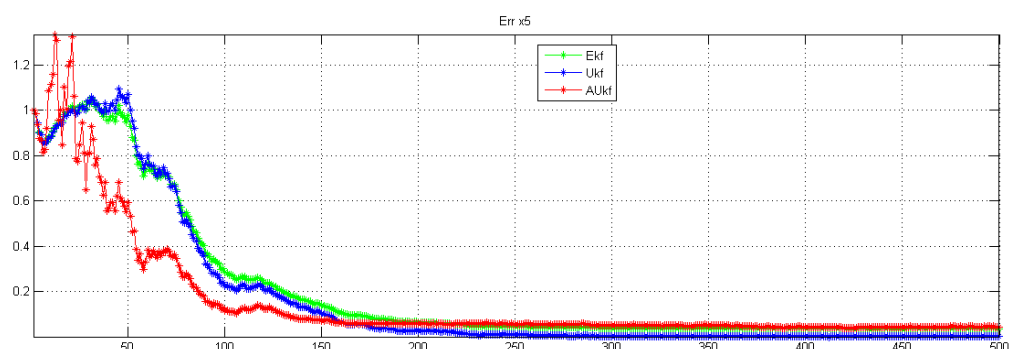
شکل ۴ ۲۴- مقدار تخمین X_4



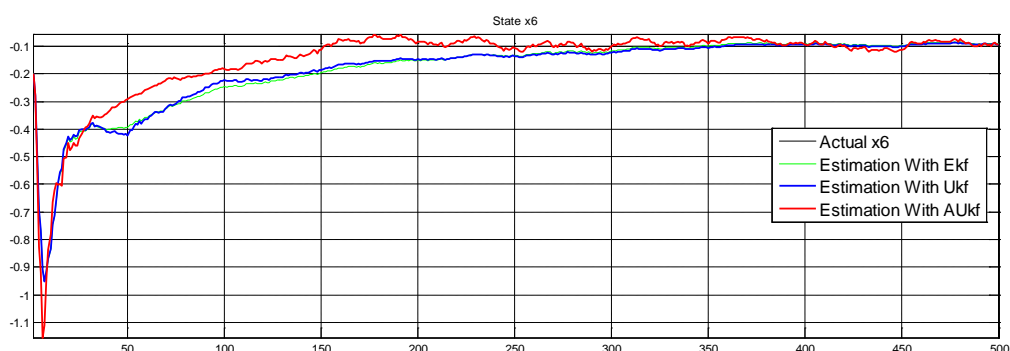
شکل ۴ ۲۵- جذر میانگین مربعات خطای حالت X_4



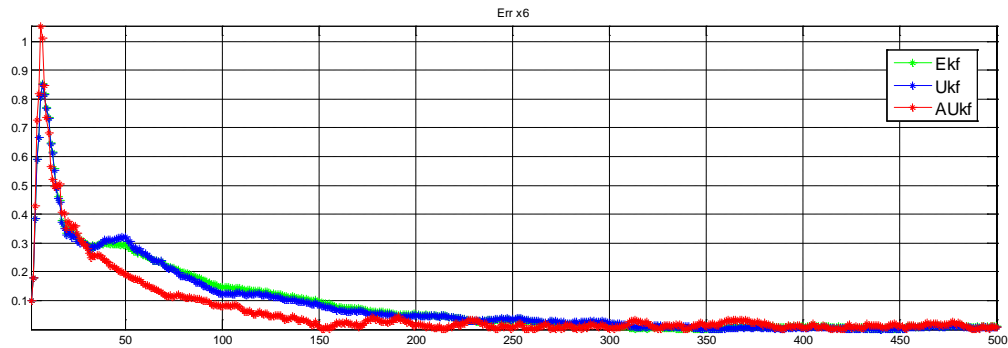
شکل ۴-۲۶ مقدار تخمین X_5



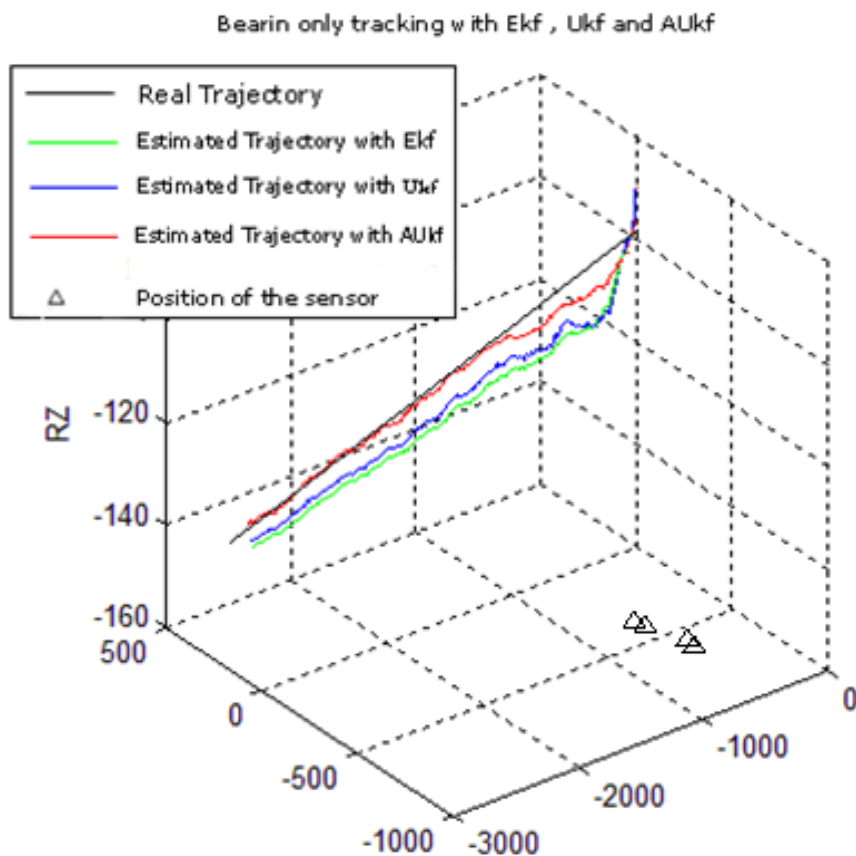
شکل ۴-۲۷ جزء میانگین مربعات خطای حالت X_5



شکل ۴-۲۸ مقدار تخمین X_6



شکل ۴-۲۹ جذر میانگین مربعات خطای حالت X_6



شکل ۴-۳۰ مقایسه ردیابی یک هدف با دو حسگر با استفاده از صافی EKF و UKf و AUkf

معیار مقایسه	EKF	UKF	AUKF
RMSE- X^1	34.4465	31.7247	14.3508
RMSE- X^2	7.8581	7.3351	6.4740
RMSE- X^3	2.9468	2.1657	1.3216
RMSE- X^4	0.2325	0.2172	0.1246
RMSE- X^5	0.1908	0.1893	0.1618
RMSE- X^6	0.1507	0.1413	0.1063

جدول ۴-۴ مقایسه خطای میانگین مریعات سه صافی EKF, UKF, AUKF در ردیابی هدف

مقایسه نحوه ردیابی هدف زیر آب در فضای سه بعدی، توسط سه صافی بیان شده در شکل ۴-۳۰ نشان داده است. همانطور که در شکل ۴-۳۰ می‌بینید صافی کالمن Aukf بهتر از EKF و Ukf توانسته هدف را ردیابی کند و خطای RMSE ردیابی برای حالت‌ها در جدول ۴-۴ مشاهده می‌کنید کمترین میزان خطا مربوط به صافی کالمن AUKF می‌باشد.

فصل ششم

نتیجه گیری

و

پیشنهادات

۱-۵ نتیجه گیری

در این پایان نامه، ردیابی غیر فعال اهداف زیر آب بررسی شد. ساختار در نظر گرفته شده برای روابط هندسی هدف و حسگرها بدین صورت است که سیگنال انعکاس شده از هدف با زوایای مختلف توسط حسگرها دریافت می‌شود. این مشاهدات دریافتی توسط یک رابطه غیرخطی با بردار حالت سیستم دارد. در سیستم پیاده سازی شده عملی، داده‌های

اندازه‌گیری هیچگاه خالص و بدون نویز نیستند، لذا لازم است سیستم قابلیت تخمین مناسبی از موقعیت هدف در راستاهای مورد نظر را با وجود نویز در داده‌های اندازه‌گیری داشته باشد. لذا همانگونه که در فصول گذشته دیده شد، از سه ابزار شامل صافی کالمن توسعه یافته صافی کالمن بی‌رد و صافی کالمن بی‌رد افزوده جهت تخمین موقعیت مطلوب هدف استفاده گردید. برای بالا بردن ردیابی از چندین حسگر استفاده کرده ایم. داده‌های این حسگرها به روش ترکیب اطلاعات کواریانس با هم ترکیب می‌شوند. در اینجا سه روش پیشنهاد شده، که در روش اول هر حسگر جداگانه اطلاعات را دریافت و در نهایت با دیگر حسگرها ترکیب خواهد شد. در روش پیشنهادی دوم هر دو حسگر با هم گرفته می‌شود و جفت حسگرها با یکدیگر ترکیب خواهند شد. و در نهایت در روش سوم هر سه حسگر با هم ترکیب شده و از ترکیب اندازه‌گیری سه حسگرها با هم ردیابی انجام خواهد شد. که روش دوم به دلیل خطای کمتر و سرعت محاسبه مناسب تر نسبت به دو روش دیگر پیشنهاد می‌شود. در ادامه به بررسی جایگاه حسگرها پرداخته شد و یک الگوریتم برای چهار حسگر پیشنهاد شد. در ادامه به مقایسه صافی‌های کالمن توسعه یافته، بی‌رد و بی‌رد افزوده پرداخته شد، که صافی کالمن بی‌رد افزوده نسبت به دیگر صافی‌های نام برده دارای خطای تخمین کمتری می‌باشد و با استفاده از روش‌های ترکیب اطلاعات مناسب می‌توان هدف را به صورت مناسب تخمین بزنند. در نهایت نتیجه کلی که می‌توان از این پایان نامه گرفت، این است که می‌توان یک سیستم سوناری غیرفعال را طوری طرح ریزی نمود که با وجود نویزهای اندازه‌گیری بزرگ، تخمین برد، موقعیت و سرعت هدف در راستاهای مورد نظر با استفاده از روش‌هایی همچون صافی کالمن به انجام رسد و این در حالی است که این سیستم هیچگاه توسط عوامل شنودی زیر آب دشمن همچون سونار غیرفعال کشف نخواهد شد.

۲- پیشنهادات

- در این پایان نامه از چهار حسگر ثابت استفاده شده است و با توجه به ثابت بودن حسگرهای بحث فقر زاویه پیش خواهد آمد که برای رفع این مشکل می‌توان حسگرهای متوجه و دارای مانور کرد. که در این حالت با حرکت حسگر مشاهده‌پذیری بهتری از موقعیت هدف بدست خواهد آمد.
- به منظور بهبود تخمین می‌توان تعداد حسگرهای افزایش داد. استفاده از آرایه حسگری یکی از موضوعاتی است که در بهبود تخمین موقعیت هدف تاثیر بسزایی دارد.
- در این پایان نامه فرض کردیم نویز اندازه‌گیری و مشاهده نوسز سفید گوسی می‌باشد. می‌توان نویز رنگی به جای نویز سفید در نظر گرفت که در این صورت باید از روش‌های دیگری برای تخمین موقعیت هدف استفاده کرد.
- برای بهینه کردن ماتریس نویز اندازه‌گیری می‌توان از روش‌های فازی یا عصبی بهره برد.
- همچنین یکی از پیشنهادات مهم می‌تواند تعمیم سیستم ردیاب غیر فعال تک هدف، به چند هدف باشد.
- حرکت هدف در این پایان نامه با سرعت ثابت در نظر گرفته شده است که می‌توان به بررسی هدف با سرعت متوجه (شتاب دار) و مانور دار پرداخت.

منابع

- [1] A. D. Waite(2002), “Sonar for Practising engineers” Published by John Wiley & Sons Ltd,2002

- [2] Hodges, Richard P. *Underwater acoustics: Analysis, design and performance of sonar*. John Wiley & Sons.
- [3] Lurton, Xavier. (2002). "An introduction to underwater acoustics: principles and applications". Springer.
- [4] Ainslie, Michael A. (2010)," *Principles of sonar performance modelling*". Springer.
- [5] Xu, Zhaopeng, (2011), and Shuping Han. "Research on the initial value of filtering for passive tracking of moving target based on two sonar sensors' bearing." In *Electronics, Communications and Control (ICECC), 2011 International Conference on*, pp. 420-423. IEEE.
- [6] Yocom, Bryan A., Thomas W. Yudichak, and Brian R. La Cour. (2009). "Bayesian passive sonar tracking in the presence of known interferers." In *Information Fusion, 2009. FUSION'09. 12th International Conference on*, pp. 1821-1829. IEEE.
- [7] Han, Shuping, and Zhaopeng Xu. (2011). "Passive tracking of maneuvering target based on bearings-frequency of two sonar sensors." In *Electronics, Communications and Control (ICECC), 2011 International Conference on*, pp. 2174-2177. IEEE.
- [8] Zhaopeng Xu and Shuping Han,(2011)," Application of UKF for passive tracking of maneuvering target based on bearings of two sonar sensors", *Image and Signal Processing (CISP), 2011 4th International Congress on* (Volume:5), Shanghai.
- [9] Doğançay, Kutluyil. (2005). "Bearings-only target localization using total least squares." *Signal Processing* 85, no. 9: 1695-1710.
- [10] Fei, Zhang, Zhou Xing-peng, Chen Xiao-hui, and Liu Rui-lan.(2008). "Particle filter for underwater bearings-only passive target tracking." In *Computational Intelligence and Industrial Application, 2008. PACIIA'08. Pacific-Asia Workshop on*, vol. 2, pp. 847-851. IEEE.
- [11] El-Hawary, F., and Yuyang Jing. (1995). "Robust regression-based EKF for tracking underwater targets." *Oceanic Engineering, IEEE Journal of* 20, no. 1: 31-41.
- [12] El-Hawary, Ferial, and Yuyang Jing.(1993). "A robust pre-filtering approach to EKF underwater target tracking." In *OCEANS'93. Engineering in Harmony with Ocean. Proceedings*, pp. II-235. IEEE.
- [13] Yali, Wang.(2008) "Bearings-only Maneuvering Target Tracking based on STF and UKF." In *Advanced Computer Theory and Engineering, 2008. ICACTE'08. International Conference on*, pp. 295-299. IEEE.
- [14] Yali, Wang.(2008). "Bearings-only Maneuvering Target Tracking based on STF and UKF." In *Advanced Computer Theory and Engineering, 2008. ICACTE'08. International Conference on*, pp. 295-299. IEEE.
- [15] Grewal M.S and andrews A.P , (2001), "Kalman Filtering : Theory and Practice using Matlab", vol.1, Second Edition, john Wiley & sons,USA.
- [16] Kalman, Rudolph Emil. (1960). "A new approach to linear filtering and prediction problems." *Journal of Fluids Engineering* 82, no. 1 :35-45.

- [17] S. Sadhua and S. Mondalb and M. Srinivasana,(2006)," Sigma point Kalman filter for bearing only tracking", Signal Processing Volume 86, Issue 12, Pages 3769–3777
- [18] Kalman, Rudolph E., and Richard S. Bucy. (1961). "New results in linear filtering and prediction theory." *Journal of Fluids Engineering* 83, no. 1 95-108.
- [19] Reif, Konrad, Stefan Günther, E. YAZ SR, and Rolf Unbehauen. (1999). "Stochastic stability of the discrete-time extended Kalman filter." *IEEE Transactions on Automatic Control* 44, no. 4 :714-728.
- [20] Julier, Simon J., and Jeffrey K. Uhlmann.(2002). "Reduced sigma point filters for the propagation of means and covariances through nonlinear transformations." In *American Control Conference, roceedings of the 2002*, vol. 2, pp. 887-892. IEEE.
- [21] Lefebvre, Tine, Herman Bruyninckx, and Joris De Schutter. (2002). " A new method for the nonlinear transformation of means and covariances in filters and estimators" .*Automatic Control, IEEE Transactions on* 47, no. 8 :1406-1409.
- [22] Julier, Simon J. (2002). "The scaled unscented transformation." In *American Control Conference, Proceedings of the 2002*, vol. 6, pp. 4555-4559. IEEE.
- [23] Lefebvre. T, Bruyninckx, H., and De Schutter, J. (2004). "Kalman Filters for Nonlinear Systems A Comparison of Performance." *Intl. Journal of Control*, Vol. 77, No. 7, pp. 639-653.
- [24] Wu, Yuanxin, Dewen Hu, Meiping Wu, and Xiaoping Hu. (2005) "Unscented Kalman filtering for additive noise case: augmented vs. non-augmented." In *American Control Conference, 2005. Proceedings of the 2005*, pp. 4051-4055. IEEE.
- [25] Sun, Fuming, Guanglin Li, and Jingli Wang. (2009)."Unscented Kalman filter using augmented state in the presence of additive noise." In *Control, Automation and Systems Engineering, 2009. CASE 2009. IITA International Conference on*, pp. 379-382. IEEE.
- [26] Hewer, G. A., Martin, R. D., and Zeh, J. (1987). "Robust Processing for Kalman Filter of Glint Noise." *IEEE Trans. on Aerospace and Electronis Systems*, AES-23, No. 1, pp. 120-128.
- [27] Wu, W. R. (1993). "Target Tracking with Glint Noise." *IEEE Transactions on Aerospace and Electronic Systems*, Vol. 29, No. 1, pp. 174-185.
- [28] Wu, W. R., and Kundu, A. (1989). "Kalman Filtering in Non-Gaussian Environment Using Efficient Score Function Approximation." In Proc. of IEEE International Symposium on Circuits and Systems, pp. 413-416.
- [29] Hall, David L., and James Llinas. (1997). "An introduction to multisensor data fusion." *Proceedings of the IEEE* 85, no. 1 .6-23.
- [30] Hoseini, Sayed Amir, and Mohammad Reza Ashraf. (2013). "Computational Complexity Comparison Of Multi-Sensor Single Target Data Fusion Methods By Matlab." *arXiv preprint arXiv:1307.3005* (2013).

- [31] Gan, Qiang, and Chris J. Harris. (2001). "Comparison of two measurement fusion methods for Kalman-filter-based multisensor data fusion." *Aerospace and Electronic Systems, IEEE Transactions on* 37, no. 1 (2001): 273-279.
- [32] Fong, Li-Wei. 2006. "Multisensor data fusion with estimated weights." In *Industrial Electronics, 2006 IEEE International Symposium on*, vol. 1, pp. 22-26. IEEE.
- [33] Cheng, Wang, Wang Yingmin, Yao Yuan, and Tao Linwei. 2010. "Bistatic sonar data fusion based on extend kalman filter and its application." In *2010 2nd International Conference on Computer Engineering and Technology*, vol. 3.
- [34] Casazza, P. G. (1999). "The art of frame theory". *arXiv preprint math/9910168*.
- [35] Krause, A., Singh, A., & Guestrin, C. (2008). Near-optimal sensor placements in Gaussian processes: Theory, efficient algorithms and empirical studies. *The Journal of Machine Learning Research*, 9, 235-284.
- [36] Zhao, S., Chen, B. M., & Lee, T. H. (2012, June). Optimal placement of bearing-only sensors for target localization. In *American Control Conference (ACC), 2012* (pp. 5108-5113). IEEE.
- [37] Zhao, S., Chen, B. M., & Lee, T. H. (2013). Optimal sensor placement for target localisation and tracking in 2D and 3D. *International Journal of Control*, 86(10), 1687-1704.
- [38] Glotzbach, T., Moreno-Salinas, D., Pascoal, A., & Aranda, J. (2013, September). Optimal Sensor Placement for Acoustic Range-Based Underwater Robot Positioning. In *9th IFAC Conference on Control Applications in Marine Systems (CAMS)*.
- [39] A. N. Bishop, B. Fidan, B. D. Anderson, K. Doğancıay, and P. N. Pathirana, "Optimality analysis of sensor-target localization geometries," *Automatica*, vol. 46, pp. 479–492, 2010.

Abstract

It is Importance of object detection and tracking under water in the commercial, leisure and defense field. The need to improve the accuracy, stability and risk avoidance, with the advent of new applications and the growing acceptance of undersea robots spreads in military and civilian spreads. One of the main factors in the operation of underwater operations, long-term ability to automatically and without supervision by a ship on the surface, which is the subject of research is necessary to highlight underwater navigation. In this thesis aims to signals emitted from different angles by several sensors are received. Vector measured by the sensors, including arrival angle between the horizontal axis is the acoustical signal that has a linear relationship with the state vector. Due to the nonlinearity of the model and the data noise, we use the Uncented Kalman filter. In this thesis used a type of Kalman filter called augmented uncented Kalman filter and compared with the uncented Kalman filter and extended Kalman filter. Due to the use of multiple sensors, the sensors need to combine data is essential. Covariance method used to combine data and compare our method with this method is that the efficiency of the proposed method is characterized in results. The proposed method combines data by combining both sensor, advantages over the conventional methods, which can be referred to a higher accuracy and reduce the tracking error. Finally, check the placement of sensors, three to four sensor placement suggested that the issue of Bayesian model with Visibility is better than the other models.

Keywords: sonar,Single Tracking , Kalman filter, Uncented Kalman Filter , Underwater targets,Multie Sensor,Bearings only target



University Of Shahrood

Department of Electrical and Robotic Engineering

Bearing Only Underwater Tracking with Multisensor by Uncented Kalman Filter

Sadegh Heidari Farahany

Supervisor:

Dr. Heydar Tusian Shandiz

2015